



Rafael Segadas dos Santos

**Cáusticas de Wigner e Conjuntos de Medida de
Largura Constante em Planos Normados com
Bolas Unitárias Suaves ou Poligonais**

Tese de Doutorado

Tese apresentada como requisito parcial para obtenção do grau de Doutor pelo Programa de Pós-graduação em Matemática da PUC-Rio.

Orientador: Prof. Marcos Craizer

Rio de Janeiro
Setembro de 2019



Rafael Segadas dos Santos

**Cáusticas de Wigner e Conjuntos de Medida de
Largura Constante em Planos Normados com
Bolas Unitárias Suaves ou Poligonais**

Tese apresentada como requisito parcial para obtenção do grau de Doutor pelo Programa de Pós-graduação em Matemática da PUC-Rio. Aprovada pela Comissão Examinadora abaixo.

Prof. Marcos Craizer

Orientador

Departamento de Matemática – PUC-Rio

Prof. Ralph Costa Teixeira

Departamento de Matemática – UFF

Prof. Carlos Hugo Jimenez

Departamento de Matemática – PUC-Rio

Prof. Silvius Klein

Departamento de Matemática – PUC-Rio

Prof. Vitor Balestro

Departamento de Matemática – UFF

Prof. Moacyr Alvim Horta Barbosa da Silva

Departamento de Matemática – Emap-FGV

Rio de Janeiro, 20 de Setembro de 2019

Todos os direitos reservados. É proibida a reprodução total ou parcial do trabalho sem autorização da universidade, do autor e do orientador.

Rafael Segadas dos Santos

Ficha Catalográfica

Santos, Rafael Segadas

Cáusticas de Wigner e Conjuntos de Medida de Largura Constante em Planos Normados com Bolas Unitárias Suaves ou Poligonais / Rafael Segadas dos Santos; orientador: Marcos Craizer. – Rio de Janeiro: PUC-Rio, Departamento de Matemática, 2019.

v., 94 f: il. color. ; 30 cm

Tese (doutorado) - Pontifícia Universidade Católica do Rio de Janeiro, Departamento de Matemática.

Inclui bibliografia

1. Matemática – Teses. 2. Plano de Minkowski;. 3. Cáusticas de Wigner;. 4. Curvas de Largura Constante;. 5. Equações de Sturm-Liouville;. 6. Desigualdades Isoperimétricas;. I. Craizer, Marcos. II. Pontifícia Universidade Católica do Rio de Janeiro. Departamento de Matemática. III. Título.

CDD: 510

Agradecimentos

Primeiramente a Deus por seu amor incondicional, sua direção e força para não desistir.

O amor da minha vida Priscila Carrati, que sempre me apoia e que sem seu suporte esse projeto não seria possível.

Minhas filhas Maria Rafaela e Angelina que me motivam a caminhar e que são minha alegria.

Meus Pais e minha irmã Gisele pelo apoio e orações.

Meu Orientador Marcos Craizer que tanto me ajudou e acreditou em mim.

A PUC, funcionários e professores.

A banca de defesa, pela leitura da tese e sugestões.

Aos meus colegas de doutorado, pelo apoio.

O presente trabalho foi realizado com apoio da Coordenação de Aperfeiçoamento de Pessoal de Nível Superior - Brasil (CAPES) - Código de Financiamento 001.

Resumo

Santos, Rafael Segadas; Craizer, Marcos. **Cáusticas de Wigner e Conjuntos de Medida de Largura Constante em Planos Normados com Bolas Unitárias Suaves ou Poligonais**. Rio de Janeiro, 2019. 94p. Tese de Doutorado – Departamento de Matemática, Pontifícia Universidade Católica do Rio de Janeiro.

Em [23] são apresentadas igualdades e desigualdades isoperimétricas relacionadas à Cáustica de Wigner (CW) e ao Conjunto de Medida de Largura Constante ($CMLC$). Neste trabalho nós estendemos estes resultados para planos normados com bolas unitárias quadraticamente convexas ou bolas unitárias poligonais. Estes conjuntos CW e $CMLC$ estão fortemente relacionados às cicloides, que são curvas cujas funções suporte generalizam a base de Fourier ([6], [7]). Uma característica importante deste trabalho é a analogia direta entre os casos contínuo e discreto.

Palavras-chave

Plano de Minkowski; Cáusticas de Wigner; Curvas de Largura Constante; Equações de Sturm-Liouville; Desigualdades Isoperimétricas;

Abstract

Santos, Rafael Segadas; Craizer, Marcos (Advisor). **Wigner Caustics and Constant Width Measure Sets in Normed Planes with Smooth or Polygonal Unit Balls**. Rio de Janeiro, 2019. 94p. Tese de doutorado – Departamento de Matemática, Pontifícia Universidade Católica do Rio de Janeiro.

In [23], some isoperimetric equalities and inequalities related to the Wigner Caustic (*WC*) and the Constant Width Measure Set (*CWMS*) are proved. In this work, we generalize these results to normed planes with quadratically convex unitary ball or polygonal unitary balls. The *WC* and *CWMS* are closely related to cycloids, which are curves whose support functions generalize the Fourier basis ([6], [7]). An important aspect of our work is the direct analogy between the smooth and discrete cases.

Keywords

Minkowski Planes; Wigner Caustics; Constant Width Curves;
Sturm-Liouville Equations; Isoperimetric Inequalities;

Sumário

1	Introdução	10
2	Resultados Preliminares	14
2.1	Plano Normado	14
2.2	Exemplos	15
2.3	Curvas Legendrianas	16
2.4	Círculo Unitário Dual, Função Suporte e raio de Curvatura	18
2.5	Exemplo	20
3	Cáustica de Wigner e Conjunto de Medida de Largura Constante	21
3.1	Cáustica De Wigner e Curvas de Largura Constante	22
3.2	Conjunto de Medida de Largura Constante e Curvas Simétricas	25
3.3	Decomposição da curva γ como soma de Cáustica de Wigner, CMLC e bola unitária.	28
3.4	Cuspides CMLC e Cáustica de Wigner	28
3.5	Áreas com sinal de CW e CMLC	29
3.6	Evolutas	30
3.7	Exemplos	32
4	Igualdade Isoperimétrica em Plano Normado	35
5	Ciclóides e Base Ortonormal	38
5.1	Áreas e Comprimentos	42
5.2	Outra prova - Igualdade Isoperimétrica em Plano Normado	45
6	Circulo unitário e dual discretos, Função Suporte e Raio de Curvatura	47
6.1	Exemplos	49
7	Cáustica de Wigner e Conjunto de Medida de Largura Constante-Discreto	51
7.1	Cáustica de Wigner e Curvas de Largura Constante	52
7.2	Conjunto de Medida de Largura Constante e Curvas Simétricas	55
7.3	Decomposição do polígono P como soma de Cáustica de Wigner, CMLC e bola unitária.	58
7.4	Cúspides CMLC e Cáustica de Wigner	58
7.5	Áreas com sinal de CW e CMLC	59
7.6	Evolutas	60
7.7	Exemplos	63
8	Igualdade Isoperimétrica em Plano Normado - Discreto	65
8.1	Exemplo	68
9	Ciclóides e Base Ortonormal - Discreto	69
9.1	Áreas e Comprimentos	72
9.2	Outra Prova - Igualdade Isoperimétrica em Plano Normado - Discreto	76

10	Curvas Rosáceas	78
10.1	Exemplo	78
10.2	Cáustica de Wigner	79
10.3	Conjunto de Medida de Largura Constante	80
10.4	Decomposição da curva $\gamma \in \mathcal{H}_m$ como soma de Cáustica de Wigner, CMLC e bola unitária.	80
10.5	Cuspides CMLC e Cáustica de Wigner	81
10.6	Exemplo	82
10.7	Igualdade Isoperimétrica em Plano Normado para m -rosáceas	83
11	Curvas Rosáceas - Discretas	85
11.1	Cáustica de Wigner	86
11.2	Conjunto de Medida de Largura Constante	86
11.3	Decomposição do polígono $P \in C_U - m$ como soma de Cáustica de Wigner, CMLC e bola unitária.	86
11.4	Cúspides CMLC e Cáustica de Wigner	87
11.5	Exemplo	88
11.6	Igualdade Isoperimétrica em Plano Normado para m -rosáceas discretas	89
11.7	Trabalhos Futuros	91
	Referências bibliográficas	93

Lista de figuras

Figura 1.1	Tangentes paralelas em γ .	11
Figura 2.1	Bola unitária $U = \{(x, y) \in \mathbb{R}^2; x ^3 + y ^3 \leq 1\}$	15
Figura 2.2	Bola unitária U como hexágono regular	16
Figura 2.3	Curva $\gamma(t) = (t^2, t^3)$ com cúspide $3/2$ na origem.	17
Figura 2.4	Curva $\gamma(t)$ com cúspide $5/4$ em $(2, 0)$ e Taylor.	17
Figura 2.5	Interpretação geométrica da U -função suporte	19
Figura 2.6	Bola unitária U e seu dual V	20
Figura 3.1	Interpretação geométrica de curva γ com largura constante.	22
Figura 3.2	Curva γ de largura constante, $CMLC(\gamma)$ e $CW(\gamma)$	33
Figura 3.3	Curva γ simétrica, Cáustica $CW(\gamma)$ e $CMLC(\gamma)$	34
Figura 3.4	Curva γ , Cáustica $CW(\gamma)$ e $CMLC(\gamma)$	34
Figura 6.1	Bola unitária U e seu dual V	49
Figura 6.2	Polígono $P \in C_U$ onde $r = (\frac{1}{2}, 1, \frac{1}{2}, \frac{3}{4}, \frac{3}{4}, \frac{3}{4})$ e bola unitária	50
Figura 7.1	Polígono P , Cáustica de Wigner e $CMLC$ C	64
Figura 10.1	2-rosácea	79
Figura 10.2	2-rosácea, CW , $CMLC$	82
Figura 11.1	Bola unitária U e 2-rosácea P	85
Figura 11.2	Bola U , 2-rosácea P , CW , $CMLC$	89

1 Introdução

A Desigualdade Isoperimétrica clássica em um plano normado, também chamado plano de Minkowski, diz o seguinte:

Teorema 1.1 (Desigualdade Isoperimétrica). *Seja γ uma curva fechada simples em um plano normado. Então*

$$L_v^2(\gamma) \geq 4A_U A_\gamma \quad (1.1)$$

onde A_U e A_γ indicam respectivamente a área da bola unitária e a área da região limitada por γ e $L_v(\gamma)$ indica o comprimento dual de γ . A igualdade ocorre se, e só se, γ é múltiplo da bola unitária.

Um dos principais problemas em geometria plana é determinar quais curvas têm área máxima para um perímetro dado. Uma das primeiras referências ao problema isoperimétrico, que vem sendo estudado desde a antiguidade, é feita no poema latino Eneida, obra de Virgílio, onde se descreve a história de Dido, rainha de Cartago. Concluimos que, possivelmente, se conhecia a solução do problema isoperimétrico devido a solução em formato de círculo apresentada por Dido. A seguir está uma versão dessa história, conhecida como “A Lenda de Dido”.

“...Dido consegue fugir com alguns amigos e partidários, levando consigo as riquezas do marido. Chegando a Costa do Mediterrâneo, norte da África, Dido resolve ficar e formar sua nova pátria. Ela negocia com o Rei Jarbas a compra de terras e ficou acertado que poderia comprar apenas a quantidade de terra que conseguisse cercar usando a pele de 1(um) único touro. O pedido é aceito e Dido logo manda cortar o couro de um touro em estreitas tiras com o qual cercou uma imensa área de forma circular onde construiu a cidade com o nome de Birsa (couro). Em torno dessa cidade começa a se formar outra, Cartago, que logo se torna próspera.” Retirado de [1].

Uma das primeiras demonstrações da Desigualdade Isoperimétrica foi obtida por Steiner [20], no século 19. Após, houve muitas outras provas e aplicações desse teorema; por exemplo, [2], [10], [12], [13], [14], [17], [19], [20], [21], [23], [24]. Em 1902, Hurwitz [13], apresentou uma prova para caso euclidiano utilizando análise de Fourier, já para no caso não euclidiano, podemos encontrar uma prova da Desigualdade Isoperimétrica em [21]. Mais recentemente Zwierzyński apresentou em [23], [24], para o caso euclidiano, versões "aprimoradas" da Desigualdade Isoperimétrica, envolvendo a Cáustica de Wigner (CW) e o Conjunto de Medida de Largura Constante ($CMLC$) ver teoremas (1.2) e (1.3). A Cáustica de Wigner pode ser definida como o lugar geométrico dos pontos médios dos pontos de uma curva γ onde suas tangentes são paralelas, ver figura (1.1). Para mais detalhes sobre Cáustica de Wigner ver [4] e [11]. Já o $CMLC$ é definido, a menos de uma translação, como o conjunto das semi-cordas em pontos de γ onde suas tangentes são paralelas.

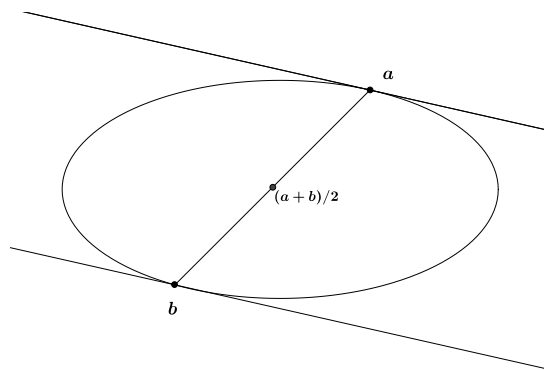


Figura 1.1: Tangentes paralelas em γ .

Teorema 1.2 (Zwierzyński). *Seja γ uma oval. Então*

$$L_\gamma^2(\gamma) \geq 4\pi A_\gamma + 8\pi|\tilde{A}_{CW}| \tag{1.2}$$

onde \tilde{A}_{CW} indica a área com sinal da Cáustica de Wigner, $L_v(\gamma)$ e A_γ indicam respectivamente o comprimento euclidiano e a área de γ . A igualdade ocorre se, e só se γ é múltiplo da bola unitária.

Teorema 1.3 (Zwierzynski). *Seja γ uma oval. Então*

$$L_\gamma^2(\gamma) = 4\pi A_\gamma + 8\pi|\tilde{A}_{CW}| + \pi|\tilde{A}_{CMLC}| \quad (1.3)$$

onde \tilde{A}_{CW} e \tilde{A}_{CMLC} indicam respectivamente a área com sinal da Cáustica de Wigner e do Conjunto de Medida de Largura Constante, $L_\nu(\gamma)$ e A_γ indicam respectivamente o comprimento euclidiano e a área de γ .

Motivados pelos teoremas (1.2) e (1.3) (ver [23], [24]), que são um refinamento da equação (1.1), definimos o *CMLC* em um plano normado não necessariamente Euclidiano. O estudo deste conjunto levou a uma igualdade isoperimétrica análoga a de [23], porém desta vez em uma norma arbitrária com bola unitária quadraticamente convexa ou poligonal. No caso contínuo trabalhamos com espaço de curvas não necessariamente convexas, parametrizadas pelo ângulo que a reta tangente faz com uma direção fixa. Essas curvas são chamadas de "porco-espinho", "hedghog" em inglês, "hérissons" em francês. Já no caso discreto utilizamos como espaço de "curvas" polígonos fechados cujos lados são paralelos ao da bola unitária. Para métrica de Minkowski utilizamos os artigos de [6] e [7] e fazemos uma conexão entre ciclóides, Cáustica de Wigner e *CMLC*.

Dado um plano normado U , chamamos de U -ciclóides as curvas planas que são homotéticas a sua dupla U -evoluta. Acontece que o raio de curvatura e a função de suporte da U -ciclóide satisfazem uma equação diferencial do tipo Sturm – Liouville. Ao estudar essa equação podemos encontrar uma base ortonormal de $C^0(S^1)$ com uma decomposição natural em funções simétricas e anti-simétricas. Provamos nos teoremas (5.8) e (9.6), que a base ortonormal é na verdade o conjunto de funções suporte de Cáusticas de Wigner e Conjunto de Medida de Largura Constante. De modo análogo definimos ciclóides e evolutas discretas.

Em termos de função suporte, a Cáustica de Wigner e o Conjunto de Medida de Largura Constante podem ser considerados como a projeção nos espaços das funções ímpares e pares, respectivamente no caso de curvas com período 2π . Por outro lado, a série de Fourier é constituída de funções pares e ímpares. Sendo assim, em termos desta base, as operações *CW* e *CMLC* correspondem simplesmente a zerar os coeficientes dos termos pares e ímpares, respectivamente. Essa representação se mantém verdadeira em planos normados com bolas unitárias suaves estritamente convexas e também para

bolas unitárias poligonais. Para normas não-euclidianas, devemos considerar as bases ortonormais construídas em [6] e [7].

Em [25], as noções de *CMLC* e *CW* são estendidas para m -rosáceas, que são curvas parametrizadas pelo ângulo que a reta tangente faz com uma direção fixa e dão m voltas. Nesse trabalho estendemos as definições de *CW* e *CMLC* para m -rosáceas em um plano normado e provamos a correspondente Igualdade Isoperimétrica. Esta igualdade vale tanto para planos normados com bola unitária quadraticamente convexa como com bola poligonal.

No capítulo 2 e 6 apresentamos resultados preliminares. Nos capítulos 3(contínuo) e 7(discreto) apresentamos as definições e propriedades das Cáusticas de Wigner e Conjuntos de Medida de Largura Constante para curvas 2π -periódicas e a decomposição dessa curva em função desses conjuntos. Nos capítulos 4(contínuo) e 8(discreto) demonstramos a Igualdade Isoperimétrica em Plano Normado para curvas 2π -periódicas. Nos capítulos 5(contínuo) e 9(discreto) apresentamos as ciclóides e bases ortonormais e uma outra prova para a Igualdade Isoperimétrica em Planos Normados para curvas 2π -periódicas. No capítulo 10(contínuo) e 11(discreto) apresentamos curvas rosáceas e Igualdade Isoperimétrica em Planos Normados para m -rosáceas.

Notação

Seja $v, w \in \mathbb{R}^2$ vetores. Nós denotamos o determinante cujas colunas são as coordenadas de v e w por $[v, w]$.

2

Resultados Preliminares

2.1

Plano Normado

Chamamos de plano normado ou plano de Minkowski o plano \mathbb{R}^2 munido com uma norma qualquer $\|\cdot\|$. Essa norma é chamada de norma de Minkowski.

A partir da norma $\|\cdot\|$ podemos provar que o conjunto $U = \{x \in \mathbb{R}^2, \|x\| \leq 1\}$ é convexo e simétrico. Reciprocamente se um conjunto U do plano é convexo e simétrico ele define uma norma $\|\cdot\|_U$, chamada de norma induzida por U . A definição da norma é como segue: para todo $x \in \mathbb{R}^2$ podemos escrever $x = tu$, onde $t \geq 0$ e u está na fronteira de U , então $\|x\|_U = t$.

Lema 2.1.

1. Se um conjunto U é convexo e simétrico então $\|\cdot\|_U$ é uma norma.
2. Se $\|\cdot\|$ é uma norma em \mathbb{R}^2 então o conjunto $\{x \in \mathbb{R}^2, \|x\| \leq 1\}$ é convexo e simétrico.

Demonstração. (1) (Desigualdade Triangular) Sejam $x, y \in \mathbb{R}^2$ não nulos e $\alpha \in [0, 1]$. Então $\frac{x}{\|x\|_U}$ e $\frac{y}{\|y\|_U}$ pertencem à fronteira de U . Como U é convexa

$$\alpha \frac{x}{\|x\|_U} + (1 - \alpha) \frac{y}{\|y\|_U} \in U.$$

Se tomarmos $\alpha = \frac{\|x\|_U}{\|x\|_U + \|y\|_U}$ teremos $\left\| \frac{x}{\|x\|_U + \|y\|_U} + \frac{y}{\|x\|_U + \|y\|_U} \right\|_U \leq 1$

que implica $\|x + y\|_U \leq \|x\|_U + \|y\|_U$.

(2) A simetria vem da própria definição de U . Sejam $x, y \in U$ e $\alpha \in [0, 1]$. Então por hipótese

$$\|\alpha x + (1 - \alpha)y\|_U \leq \alpha \|x\|_U + (1 - \alpha)\|y\|_U \leq \alpha + (1 - \alpha) = 1$$

ou seja, $\alpha x + (1 - \alpha)y \in U$. Portanto U é convexa. ■

Para mais detalhes ver [21, p.17]. Vale destacar que a norma induzida por U também pode ser definida por $\|x\|_U = \inf\{\lambda > 0 : x \in \lambda U\}$, chamada de Funcional de Minkowski ou Função "Gauge".

2.2

Exemplos

Exemplo 2.2. Considere como bola unitária $U = \{(x, y) \in \mathbb{R}^2; |x|^3 + |y|^3 \leq 1\}$ cuja fronteira pode ser parametrizada por $u(t) = ((\cos t)^{2/3}, (\sin t)^{2/3}), 0 \leq t \leq 2\pi$.

Se $A = \left(\frac{3}{2} \left(\frac{1}{4}\right)^{\frac{1}{3}}, \frac{3}{2} \left(\frac{3}{4}\right)^{\frac{1}{3}}\right)$ então $\|A\|_U = \frac{3}{2}$, onde $u_A = \left(\left(\frac{1}{4}\right)^{\frac{1}{3}}, \left(\frac{3}{4}\right)^{\frac{1}{3}}\right)$, $\|u_A\|_U = 1$ e $A = \frac{3}{2}u_A$.

Se $B = \left(-\left(4\right)^{\frac{1}{3}}, -\left(4\right)^{\frac{1}{3}}\right)$ então $\|B\|_U = 2$, onde $u_B = \left(-\left(\frac{1}{2}\right)^{\frac{1}{3}}, -\left(\frac{1}{2}\right)^{\frac{1}{3}}\right)$, $\|u_B\|_U = 1$ e $B = 2u_B$.

Se $C = \left(\left(\frac{3}{32}\right)^{\frac{1}{3}}, -\left(\frac{1}{32}\right)^{\frac{1}{3}}\right)$ então $\|C\|_U = \frac{1}{2}$, onde $u_C = \left(\left(\frac{3}{4}\right)^{\frac{1}{3}}, -\left(\frac{1}{4}\right)^{\frac{1}{3}}\right)$, $\|u_C\|_U = 1$ e $C = \frac{1}{2}u_C$. Ver figura 2.1

Exemplo 2.3. Considere como bola unitária U um hexágono (com interior) regular centrado na origem com um de seus vértices sobre o eixo y . Vale destacar que nesse caso o perímetro da bola é 6 (Teorema de Golab, [21]).

Considere os pontos A, B , e C , onde $A = 2u_A, B = \frac{3}{2}u_B, C = \frac{1}{2}u_C$ e u_A, u_B, u_C estão sobre o hexágono. Nesse caso teremos $\|A\|_U = 2, \|B\|_U = \frac{3}{2}, \|C\|_U = \frac{1}{2}$. Ver figura 2.2

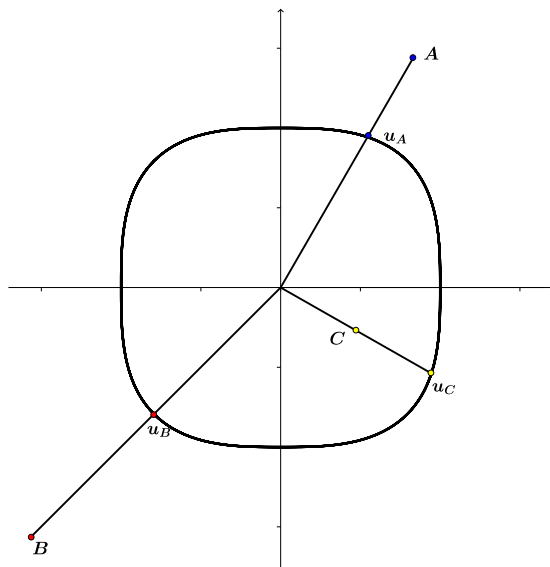


Figura 2.1: Bola unitária $U = \{(x, y) \in \mathbb{R}^2; |x|^3 + |y|^3 \leq 1\}$

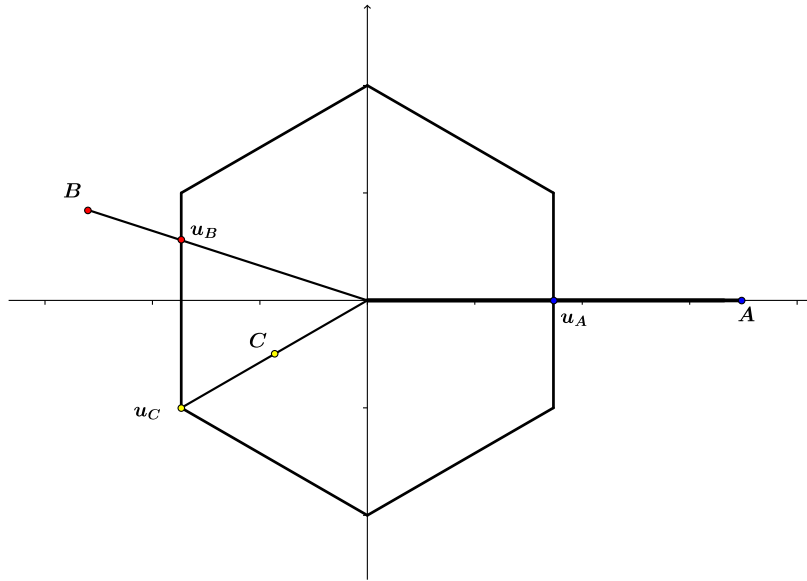


Figura 2.2: Bola unitária U como hexágono regular

2.3

Curvas Legendrianas

Definição 2.4. *Seja $I \subset \mathbb{R}$ um intervalo. Uma curva suave $\gamma : I \rightarrow \mathbb{R}^2$ é chamada de Legendriana, se existe um mapa suave $\nu : I \rightarrow S^1$ tal que para todo $t \in I$:*

- $[\nu(t), \gamma'(t)] = 0$
- se $\gamma'(t) = 0$ então $\nu'(t) \neq 0$.

Exemplo 2.5. *Um típico exemplo de curva Legendriana é $\gamma : I \rightarrow \mathbb{R}^2$, onde $\gamma'(t) \neq 0, \forall t \in I$. Nesse caso basta considerar $\nu : I \rightarrow S^1, \nu(t) = \frac{\gamma'(t)}{\|\gamma'(t)\|}$.*

Considere agora $\gamma : I \rightarrow \mathbb{R}^2$ e $\nu : I \rightarrow S^1$ tal que $\gamma(t) = (t^m, t^n)$, m, n inteiros, $1 < m < n$ e $\nu(t) = \frac{1}{\sqrt{m^2 + n^2 t^{2(n-m)}}} (m, nt^{n-m})$. Observe que se $\nu'(0) \neq 0$ então γ é uma curva Legendriana. Por outro lado $\nu'(0) = 0$ ocorre se, e somente se, $n = m + 1$. Em particular se $\gamma''(0) \neq 0$ teremos $m = 2$ e $n = 3$, isto é $\gamma(t) = (t^2, t^3)$, ver figura 2.3. Concluímos que todos os cúspides das curvas Legendrianas são da forma $(n + 1)/n$ e se γ não possuir pontos de inflexão então seus cúspides são da forma $3/2$. Para mais detalhes sobre curvas Legendrianas ver [9] e [6].

Exemplo 2.6. Considere a curva $\gamma(t) = (3 \cos 3t - \cos 5t)(\cos t, \sin t) + (-9 \sin 3t + 5 \sin 5t)(-\sin t, \cos t)$. Observe que $\gamma'(0) = 0$ e $\gamma''(0) = 0$. Utilizando polinômio de Taylor em $t = 0$ vemos que essa singularidade é do tipo $5/4$. Ver figura 2.4.

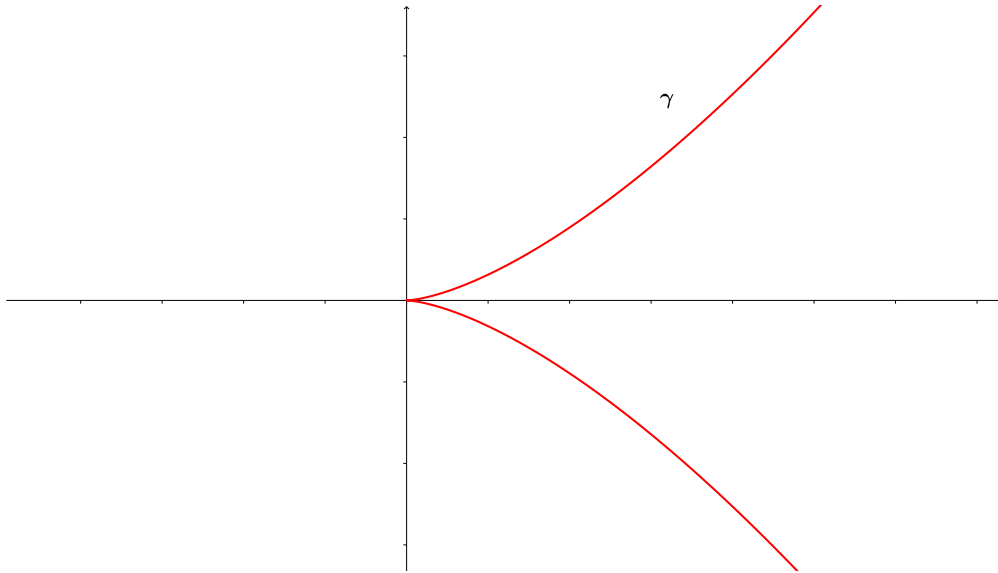


Figura 2.3: Curva $\gamma(t) = (t^2, t^3)$ com cúspide $3/2$ na origem.

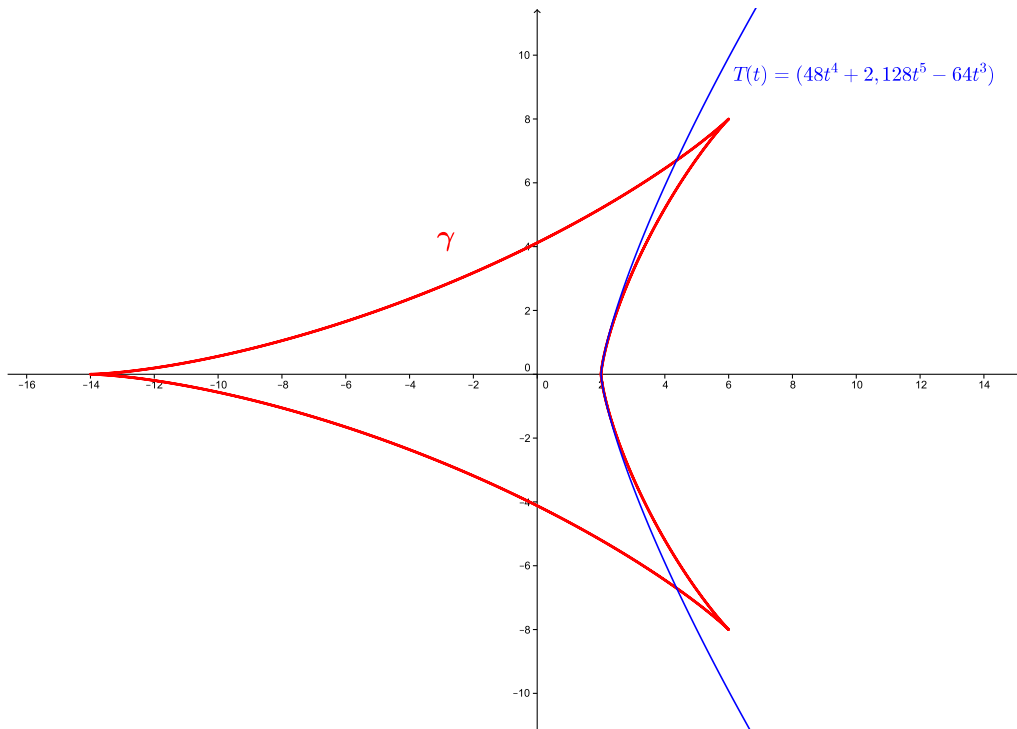


Figura 2.4: Curva $\gamma(t)$ com cúspide $5/4$ em $(2, 0)$ e Taylor.

Lema 2.7. *Seja $\gamma : I \rightarrow \mathbb{R}^2$ uma curva Legendriana. Então as afirmações seguintes são equivalentes:*

1. $v'(t) \neq 0, \forall t \in I$.
2. γ pode ser parametrizada pelo ângulo θ que suas tangentes fazem com uma direção fixa.

Para uma demonstração, ver [6].

Nesse trabalho iremos considerar curvas Legendrianas com curvatura não nula, que satisfaçam uma das afirmações do Lema (2.7). Se γ é fechada, é chamada de porco espinho, *hedgheg* em inglês. Iremos representar o conjunto de curvas legendrianas fechadas com curvatura não nula que satisfazem o lema (2.7) e possuem período 2π pela letra \mathcal{H} .

Definição 2.8 (Rosáceas). *Iremos representar o conjunto de curvas legendrianas fechadas com curvatura não nula que satisfazem o lema (2.7) e possuem período $2m\pi$, m inteiro positivo, pela letra \mathcal{H}_m . Chamamos essas curvas de m -rosáceas ou m -hedghogs.*

Definição 2.9. *Considere $\gamma \in \mathcal{H}_m$. Definimos um n -cúspide ou cúspide não ordinário uma singularidade da forma $(n + 1)/n$.*

2.4

Círculo Unitário Dual, Função Suporte e raio de Curvatura

Seja $U \subset \mathbb{R}^2$ bola unitária de Minkowski. Vamos assumir U quadraticamente convexa, isto é, com curvatura estritamente positiva e fronteira u suave. Considere u parametrizada por $u(\theta)$, $\theta \in [0, 2\pi]$, $u(\theta + \pi) = -u(\theta)$, onde θ é o ângulo que a tangente em u faz com uma direção fixa. Com essas hipóteses teremos $[u'(\theta), u''(\theta)] > 0$ e $[u(\theta), u'(\theta)] > 0$.

A bola unitária dual U^* pode ser identificada com o conjunto convexo V do plano, onde, a parametrização da fronteira de V é

$$v(\theta) = \frac{u'(\theta)}{[u(\theta), u'(\theta)]}. \quad (2.1)$$

Dessa forma teremos $[u(\theta), v(\theta)] = 1$ e $[u'(\theta), v(\theta)] = 0$. Pode-se mostrar que V é convexa e simétrica, $[v(\theta), v'(\theta)] > 0, [v'(\theta), v''(\theta)] > 0$ e $v(\theta + \pi) = -v(\theta)$. Além disso

$$u(\theta) = -\frac{v'(\theta)}{[v(\theta), v'(\theta)]}, \quad (2.2)$$

o que mostra que o dual do dual é ele próprio.

Definição 2.10. *Seja $\gamma \in \mathcal{H}$ curva simples, fechada, com curvatura estritamente positiva. A esse tipo de curva chamaremos de oval.*

Definição 2.11. *Para $\gamma \in \mathcal{H}$ definimos a função real $h(\theta) = [\gamma(\theta), v(\theta)]$ que é chamada de U – função suporte. Onde v é a parametrização da fronteira de $V = U^*$.*

Diferenciando $h(\theta) = [\gamma(\theta), v(\theta)]$ nós obtemos

$$\begin{aligned} h'(\theta) &= [\gamma'(\theta), v(\theta)] + [\gamma(\theta), v'(\theta)] \\ &= [\gamma(\theta), v'(\theta)] \\ &= [\gamma(\theta), -u(\theta)[v(\theta), v'(\theta)]] \\ &= [u(\theta), \gamma(\theta)] \cdot [v(\theta), v'(\theta)] \end{aligned}$$

Assim podemos escrever

$$\gamma(\theta) = h(\theta)u(\theta) + \frac{h'(\theta)}{[v(\theta), v'(\theta)]}v(\theta). \tag{2.3}$$

Diferenciando (2.3) teremos

$$\gamma'(\theta) = \left(h + \frac{1}{[u, u']} \left(\frac{h'}{[v, v']} \right)' \right) (\theta)u'(\theta). \tag{2.4}$$

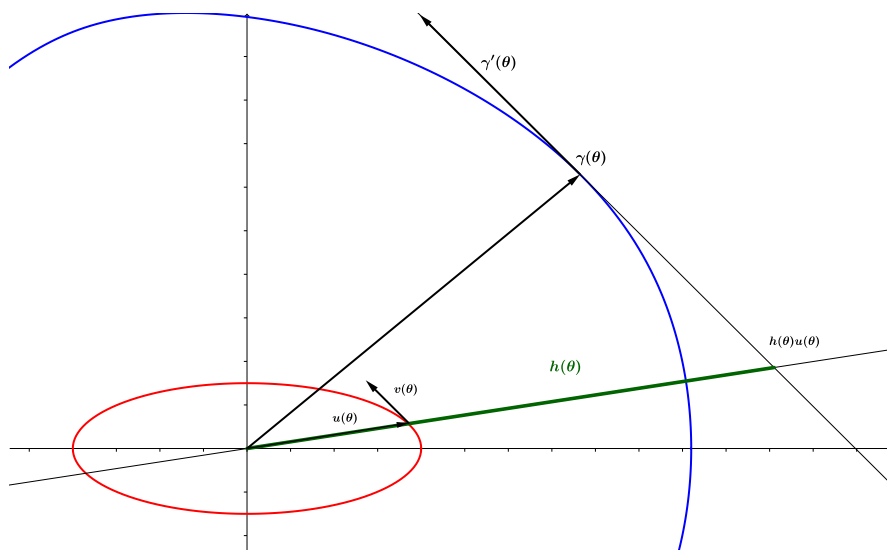


Figura 2.5: Interpretação geométrica da U – função suporte

Geometricamente a U -função suporte $h(\theta)$ de $\gamma(\theta)$ é obtida pela interseção da reta tangente, em θ , com a reta $\{tu(\theta), t \in \mathbb{R}\}$. Essas retas se interceptam no ponto $h(\theta)u(\theta)$. Ver figura 2.5.

Definição 2.12. Definimos o raio de curvatura $r(\theta)$ de $\gamma(\theta) \in \mathcal{H}$ pela condição

$$\gamma'(\theta) = r(\theta)u'(\theta) \tag{2.5}$$

Usando (2.4) teremos

$$r(\theta) = h(\theta) + \frac{1}{[u, u']} \left(\frac{h'}{[v, v']} \right)' (\theta). \tag{2.6}$$

2.5

Exemplo

Exemplo 2.13. Considere o exemplo (2.2) onde $u(t) = ((\cos t)^{2/3}, (\sin t)^{2/3}), 0 \leq t \leq 2\pi$ é o círculo unitário.

Então $[u(t), u'(t)] = \frac{2}{3} \left(\frac{2}{\sin(2t)} \right)^{1/3}$. Portanto por (2.1) seu dual é

$$v(t) = \frac{u'(t)}{[u(t), u'(t)]} = (-\sin(t)^{4/3}, \cos(t)^{4/3}).$$

Nesse exemplo u não é quadraticamente convexa, porém mesmo assim podemos calcular seu dual pela fórmula (2.1). Ver figura 2.6.

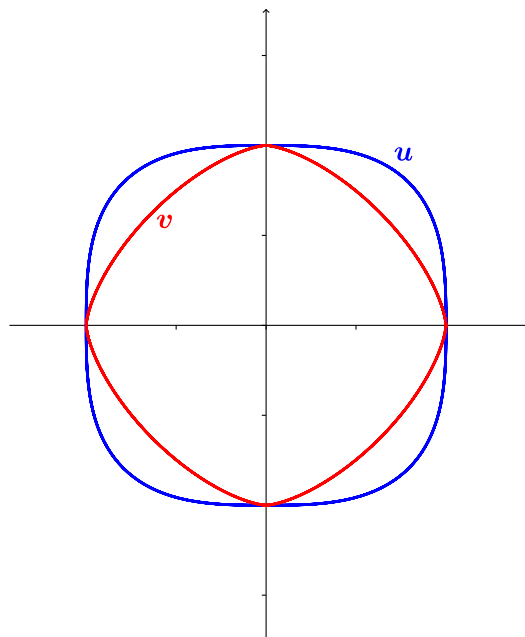


Figura 2.6: Bola unitária U e seu dual V

3

Cáustica de Wigner e Conjunto de Medida de Largura Constante

Seja $\gamma \in \mathcal{H}$, isto é, fechada, suave e parametrizada por $\theta \in [0, 2\pi]$. Considere $(\mathbb{R}^2, \|\cdot\|_U)$.

Definição 3.1 (Paralelos). Chamamos de paralelo de $\gamma(\theta)$ a curva

$$\gamma_c(\theta) = \gamma(\theta) + cu(\theta); c \in \mathbb{R}.$$

O raio de curvatura de $\gamma_c(\theta)$ é $r(\theta) + c$, pois $\gamma'_c(\theta) = (r(\theta) + c)u'(\theta)$, onde $r(\theta)$ é o raio de curvatura de $\gamma(\theta)$. Os cúspides dos paralelos ocorrem quando $r(\theta) + c$ troca de sinal. Observe que $[\gamma'_c(\theta), \gamma''_c(\theta)] = (r(\theta) + c)^2[u'(\theta), u''(\theta)]$. Assim concluímos que γ_c é convexa fora dos cúspides. Em particular γ_c é estritamente convexa, oval, para $c > \sup_{\theta \in [0, 2\pi]} |r(\theta)|$. A função suporte de um paralelo é

$$h_{\gamma_c}(\theta) = [\gamma_c\theta, v(\theta)] = [\gamma(\theta) + cu(\theta), v(\theta)] = h(\theta) + c. \quad (3.1)$$

Definição 3.2 (Comprimento— v com sinal). Seja $\gamma \in \mathcal{H}$ curva parametrizada por θ . Como $\gamma'(\theta) = r(\theta)[u, u'](\theta)v(\theta)$, definimos comprimento— v com sinal

$$L_v(\gamma) = \int_0^{2\pi} r(\theta)[u(\theta), u'(\theta)]d\theta,$$

onde $r(\theta)$ é o raio de curvatura de $\gamma(\theta)$.

A partir dessa definição podemos ter comprimento— v com sinal igual a zero.

Definição 3.3 (Área com sinal). Seja $\gamma \in \mathcal{H}$ curva parametrizada por θ . Definimos área com sinal de γ como

$$\tilde{A}(\gamma) = \frac{1}{2} \int_0^{2\pi} [\gamma(\theta), \gamma'(\theta)]d\theta.$$

A partir dessa definição podemos ter área com sinal com valor negativo. Importante notar que se γ é uma oval centrada na origem e orientada positivamente então a área com sinal é a própria área limitada pela curva.

3.1

Cáustica De Wigner e Curvas de Largura Constante

Definição 3.4. *Seja $\gamma \in \mathcal{H}$. Chamamos Evoluta de Área ou Cáustica de Wigner (CW) o conjunto*

$$CW(\gamma)(\theta) = \frac{\gamma(\theta) + \gamma(\theta + \pi)}{2}; \theta \in [0, 2\pi].$$

Como $CW(\gamma)(\theta) = CW(\gamma)(\theta + \pi)$ temos que $CW(\gamma)(\theta)$ possui período π e dá duas voltas no intervalo $[0, 2\pi]$. Seus cúspides ocorrem quando $r(\theta) = r(\theta + \pi)$, pois $CW'(\gamma)(\theta) = \left(\frac{r(\theta) - r(\theta + \pi)}{2}\right) u'(\theta)$. A função suporte de $CW(\gamma)(\theta)$ é

$$h_{CW(\gamma)} = [(\gamma(\theta) + \gamma(\theta + \pi))/2, v(\theta)] = \frac{h(\theta)}{2} - \frac{h(\theta + \pi)}{2}. \quad (3.2)$$

Definição 3.5 (Largura Constante). *Dizemos que uma curva $\gamma \in \mathcal{H}$ possui largura constante se, $h(\theta) + h(\theta + \pi) = 2d, d > 0$ (d constante real). Nesse caso dizemos que a largura da curva γ é $2d$.*

Geometricamente uma curva tem largura constante se a distância, na U -norma, entre as retas tangentes paralelas é sempre a mesma.

Exemplo 3.6. *Considere a curva $\gamma \in \mathcal{H}$ tal que $h(\theta) = \cos(\theta) + \cos(3\theta) + 15$. Ver figura 3.1.*

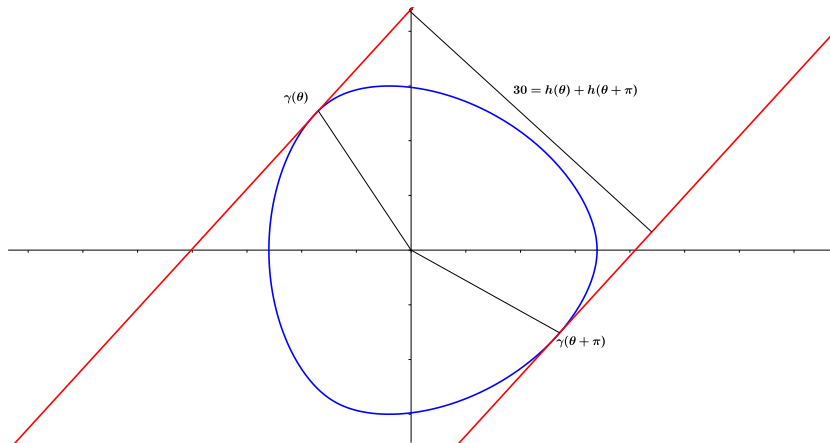


Figura 3.1: Interpretação geométrica de curva γ com largura constante.

Proposição 3.7. $\gamma \in \mathcal{H}$ tem largura constante $\Leftrightarrow \gamma(\theta) - \gamma(\theta + \pi) = 2du(\theta), d$ constante.

Demonstração. (\Rightarrow)

Da equação (2.3) temos

$$\gamma(\theta) = h(\theta)u(\theta) + \frac{h'(\theta)}{[v(\theta), v'(\theta)]}v(\theta)$$

assim teremos

$$\gamma(\theta) - \gamma(\theta + \pi) = (h(\theta) + h(\theta + \pi))u(\theta) + \frac{(h(\theta) + h(\theta + \pi))'}{[v(\theta), v'(\theta)]}v(\theta)$$

$$\gamma(\theta) - \gamma(\theta + \pi) = 2du(\theta)$$

(\Leftarrow)

$$\begin{aligned} h(\theta) + h(\theta + \pi) &= [\gamma(\theta), v(\theta)] + [\gamma(\theta + \pi), v(\theta + \pi)] \\ &= [\gamma(\theta) - \gamma(\theta + \pi), v(\theta)] \\ &= [2du(\theta), v(\theta)] \\ &= 2d(\text{constante}) \end{aligned}$$

■

Definição 3.8 (Largura Média). Chamamos de largura média da curva $\gamma \in \mathcal{H}$ número $\bar{w}_\gamma = \frac{L_v(\gamma)}{A(U)}$, onde $L_v(\gamma)$ é o comprimento da curva γ na norma dual e $A(U)$ é a área da bola unitária U .

Teorema 3.9 (Barbier). Seja $\gamma \in \mathcal{H}$ com largura constante $2d$ então $L_v(\gamma) = 2dA(U)$, onde U é a bola unitária.

Demonstração.

$$\begin{aligned} L_v(\gamma) &= \int_0^{2\pi} r(\theta)[u(\theta), u'(\theta)]d\theta = \int_0^{2\pi} [u(\theta), \gamma'(\theta)]d\theta \\ &= \int_0^{2\pi} [\gamma(\theta), u'(\theta)]d\theta = \frac{1}{2} \int_0^{2\pi} [\gamma(\theta), u'(\theta)] + [\gamma(\theta + \pi), u'(\theta + \pi)]d\theta \\ &= \frac{1}{2} \int_0^{2\pi} (h(\theta) + h(\theta + \pi))[u(\theta), u'(\theta)]d\theta \\ &= 2d \frac{1}{2} \int_0^{2\pi} [u(\theta), u'(\theta)]d\theta = 2dA(U) \end{aligned}$$

■

Caso a curva γ possua largura constante $2d$ então pelo Teorema de Barbier, $L_v(\gamma) = A(U)2d$ (ver [16] e [18]). Nesse caso a largura média e a largura da curva são iguais.

Proposição 3.10. *Seja $\gamma \in \mathcal{H}$. CW é paralelo de $\gamma \Leftrightarrow \gamma$ tem largura constante.*

Demonstração. (\Rightarrow)

$(\gamma(\theta) + \gamma(\theta + \pi))/2 = \gamma(\theta) + cu(\theta) \Rightarrow \gamma(\theta) - \gamma(\theta + \pi) = -2cu(\theta)$. Pela proposição (3.7) γ tem largura constante.

(\Leftarrow)

$$\begin{aligned} CW(\gamma)(\theta) &= \frac{\gamma(\theta) + \gamma(\theta + \pi)}{2} \\ &= \gamma(\theta) - \frac{\gamma(\theta) - \gamma(\theta + \pi)}{2} \\ &= \gamma(\theta) - \frac{c}{2}u(\theta) \end{aligned}$$

■

Proposição 3.11. *Considere $\gamma \in \mathcal{H}$ parametrizada por θ . $CW(\gamma) = \{0\} \Leftrightarrow \gamma$ é simétrica com respeito a origem.*

Demonstração.

$$CW(\gamma)(\theta) = \frac{\gamma(\theta) + \gamma(\theta + \pi)}{2} = \frac{\gamma(\theta) - \gamma(\theta)}{2} = 0$$

■

Proposição 3.12. $CW(CW(\gamma)(\theta)) = CW(\gamma)(\theta)$

Demonstração.

$$\begin{aligned} CW(CW(\gamma)(\theta)) &= \frac{CW(\gamma)(\theta) + CW(\gamma)(\theta + \pi)}{2} \\ &= \frac{2CW(\gamma)(\theta)}{2} \\ &= CW(\gamma)(\theta) \end{aligned}$$

■

Proposição 3.13. $\gamma \in \mathcal{H}$. $CW(\gamma_c) = CW(\gamma)$

Demonstração.

$$\begin{aligned} CW(\gamma_c)(\theta) &= \frac{\gamma(\theta) + cu(\theta) + \gamma(\theta + \pi) + cu(\theta + \pi)}{2} \\ &= \frac{\gamma(\theta) + \gamma(\theta + \pi)}{2} \\ &= CW(\gamma) \end{aligned}$$

■

Proposição 3.14. $\gamma \in \mathcal{H}$. $CW(\gamma)$ tem comprimento $-v$ com sinal igual a zero.

Demonstração.

$$\begin{aligned}
 L_v(CW(\gamma)) &= \int_0^{2\pi} r_{CW}(\theta)[u(\theta), u'(\theta)]d\theta \\
 &= \int_0^{2\pi} \frac{(r(\theta) - r(\theta + \pi))}{2}[u(\theta), u'(\theta)]d\theta \\
 &= \frac{1}{2} \left[\int_0^{2\pi} r(\theta)[u(\theta), u'(\theta)]d\theta - \int_0^{2\pi} r(\theta + \pi)[u(\theta), u'(\theta)]d\theta \right] \\
 &= \frac{1}{2} \left[\int_0^{2\pi} r(\theta)[u(\theta), u'(\theta)]d\theta - \int_0^{2\pi} r(\theta + \pi)[u(\theta + \pi), u'(\theta + \pi)]d\theta \right] \\
 &= \frac{1}{2}[L_v(\gamma) - L_v(\gamma)] = 0
 \end{aligned}$$

■

3.2

Conjunto de Medida de Largura Constante e Curvas Simétricas

Definição 3.15. Considere $\gamma \in \mathcal{H}$. Definimos como Conjunto de Medida de Largura constante, abreviado por *CMLC*,

$$CMLC(\gamma)(\theta) = \frac{1}{2}(\gamma(\theta) - \gamma(\theta + \pi) - \bar{w}_\gamma u(\theta)), \theta \in [0, 2\pi]$$

Ver [23] para versão Euclidiana do *CMLC*.

A função suporte de *CMLC* é

$$h_{CMLC(\gamma)}(\theta) = \frac{1}{2}[\gamma(\theta) - \gamma(\theta + \pi) - \bar{w}_\gamma u(\theta), v(\theta)] = \frac{1}{2}(h(\theta) + h(\theta + \pi) - \bar{w}_\gamma). \quad (3.3)$$

Proposição 3.16. Seja $\gamma \in \mathcal{H}$. A curva $CMLC(\gamma)(\theta)$ é simétrica.

Demonstração.

$$\begin{aligned}
 CMLC(\gamma)(\theta + \pi) &= \frac{\gamma(\theta + \pi) - \gamma(\theta + 2\pi) - \bar{w}_\gamma u(\theta + \pi)}{2} \\
 &= \frac{\gamma(\theta + \pi) - \gamma(\theta) + \bar{w}_\gamma u(\theta)}{2} \\
 &= -\frac{\gamma(\theta) - \gamma(\theta + \pi) - \bar{w}_\gamma u(\theta)}{2} \\
 &= -CMLC(\gamma)(\theta).
 \end{aligned}$$

■

Proposição 3.17. *Seja $\gamma \in \mathcal{H}$. CMLC é paralelo de $\gamma \Leftrightarrow \gamma$ é simétrica.*

Demonstração.

(\Rightarrow)

$$\begin{aligned} CMLC(\gamma)(\theta) &= \gamma(\theta) + cu(\theta) \Rightarrow \\ \gamma(\theta) &= CMLC(\gamma)(\theta) - cu(\theta) \Rightarrow \\ \gamma(\theta + \pi) &= CMLC(\gamma)(\theta + \pi) - cu(\theta + \pi) = -\gamma(\theta). \end{aligned}$$

(\Leftarrow)

$$\begin{aligned} CMLC(\gamma)(\theta) &= \frac{\gamma(\theta) - \gamma(\theta + \pi) - \bar{w}_\gamma u(\theta)}{2} \\ &= \frac{\gamma(\theta) + \gamma(\theta) - \bar{w}_\gamma u(\theta)}{2} \\ &= \gamma(\theta) - \frac{\bar{w}_\gamma}{2} u(\theta). \end{aligned}$$

Portanto CMLC é paralelo de γ onde $c = -\frac{\bar{w}_\gamma}{2}$ ■

Teorema 3.18. *Considere $\gamma \in \mathcal{H}$ parametrizada por θ . $CMLC(\gamma) = \{0\} \Leftrightarrow \gamma$ possui largura constante.*

Demonstração. (\Rightarrow) Por hipótese $\gamma(\theta) = \gamma(\theta + \pi) + \bar{w}_\gamma u(\theta)$

$$\begin{aligned} h(\theta) + h(\theta + \pi) &= \\ &= [\gamma(\theta), v(\theta)] + [\gamma(\theta + \pi), v(\theta + \pi)] \\ &= [\gamma(\theta + \pi) + \bar{w}_\gamma u(\theta), v(\theta)] + [\gamma(\theta + \pi), -v(\theta)] \\ &= [\gamma(\theta + \pi), v(\theta)] - [\gamma(\theta + \pi), v(\theta)] + [\bar{w}_\gamma u(\theta), v(\theta)] \\ &= \bar{w}_\gamma [u(\theta), v(\theta)] = \bar{w}_\gamma (\text{constante}) \end{aligned}$$

(\Leftarrow) Por hipótese \bar{w}_γ é a largura de γ . Utilizando a equação (3.3) teremos

$$\begin{aligned} \gamma(\theta) - \gamma(\theta + \pi) &= \\ &= (h(\theta) + h(\theta + \pi))u(\theta) + (h(\theta) + h(\theta + \pi))' \frac{v(\theta)}{[v(\theta), v'(\theta)]} \\ &= (h(\theta) + h(\theta + \pi))u(\theta) \\ &= \bar{w}_\gamma u(\theta) \end{aligned}$$

■

Proposição 3.19. $\gamma \in \mathcal{H}$. $CMLC$ tem comprimento- v zero.

Demonstração.

Como $(CMLC)'(\gamma)(\theta) = \left(\frac{r(\theta) + r(\theta + \pi) - \bar{w}_\gamma}{2} \right) u'(\theta)$ temos

$$\begin{aligned} L_v(CMLC(\gamma)) &= \int_0^{2\pi} \left(\frac{r(\theta) + r(\theta + \pi) - \bar{w}_\gamma}{2} \right) [u(\theta), u'(\theta)] d\theta \\ &= \frac{1}{2} (2L_v(\gamma) - 2\bar{w}_\gamma A(U)) \\ &= L_v(\gamma) - \frac{L_v(\gamma)}{A(U)} A(U) = 0 \end{aligned}$$

■

Proposição 3.20. $\gamma \in \mathcal{H}$. $CMLC(CMLC(\gamma)) = CMLC(\gamma)$

Demonstração.

Como $CMLC$ é simétrico e tem comprimento- v zero. temos

$$\begin{aligned} CMLC(CMLC(\gamma)(\theta)) &= \frac{CMLC(\gamma)(\theta) - CMLC(\gamma)(\theta + \pi) - \bar{w}_{CMLC} u(\theta)}{2} \\ &= \frac{CMLC(\gamma)(\theta) + CMLC(\gamma)(\theta) - 0 \cdot u(\theta)}{2} \\ &= CMLC(\gamma)(\theta) \end{aligned}$$

■

Proposição 3.21. $\gamma \in \mathcal{H}$. $CMLC(\gamma_c) = CMLC(\gamma)$

Demonstração. Como $L_v(\gamma_c) = \int_0^{2\pi} (r(\theta) + c)[u(\theta), u'(\theta)] d\theta = L_v(\gamma) + 2cA(U)$. Dessa forma $\bar{w}_{\gamma_c} = \bar{w}_\gamma + 2c$. Assim teremos

$$\begin{aligned} CMLC(\gamma_c)(\theta) &= \frac{\gamma(\theta) + cu(\theta) - (\gamma(\theta + \pi) + cu(\theta + \pi)) - \bar{w}_{\gamma_c} u(\theta)}{2} \\ &= \frac{\gamma(\theta) - \gamma(\theta + \pi) + 2cu(\theta) - (\bar{w}_\gamma + 2c)u(\theta)}{2} \\ &= \frac{\gamma(\theta) - \gamma(\theta + \pi) - \bar{w}_\gamma u(\theta)}{2} \\ &= CMLC(\gamma)(\theta) \end{aligned}$$

■

3.3

Decomposição da curva γ como soma de Cáustica de Wigner, CMLC e bola unitária.

Proposição 3.22. $\gamma \in \mathcal{H}$. $\gamma(\theta) = CW(\gamma)(\theta) + CMLC(\gamma)(\theta) + \frac{\bar{w}_\gamma}{2}u(\theta)$ e $h_\gamma(\theta) = h_{CW(\gamma)}(\theta) + h_{CMLC(\gamma)}(\theta) + \frac{\bar{w}_\gamma}{2}$.

Corolário 3.23. $\gamma \in \mathcal{H}$. $\gamma(\theta) = CW(\gamma)(\theta) + CMLC(\gamma)(\theta)$ e $h_\gamma(\theta) = h_{CW(\gamma)}(\theta) + h_{CMLC(\gamma)}(\theta) \Leftrightarrow L_V(\gamma) = 0$

É simples ver que os resultados acima são consequência do fato que

$$\gamma(\theta) = \frac{\gamma(\theta) + \gamma(\theta + \pi)}{2} + \frac{\gamma(\theta) - \gamma(\theta + \pi)}{2}.$$

3.4

Cúspides CMLC e Cáustica de Wigner

Teorema 3.24. *Seja $\gamma \in \mathcal{H}$ curva que possui apenas singularidades ordinárias, isto é, do tipo 2-cúspide. Então o número de 2-cúspides de $CMLC(\gamma)$ é múltiplo de quatro.*

Demonstração. O número de cúspides de $CMLC$ é igual ao número de zeros de $r_{CMLC(\gamma)}(\theta) = \frac{1}{2}r(\theta) + r(\theta + \pi) - \bar{w}_\gamma$ no intervalo de 0 até 2π . Como $r_{CMLC(\gamma)}(0) = r_{CMLC(\gamma)}(\pi)$ então o número de cúspides de 0 a π é par. Como $r_{CMLC(\gamma)}(\theta)$ é π -periódica concluímos que o número de cúspides deve ser múltiplo de quatro. ■

Teorema 3.25. *Seja $\gamma \in \mathcal{H}$ curva que possui apenas singularidades ordinárias, isto é, do tipo 2-cúspide. Então o número de 2-cúspides de $CW(\gamma)$ é $2k$, k ímpar.*

Demonstração. Observe que $CW'(\gamma)(\theta) = \frac{r(\theta) - r(\theta + \pi)}{2}u'(\theta)$. Assim, $r_{CW(\gamma)}(\theta) = \frac{r(\theta) - r(\theta + \pi)}{2}$. Como $r_{CW(\gamma)}(\theta) = -r_{CW(\gamma)}(\theta + \pi)$, o número de zeros de θ até $\theta + \pi$ é ímpar. Como CW é π -periódica temos o desejado.

Os teoremas acima são falsos se considerarmos singularidades do tipo n -cúspides com $n \neq 2$. Basta observar que a curva do exemplo 2.6 é uma Cáustica de Wigner que possui 8 cúspides no intervalo $[0, 2\pi]$.

3.5

Áreas com sinal de CW e CMLC

Definição 3.26. *Sejam γ_0 e γ_1 ovais parametrizadas por θ . Definimos como área mista das curvas γ_0 e γ_1 ,*

$$A(\gamma_0, \gamma_1) = \frac{1}{2} \int_0^{2\pi} [\gamma_0, \gamma_1'](\theta) d\theta$$

(para mais detalhes ver [8]).

Teorema 3.27 (Desigualdade de Minkowski). *Sejam γ_0 e γ_1 ovais parametrizadas por θ . Então*

$$A(\gamma_0, \gamma_1)^2 \geq A(\gamma_0)A(\gamma_1) \quad (3.4)$$

onde $A(\gamma_0)$, $A(\gamma_1)$ e $A(\gamma_0, \gamma_1)$ são respectivamente áreas das curvas e área mista.

Para prova ver [21]. Interessante notar que fazendo $\gamma_0 = \gamma$ e $\gamma_1 = u$, u bola unitária, teremos pela equação 3.4

$$\begin{aligned} A(\gamma, u)^2 &= \left[\frac{1}{2} \int_0^{2\pi} [\gamma(\theta), u'(\theta)] d\theta \right]^2 = \left[\frac{1}{2} \int_0^{2\pi} r(\theta)[u(\theta), u'(\theta)] d\theta \right]^2 \\ &= \frac{L_v^2(\gamma)}{4} \geq A(u)A(\gamma) \end{aligned}$$

isto é, desigualdade isoperimétrica de Minkowski,

$$L_v^2(\gamma) \geq 4A(u)A(\gamma). \quad (3.5)$$

Proposição 3.28. *Se a curva $\gamma \in \mathcal{H}$ parametrizada por θ então $\check{A}(CW(\gamma)) < 0$, $\check{A}(CMLC(\gamma)) < 0$.*

Demonstração. Ver seção (5.1) áreas e comprimentos. ■

3.6 Evolutas

Definição 3.29. Definimos Evoluta de $\gamma \in \mathcal{H}$ como sendo a curva $e_\gamma(\theta) = \gamma(\theta) - r(\theta)u(\theta)$, onde $r(\theta)$ é o raio de curvatura de γ .

Proposição 3.30. Seja $\gamma \in \mathcal{H}$. Os paralelos de γ e a curva γ possuem a mesma Evoluta.

Demonstração. Como $\gamma'_c(\theta) = (r(\theta) + c)u'(\theta)$ temos que a Evoluta do paralelo é $e_{\gamma_c}(\theta) = \gamma_c(\theta) - (r(\theta) + c)u(\theta) = \gamma(\theta) + cu(\theta) - (r(\theta) + c)u(\theta) = e_\gamma(\theta)$ ■

Proposição 3.31. A Evoluta possui comprimento $-u$ com sinal igual a zero.

Demonstração. Basta observar que $e'_\gamma(\theta) = -r'(\theta)u(\theta)$. Assim temos

$$L_u(e_\gamma) = \int_0^{2\pi} -r'(\theta)d\theta = 0$$

■

Proposição 3.32. Seja $\gamma \in \mathcal{H}$. A v -função suporte da evoluta de γ é $h_{e_\gamma}(\theta) = -\frac{h'(\theta)}{[v(\theta), v'(\theta)]}$, onde $h(\theta)$ é a u -função suporte de γ .

Demonstração. Considere $r(\theta)$ o raio de curvatura de $\gamma(\theta)$. Como $e_\gamma(\theta) = \gamma(\theta) - r(\theta)u(\theta)$ então $e'_\gamma(\theta) = -r'(\theta)u(\theta) = \frac{r(\theta)}{[v(\theta), v'(\theta)]}v'(\theta)$.

$$\begin{aligned} h_{e_\gamma}(\theta) &= [e_\gamma(\theta), u(\theta)] \\ &= [\gamma(\theta) - r(\theta)u(\theta), u(\theta)] \\ &= [\gamma(\theta), u(\theta)] \\ &= \left[h(\theta)u(\theta) + \frac{h'(\theta)}{[v(\theta), v'(\theta)]}v(\theta), u(\theta) \right] \\ &= -\frac{h'(\theta)}{[v(\theta), v'(\theta)]} \end{aligned}$$

■

Proposição 3.33. *Seja $\gamma \in \mathcal{H}$. A u -função suporte da dupla evoluta de γ é*

$$h_{e_{e_\gamma}}(\theta) = -\frac{1}{[u(\theta), u'(\theta)]} \left(\frac{h'(\theta)}{[v(\theta), v'(\theta)]} \right)'.$$

Onde $h(\theta)$ é a u -função suporte de γ .

Demonstração. Como $e_{e_\gamma}(\theta) = e_\gamma(\theta) - \frac{r(\theta)}{[v(\theta), v'(\theta)]}v(\theta)$ então $e'_{e_\gamma}(\theta) = -\left(\frac{r(\theta)}{[v(\theta), v'(\theta)]}\right)' \frac{1}{[u(\theta), u'(\theta)]}u'(\theta)$.

$$\begin{aligned} h_{e_{e_\gamma}}(\theta) &= [e_{e_\gamma}(\theta), v(\theta)] \\ &= \left[e_\gamma(\theta) - \frac{r(\theta)}{[v(\theta), v'(\theta)]}v(\theta), v(\theta) \right] \\ &= [e_\gamma(\theta), v(\theta)] \\ &= [\gamma(\theta) - r(\theta)u(\theta), v(\theta)] \\ &= h(\theta) - r(\theta) \\ &= h(\theta) - \left(h(\theta) + \frac{1}{[u(\theta), u'(\theta)]} \left(\frac{h'(\theta)}{[v(\theta), v'(\theta)]} \right)' \right) \\ &= -\frac{1}{[u(\theta), u'(\theta)]} \left(\frac{h'(\theta)}{[v(\theta), v'(\theta)]} \right)' \end{aligned}$$

■

Proposição 3.34. *Seja $\gamma \in \mathcal{H}$. Então $e(CW(\gamma)) = CW(e_\gamma)$ e $e(CMLC(\gamma)) = CMLC(e_\gamma)$. Isto é, evolutas comutam com CW e CMLC.*

Demonstração.

$$\begin{aligned} e_{CW}(\theta) &= CW(\theta) - r_{CW}(\theta)u(\theta) \\ &= \frac{\gamma(\theta) + \gamma(\theta + \pi)}{2} - \frac{r(\theta) - r(\theta + \pi)}{2}u(\theta) \\ &= \frac{\gamma(\theta) - r(\theta)u(\theta) + \gamma(\theta + \pi) - r(\theta + \pi)u(\theta + \pi)}{2} \\ &= \frac{e_\gamma(\theta) + e_\gamma(\theta + \pi)}{2} \\ &= CW(e_\gamma)(\theta) \end{aligned}$$

$$\begin{aligned}
 e_{CMLC}(\theta) &= CMLC(\theta) - r_{CMLC}(\theta)u(\theta) \\
 &= \frac{\gamma(\theta) - \gamma(\theta + \pi) - \bar{w}_\gamma u(\theta)}{2} - \frac{r(\theta) + r(\theta + \pi) - \bar{w}_\gamma u(\theta)}{2} \\
 &= \frac{\gamma(\theta) - r(\theta)u(\theta) - (\gamma(\theta + \pi) - r(\theta + \pi)u(\theta + \pi)) - \bar{w}_{e_\gamma} u(\theta)}{2} \\
 &= \frac{e_\gamma(\theta) - e_\gamma(\theta + \pi) - \bar{w}_{e_\gamma} u(\theta)}{2} \\
 &= \frac{e_\gamma(\theta) - e_\gamma(\theta + \pi)}{2} \\
 &= CMLC(e_\gamma)(\theta)
 \end{aligned}$$

Observe que nesse caso $\bar{w}_{e_\gamma} = \frac{L_u(e_\gamma)}{A(u)} = 0$. ■

3.7

Exemplos

Exemplo 3.35. Seja $h(\theta) = \cos(3\theta) + 20$ e $u(\theta) = (\cos(\theta), \sin(\theta))$. Como consequência $v(\theta) = (-\sin(\theta), \cos(\theta))$. Como

$$\gamma(\theta) = h(\theta)u(\theta) + \frac{h'(\theta)}{[v(\theta), v'(\theta)]}v(\theta)$$

teremos $\gamma(\theta) = (\cos(\theta)\cos(3\theta) + 3\sin(\theta)\sin(3\theta) + 20\cos(\theta), \cos(3\theta)\sin(\theta) - 3\sin(3\theta)\cos(\theta) + 20\sin(\theta))$. A curva $\gamma(\theta)$ tem largura constante pois $h(\theta) + h(\theta + \pi) = 20$ dessa forma pelo teorema (3.16) $CMLC(\theta) = \{0\}$. Ver figura 3.2.

Exemplo 3.36. Seja $h(\theta) = \cos(4\theta) + 18$ e $u(\theta) = (\cos(\theta), \sin(\theta))$. Como consequência $v(\theta) = (-\sin(\theta), \cos(\theta))$. Como

$$\gamma(\theta) = h(\theta)u(\theta) + \frac{h'(\theta)}{[v(\theta), v'(\theta)]}v(\theta)$$

teremos $\gamma(\theta) = (\cos(\theta)\cos(4\theta) + 4\sin(\theta)\sin(4\theta) + 18\cos(\theta), \sin(\theta)\cos(4\theta) - 4\cos(\theta)\sin(4\theta) + 18\sin(\theta))$.

A curva $\gamma(\theta)$ é simétrica pois $h(\theta) = h(\theta + \pi)$. Dessa forma teremos $CW(\gamma)(\theta) = \{0\}$ e por proposição (3.9) $CMLC(\gamma)(\theta) = \gamma(\theta) - 18u(\theta)$. Ver figura 3.3.

Exemplo 3.37. Seja $h(\theta) = \cos(2\theta) + \sin(3\theta) + 20$ e $u(\theta) = (\cos(\theta), \sin(\theta))$. Como consequência $v(\theta) = (-\sin(\theta), \cos(\theta))$. Como

$$\gamma(\theta) = h(\theta)u(\theta) + \frac{h'(\theta)}{[v(\theta), v'(\theta)]}v(\theta)$$

teremos $\gamma(\theta) = (\cos(\theta)\cos(2\theta) + \cos(\theta)\sin(3\theta) + 2\sin(\theta)\sin(2\theta) - 3\cos(3\theta)\sin(\theta) + 20\cos(\theta), \cos(2\theta)\sin(\theta) + \sin(3\theta)\sin(\theta) - 2\sin(2\theta)\cos(\theta) + 3\cos(3\theta)\cos(\theta) + 20\sin(\theta))$.

Nesse caso a oval γ não é simétrica e nem possui largura constante.

$$CW(\gamma)(\theta) = (\cos(\theta)\sin(3\theta) - 3\sin(\theta)\cos(3\theta), \sin(3\theta)\sin(\theta) + 3\cos(3\theta)\cos(\theta)).$$

Como $L_V(\gamma) = 40\pi$ então

$$CMLC(\gamma)(\theta) = (\cos(\theta)\cos(2\theta) + 2\sin(2\theta)\sin(\theta), \cos(2\theta)\sin(\theta) - 2\sin(2\theta)\cos(\theta)).$$

Ver figura 3.4

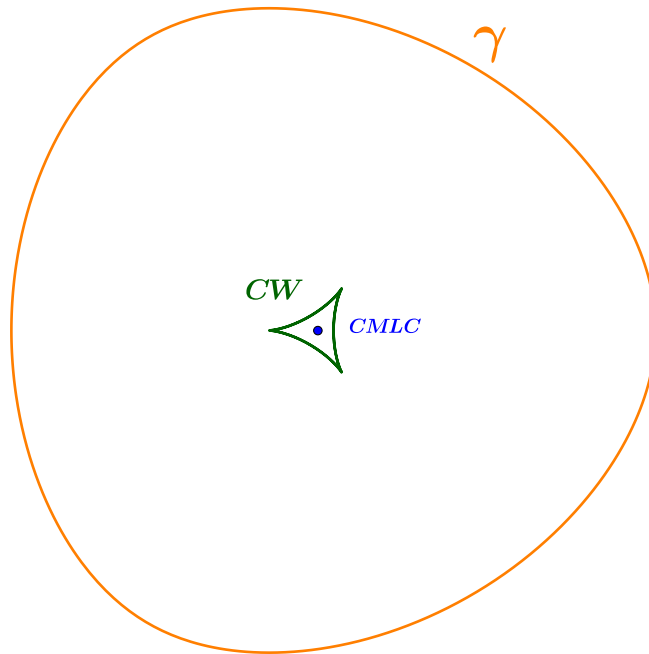


Figura 3.2: Curva γ de largura constante, $CMLC(\gamma)$ e $CW(\gamma)$

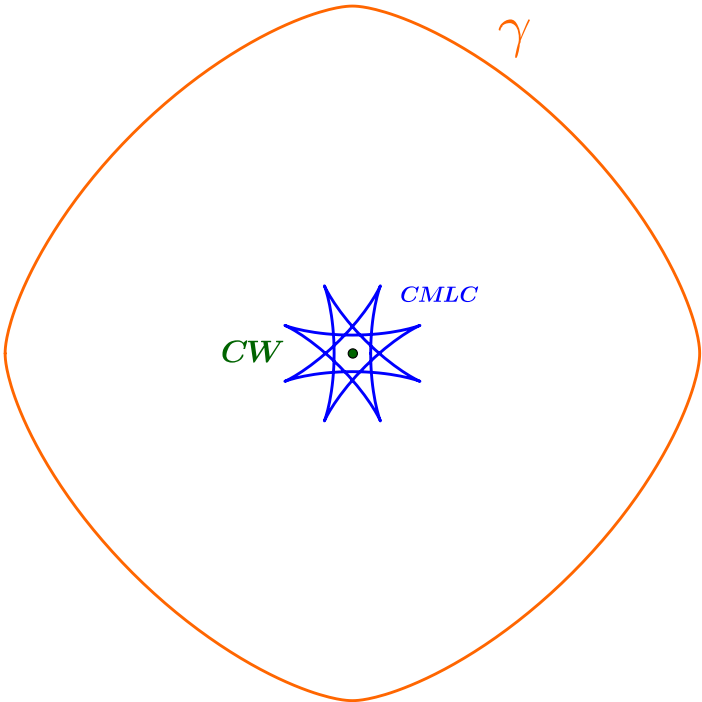


Figura 3.3: Curva γ simétrica, Cáustica $CW(\gamma)$ e $CMLC(\gamma)$

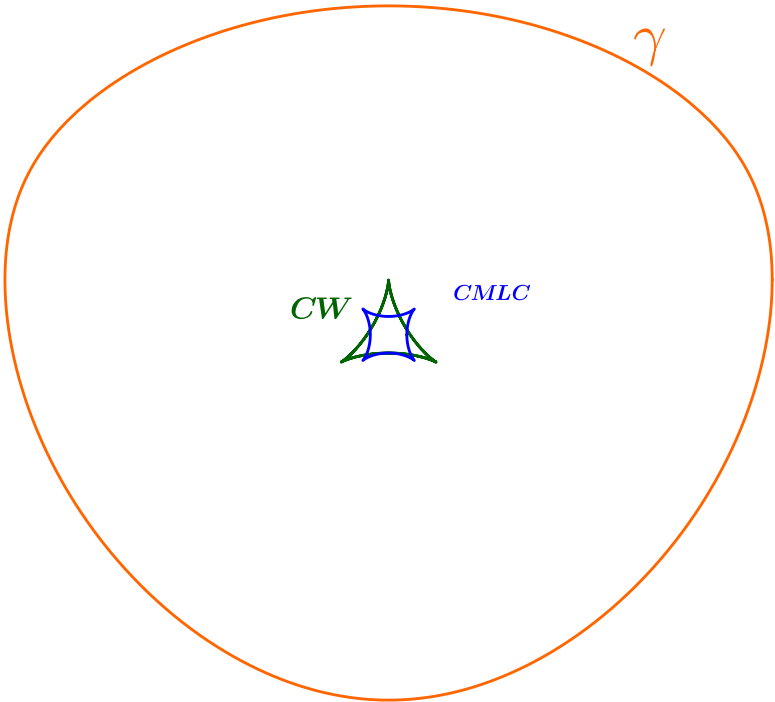


Figura 3.4: Curva γ , Cáustica $CW(\gamma)$ e $CMLC(\gamma)$

4

Igualdade Isoperimétrica em Plano Normado

Teorema 4.1 (Igualdade Isoperimétrica em Plano Normado). *Seja $\gamma \in \mathcal{H}$ no plano (\mathbb{R}^2, U) , onde U é a bola unitária. Então*

$$L_v^2(\gamma) = 4A_U \tilde{A}_\gamma - 8A_U \tilde{A}_{CW(\gamma)} - 4A_U \tilde{A}_{CMLC(\gamma)}, \quad (4.1)$$

onde $L_v(\gamma)$ indica o comprimento- v com sinal da curva γ , A_U indica a área da bola unitária e $\tilde{A}_\gamma, \tilde{A}_{CW(\gamma)}, \tilde{A}_{CMLC(\gamma)}$ indicam respectivamente as áreas com sinal das curvas $\gamma, CW(\gamma)$ e $CMLC(\gamma)$.

Demonstração. Pela proposição (3.20) temos

$$\gamma(\theta) = \left(\frac{\gamma(\theta) + \gamma(\theta + \pi)}{2} \right) + \left(\frac{\gamma(\theta) - \gamma(\theta + \pi) - \bar{w}_\gamma u(\theta)}{2} \right) + \frac{\bar{w}_\gamma}{2} u(\theta)$$

isto é,

$$\gamma(\theta) = CW(\gamma)(\theta) + CMLC(\gamma)(\theta) + \frac{\bar{w}_\gamma}{2} u(\theta).$$

Vamos proceder da seguinte maneira: calcular a área de $\gamma(\theta)$ utilizando a proposição (3.20) e assim obter a Igualdade Isoperimétrica. Iremos também utilizar um resultado de integração por partes

$$\int_0^{2\pi} [f'(t), g(t)] dt = - \int_0^{2\pi} [f(t), g'(t)] dt,$$

onde f, g são de classe C^1 e que

$$\int_0^{2\pi} [CMLC(\gamma)(\theta), CW'(\gamma)(\theta)] d\theta = 0$$

$$\begin{aligned}
 \tilde{A}(\gamma) &= \frac{1}{2} \int_0^{2\pi} [\gamma(\theta), \gamma'(\theta)] d\theta \\
 &= \frac{1}{2} \int_0^{2\pi} \left[CW(\theta) + CMLC(\theta) + \frac{\bar{w}_\gamma}{2} u(\theta), CW'(\theta) + CMLC'(\theta) + \frac{\bar{w}_\gamma}{2} u'(\theta) \right] d\theta \\
 &= \frac{1}{2} \int_0^{2\pi} [CW(\theta), CW'(\theta)] d\theta + \frac{1}{2} \int_0^{2\pi} [CMLC(\theta), CMLC'(\theta)] d\theta \\
 &\quad + \frac{1}{2} \int_0^{2\pi} \frac{\bar{w}_\gamma^2}{4} [u(\theta), u'(\theta)] d\theta + \frac{1}{2} \int_0^{2\pi} [CW(\theta), CMLC'(\theta)] d\theta \\
 &\quad + \frac{1}{2} \int_0^{2\pi} \frac{\bar{w}_\gamma}{2} [CW(\theta), u'(\theta)] d\theta + \frac{1}{2} \int_0^{2\pi} [CMLC(\theta), CW'(\theta)] d\theta \\
 &\quad + \frac{1}{2} \int_0^{2\pi} \frac{\bar{w}_\gamma}{2} [CMLC(\theta), u'(\theta)] d\theta + \frac{1}{2} \int_0^{2\pi} \frac{\bar{w}_\gamma}{2} [u(\theta), CW'(\theta)] d\theta \\
 &\quad + \frac{1}{2} \int_0^{2\pi} \frac{\bar{w}_\gamma}{2} [u(\theta), CMLC'(\theta)] d\theta \\
 &= 2\tilde{A}_{CW(\gamma)} + \tilde{A}_{CMLC(\gamma)} + \frac{\bar{w}_\gamma^2}{4} A_U + \frac{1}{2} \int_0^{2\pi} [CMLC(\theta), CW'(\theta)] d\theta \\
 &\quad + \frac{1}{2} \int_0^{2\pi} [CMLC(\theta), CW'(\theta)] d\theta + \int_0^2 \frac{\bar{w}_\gamma}{2} [u(\theta), CW'(\theta)] d\theta \\
 &\quad + \int_0^2 \frac{\bar{w}_\gamma}{2} [u(\theta), CMLC'(\theta)] d\theta \\
 &= 2\tilde{A}_{CW(\gamma)} + \tilde{A}_{CMLC(\gamma)} + \frac{\bar{w}_\gamma^2}{4} A_U + \frac{\bar{w}_\gamma}{2} \int_0^2 [u(\theta), CW'(\theta) + CMLC'(\theta)] d\theta \\
 &= 2\tilde{A}_{CW(\gamma)} + \tilde{A}_{CMLC(\gamma)} + \frac{\bar{w}_\gamma^2}{4} A_U + \frac{\bar{w}_\gamma}{2} \int_0^2 [u(\theta), \gamma'(\theta) - \frac{\bar{w}_\gamma}{2} u'(\theta)] d\theta \\
 &= 2\tilde{A}_{CW(\gamma)} + \tilde{A}_{CMLC(\gamma)} + \frac{\bar{w}_\gamma^2}{4} A_U \\
 &\quad + \frac{\bar{w}_\gamma}{2} \left[\int_0^2 [u(\theta), \gamma'(\theta)] d\theta - \int_0^2 \frac{\bar{w}_\gamma}{2} [u(\theta), u'(\theta)] d\theta \right] \\
 &= 2\tilde{A}_{CW(\gamma)} + \tilde{A}_{CMLC(\gamma)} + \frac{\bar{w}_\gamma^2}{4} A_U + \frac{\bar{w}_\gamma}{2} [L_V(\gamma) - \bar{w}_\gamma A_U] \\
 &= 2\tilde{A}_{CW(\gamma)} + \tilde{A}_{CMLC(\gamma)} + \frac{\bar{w}_\gamma^2}{4} A_U + \frac{\bar{w}_\gamma}{2} \left[L_V(\gamma) - \frac{L_V(\gamma)}{A_U} A_U \right] \\
 &= 2\tilde{A}_{CW(\gamma)} + \tilde{A}_{CMLC(\gamma)} + \frac{\bar{w}_\gamma^2}{4} A_U \\
 &= 2\tilde{A}_{CW(\gamma)} + \tilde{A}_{CMLC(\gamma)} + \frac{L_V^2(\gamma)}{4A_U} \\
 &\Rightarrow L_V^2(\gamma) = 4A_U \tilde{A}_\gamma - 8A_U \tilde{A}_{CW(\gamma)} - 4A_U \tilde{A}_{CMLC(\gamma)}
 \end{aligned}$$

■

Observe que se $\gamma \in \mathcal{H}$ é uma oval então $\tilde{A}_\gamma = A_\gamma$, isto é, a área com sinal é a própria área limitada pela curva. Dessa forma temos os seguintes corolários.

Corolário 4.2. *Seja γ oval no plano (\mathbb{R}^2, U) , onde U é a bola unitária. Então*

$$L_V^2(\gamma) = 4A_U A_\gamma + 8A_U |\tilde{A}_{CW(\gamma)}| + 4A_U |\tilde{A}_{CMLC(\gamma)}|, \quad (4.2)$$

onde $L_V(\gamma)$ indica o comprimento da curva γ na norma dual, A_U e A_γ indicam respectivamente as áreas da bola unitária e da curva γ , $\tilde{A}_{CW(\gamma)}$ e $\tilde{A}_{CMLC(\gamma)}$ indicam respectivamente as áreas com sinal de $CW(\gamma)$ e $CMLC(\gamma)$.

O próximo corolário é uma generalização do resultado de Zwierzyński em [24].

Corolário 4.3. *Seja γ oval no plano (\mathbb{R}^2, U) , onde U é a bola unitária. Então*

$$L_V^2(\gamma) \geq 4A_U A_\gamma + 8A_U |\tilde{A}_{CW(\gamma)}|, \quad (4.3)$$

onde $L_V(\gamma)$ indica o comprimento da curva γ na norma dual, A_U e A_γ indicam respectivamente as áreas da bola unitária e da curva γ , $\tilde{A}_{CW(\gamma)}$ indica a área com sinal de CW . A igualdade ocorre se, e só se, a curva γ tem largura constante.

Corolário 4.4 (Desigualdade Clássica Isoperimétrica no Plano de Minkowski).

Seja γ oval no plano (\mathbb{R}^2, U) , onde U é a bola unitária. Então

$$L_V^2(\gamma) \geq 4A_U A_\gamma, \quad (4.4)$$

onde $L_V(\gamma)$ indica o comprimento da curva γ na norma dual, A_U e A_γ indicam respectivamente as áreas da bola unitária e da curva γ . A igualdade ocorre se, e só se, a curva γ é simétrica e tem largura constante, isto é múltiplo da bola unitária.

Corolário 4.5. *Seja γ oval no plano (\mathbb{R}^2, U) , onde U é a bola unitária. Então*

$$L_V^2(\gamma) \geq 4A_U A_\gamma + 4A_U |\tilde{A}_{CMLC(\gamma)}|, \quad (4.5)$$

onde $L_V(\gamma)$ indica o comprimento da curva γ na norma dual, A_U e A_γ indicam respectivamente as áreas da bola unitária e da curva γ , $\tilde{A}_{CMLC(\gamma)}$ indica a área com sinal de $CMLC(\gamma)$. A igualdade ocorre se, e só se, a curva γ é simétrica.

5

Ciclóides e Base Ortonormal

Ciclóides clássicas têm a propriedade de que sua dupla evoluta é homotética a ela mesma. Considerando esta mesma propriedade em um plano normado qualquer, temos a seguinte definição (proposição (3.31)):

Definição 5.1. *Definimos como ciclóide as curvas $\omega \in \mathcal{H}$, isto é, fechadas, suaves e parametrizadas por $\theta \in [0, 2\pi]$, cuja função suporte $h_\omega(\theta)$ satisfaz a equação*

$$-\frac{1}{[u(\theta), u'(\theta)]} \left(\frac{h'_\omega(\theta)}{[v(\theta), v'(\theta)]} \right)' = \lambda h_\omega(\theta), \lambda \in \mathbb{R}, \quad (5.1)$$

que é a equação diferencial de segunda ordem de Sturm-Liouville exibida em [6].

Todos os resultados obtidos em [6] são baseados na equação de Sturm-Liouville.

Definição 5.2. *Dizemos que λ é autovalor da equação (5.1) se existe função suporte h periódica de período 2π que satisfaz tal equação. A função h é chamada de autovetor.*

O conjunto $C^0(S^1)$ é o espaço das funções reais contínuas, cujo domínio é a circunferência euclidiana unitária, isto é, $h \in C^0(S^1) \Leftrightarrow h : S^1 \rightarrow \mathbb{R}$. De acordo com [6] vamos munir esse conjunto com produto interno

$$\langle h_1, h_2 \rangle = \int_0^{2\pi} h_1(\theta) h_2(\theta) [u(\theta), u'(\theta)] d\theta \quad (5.2)$$

onde u é a fronteira da bola unitária U no plano normado.

Lema 5.3. *A transformação linear*

$$Th = -\frac{1}{[u, u']} \left(\frac{h'}{[v, v']} \right)' \quad (5.3)$$

é auto-adjunta com respeito ao produto interno (5.2).

Demonstração.

$$\begin{aligned} \langle h_1, Th_2 \rangle &= \int_0^{2\pi} h_1 Th_2[u, u'] d\theta = - \int_0^{2\pi} h_1 \left(\frac{h'_2}{[v, v']} \right)' d\theta = \int_0^{2\pi} \frac{h'_1 h'_2}{[v, v']} d\theta \\ &= - \int_0^{2\pi} h_2 \left(\frac{h'_1}{[v, v']} \right)' d\theta = \int_0^{2\pi} h_2 Th_1[u, u'] d\theta = \langle Th_1, h_2 \rangle \end{aligned}$$

■

Observe que o núcleo K da transformação T é subespaço das funções constantes. Com efeito

$$-\frac{1}{[u, u']} \left(\frac{h'}{[v, v']} \right)' = 0 \Leftrightarrow \left(\frac{h'}{[v, v']} \right)' = 0 \Leftrightarrow \frac{h'}{[v, v']} = c(\text{constante}).$$

Suponha sem perda de generalidade $c > 0$. Assim teremos $h' = c[v, v'] > 0$. O que implica h crescente, que é um absurdo pois h é periódica e contínua. Portanto h é constante.

Denote agora $L_0 = K^\perp$. Assim temos que para todo h em L_0 ,

$$\int_0^{2\pi} h(\theta)[u, u'](\theta) d\theta = 0. \tag{5.4}$$

Seja $S : L_0 \rightarrow C^0(S^1)$ a inversa de T .

Lema 5.4. *Para todo $h \in L_0$ seja $g = Sh$. Então*

$$\|g\|_\infty \leq \|[v, v']\|_2 \|[u, u']\|_2 \|h\|_2$$

e

$$\|g'\|_\infty \leq \|[v, v']\|_\infty \|[u, u']\|_2 \|h\|_2.$$

Demonstração. Ver [6].

■

Proposição 5.5. $S : (L_0, \|\cdot\|_2) \rightarrow (L_0, \|\cdot\|_2)$ é operador compacto.

Demonstração. Seja h_n sequência limitada em $(L_0, \|\cdot\|_2)$. Pelo lema (5.3) a sequência $g_n = Sh_n$ é equicontínua e uniformemente limitada. Assim podemos encontrar subsequência g_{n_j} convergente na norma $\|\cdot\|_2$. ■

Definição 5.6. *Sejam $\{h_k^i\}, \{\lambda_k^i\}$, $k \in \mathbb{N}, i = 1, 2$ respectivamente os autovetores e autovalores correspondentes da transformação T lema (5.3).*

Utilizando os resultados anteriores temos o seguinte corolário.

Corolário 5.7. *O conjunto $\{h_k^i\}$, $k \in \mathbb{N}, i = 1, 2$, forma uma base ortonormal de $C^0(S^1)$.*

No caso Euclidiano a base $\{h_k^i\}$ é

$$\{1, \cos(\theta), \sin(\theta), \cos(2\theta), \sin(2\theta), \dots, \cos(k\theta), \sin(k\theta), \dots\}$$

chamada de base de Fourier, onde $h_k^1(\theta) = \cos(k\theta)$, $h_k^2 = \sin(k\theta)$ e $\lambda_k^i = k^2$ e $\lambda_k^i \geq 1$, ver [22] e [6].

Suponhamos que o raio de curvatura $r(\theta)$ de $\gamma(\theta)$ satisfaça a equação (5.1) com $\lambda \neq 1$, então $h(\theta) = \frac{r(\theta)}{1-\lambda}$ satisfaz (5.1). Reciprocamente se a função suporte h da curva γ satisfaz (5.1) então pela equação (2.6), $r(\theta) = h(\theta)(1-\lambda)$ também satisfaz (5.1). Segundo [6], $\lambda = 1$ indica as ciclóides abertas que, portanto, não podem ser representadas por funções suporte periódicas. Para $\lambda \neq 1$ a curva γ possui tanto para o raio de curvatura como função suporte, na transformação T , mesmos autovalores. Como estamos trabalhando com curvas fechadas fica justificado o uso de h ao invés de r na transformação T , Lema (5.3). As ciclóides abertas no plano, não serão consideradas, pois não podemos calcular CW e $CMLC$ dessas curvas.

Vamos assumir agora $C^0(S^1)$ como conjunto das funções suporte h das curvas γ , fechadas suaves em $(\mathbb{R}^2, \|\cdot\|_u)$. Portanto teremos que K representa as curvas que são múltiplos da bola unitária U , pois $h(\theta) = [\gamma(\theta), v(\theta)] = [\alpha u(\theta), v(\theta)] = \alpha(\text{constante})$. L_0 definido pela equação (5.4) representa todas as curvas γ que possuem comprimento dual com sinal zero. Portanto dada uma função suporte h em $C^0(S^1)$ a menos de uma translação, podemos escrevê-la como segue:

$$h = h_0 + \sum_{k \geq 2} a_k^i h_k^i \quad (5.5)$$

$$h' = \sum_{k \geq 2} a_k^i (h_k^i)' \quad (5.6)$$

onde

$$\langle h_m^i, h_n^j \rangle = 0, \text{ se, } m \neq n \quad (5.7)$$

e

$$\langle h_m^i, h_n^j \rangle = A(U), \text{ se, } m = n, i = j. \quad (5.8)$$

Nesse caso $A(U)$ denota a área da bola unitária U em $(\mathbb{R}^2, \|\cdot\|_u)$. Por Lemma(4.2) de [6] temos

$$h_k^i(\theta) = -h_k^i(\theta + \pi), k \text{ ímpar}. \quad (5.9)$$

$$h_k^i(\theta) = h_k^i(\theta + \pi), k \text{ par}. \quad (5.10)$$

Consequentemente $(h_k^i)'(\theta) = -(h_k^i)'(\theta + \pi)$ para k ímpar e $(h_k^i)'(\theta) = (h_k^i)'(\theta + \pi)$ para k par.

Teorema 5.8. *Seja $\{h_0, h_2^1, h_2^2, h_3^1, h_3^2, \dots, h_n^1, h_n^2, \dots\}$ base ortonormal de $C^0(S^1)$, $\omega_k^j \in \mathcal{H}$ cicloide associada a função suporte h_k^j . Então*

1. $CW(\omega_k^j) = \omega_k^j$ e $CMLC(\omega_k^j) = \{0\}$, k ímpar.
2. $CW(\omega_k^j) = \{0\}$ e $CMLC(\omega_k^j) = \omega_k^j$, k par.

Demostração.

Para k ímpar a equação (5.9) e a proposição (3.6) implicam que $\omega_k^j(\theta) = \omega_k^j(\theta + \pi)$, então $CW(\omega_k^j) = \omega_k^j$. Pela a proposição (3.16) $CMLC(\omega_k^j) = \{0\}$. Para k par a equação (5.10) e a proposição (3.9) mostram que ω_k^j é simétrica e portanto $CW(\omega_k^j) = \{0\}$. Pela equação (5.7) temos

$$\begin{aligned} L_v(\omega_k^j) &= \int_0^{2\pi} r_{\omega_k^j}(\theta)[u(\theta), u'(\theta)]d\theta \\ &= \int_0^{2\pi} h_{k_i}^j(1 - \lambda_k^j)[u(\theta), u(\theta)]d\theta \\ &= (1 - \lambda_k^j) \int_0^{2\pi} h_{k_i}^j[u(\theta), u(\theta)]d\theta = 0 \end{aligned}$$

Portanto $\bar{w}_{\omega_k^j} = \frac{L_v(\omega_k^j)}{A(u)} = 0$ e simetria implicam $CMLC(\omega_k^j) = \omega_k^j$ ■

Esse resultado indica que podemos utilizar o CW e CMLC como representação geométrica das ciclóides, com k ímpar e k par respectivamente.

5.1

Áreas e Comprimentos

Nessa seção vamos apresentar o cálculo de áreas orientadas e comprimento dual de curvas em \mathcal{H} estudados até o momento, utilizando a base ortonormal de $C^0(S^1)$, corolário (5.6), isto é, a série de Fourier generalizada.

$$\begin{aligned} L_V(\gamma)(\theta) &= \int_0^{2\pi} r(\theta)[u(\theta), u'(\theta)]d\theta = \int_0^{2\pi} \left(h[u, u'] + \left(\frac{h'}{[v, v']} \right)' \right) (\theta)[u(\theta), u'(\theta)]d\theta \\ &= \int_0^{2\pi} h(\theta)[u, u'](\theta) + \left(\frac{h'(\theta)}{[v, v'](\theta)} \right)' d\theta \\ &= \int_0^{2\pi} h(\theta)[u, u'](\theta)d\theta \\ &= \int_0^{2\pi} \left(h_0 + \sum_{\substack{k \geq 2 \\ i=1,2}} a_k^i h_k^i \right) [u, u'](\theta)d\theta \\ &= h_0 \int_0^{2\pi} [u, u'](\theta)d\theta + \sum_{\substack{k \geq 2 \\ i=1,2}} a_k^i \int_0^{2\pi} h_k^i [u, u'](\theta)d\theta \\ &= 2h_0 \int_0^{2\pi} \frac{1}{2} [u, u'](\theta)d\theta \\ &= 2h_0 A(U) \end{aligned}$$

$$\begin{aligned}
 \tilde{A}(\gamma) &= \frac{1}{2} \int_0^{2\pi} [\gamma, \gamma'](\theta) d\theta \\
 &= \frac{1}{2} \int_0^{2\pi} \left[h(\theta)u(\theta) + \frac{h'(\theta)}{[v, v'](\theta)}v(\theta), \left(h(\theta)[u, u'](\theta) + \left(\frac{h'(\theta)}{[v, v'](\theta)} \right)' v(\theta) \right)' \right] d\theta \\
 &= \frac{1}{2} \int_0^{2\pi} \left(h^2(\theta)[u, u'](\theta) + h(\theta) \left(\frac{h'(\theta)}{[v, v'](\theta)} \right)' \right) [u, v](\theta) d\theta \\
 &= \frac{1}{2} \int_0^{2\pi} \left(h^2(\theta)[u, u'](\theta) + h(\theta) \left(\frac{h'(\theta)}{[v, v'](\theta)} \right)' \right) d\theta \\
 &= \frac{1}{2} \int_0^{2\pi} h^2(\theta)[u, u'](\theta) - \frac{(h'(\theta))^2}{[v, v'](\theta)} d\theta \\
 &= \frac{1}{2} \int_0^{2\pi} \left(h_0 + \sum_{\substack{k \geq 2 \\ i=1,2}} a_k^i h_k^i \right)^2 [u, u'](\theta) - \frac{1}{[v, v']} \left(\sum_{\substack{k \geq 2 \\ i=1,2}} a_k^i (h_k^i)' \right)^2 (\theta) d\theta \\
 &= \frac{1}{2} \int_0^{2\pi} \left(h_0^2 + 2h_0 \sum_{\substack{k \geq 2 \\ i=1,2}} a_k^i h_k^i + \left(\sum_{\substack{k \geq 2 \\ i=1,2}} a_k^i h_k^i \right)^2 \right) [u, u'](\theta) - \frac{1}{[v, v']} \left(\sum_{\substack{k \geq 2 \\ i=1,2}} a_k^i (h_k^i)' \right)^2 (\theta) d\theta \\
 &= \frac{1}{2} h_0^2 \int_0^{2\pi} [u, u'](\theta) d\theta + h_0 \sum_{\substack{k \geq 2 \\ i=1,2}} a_k^i \int_0^{2\pi} h_k^i [u, u'](\theta) d\theta + \frac{1}{2} \sum_{\substack{m \geq 2 \\ i=1,2}} (a_m^i)^2 \int_0^{2\pi} (h_m^i)^2 [u, u'](\theta) d\theta \\
 &\quad + \sum_{\substack{m \neq n \\ i=1,2}} a_m^i a_n^i \int_0^{2\pi} h_m^i h_n^i [u, u'](\theta) d\theta + \sum_{m \neq n} a_m^1 a_n^2 \int_0^{2\pi} h_m^1 h_n^2 [u, u'](\theta) d\theta \\
 &\quad - \frac{1}{2} \sum_{\substack{m \geq 2 \\ i=1,2}} (a_m^i)^2 \int_0^{2\pi} \frac{1}{[v, v']} ((h_m^i)')^2 (\theta) d\theta - \sum_{\substack{m \neq n \\ i=1,2}} a_m^i a_n^i \int_0^{2\pi} \frac{1}{[v, v']} (h_m^i)' (h_n^i)' (\theta) d\theta \\
 &\quad - \sum_{m \neq n} a_m^1 a_n^2 \int_0^{2\pi} \frac{1}{[v, v']} (h_m^1)' (h_n^2)' (\theta) d\theta \\
 &= h_0^2 A(U) + \frac{1}{2} \sum_{\substack{k \geq 2 \\ i=1,2}} (a_k^i)^2 \int_0^{2\pi} (h_k^i)^2 [u, u'](\theta) - \frac{1}{[v, v']} ((h_k^i)')^2 (\theta) d\theta \\
 &= h_0^2 A(U) + \frac{1}{2} \sum_{\substack{k \geq 2 \\ i=1,2}} (a_k^i)^2 \int_0^{2\pi} (h_k^i)^2 [u, u'](\theta) + h_k^i \left(\frac{(h_k^i)'}{[v, v']} \right)' (\theta) d\theta \\
 &= h_0^2 A(U) + \frac{1}{2} \sum_{\substack{k \geq 2 \\ i=1,2}} (a_k^i)^2 \int_0^{2\pi} (h_k^i)^2 [u, u'](\theta) - (h_k^i)^2 \lambda_k^i [u, u'](\theta) d\theta \\
 &= h_0^2 A(U) + \frac{1}{2} \sum_{\substack{k \geq 2 \\ i=1,2}} (a_k^i)^2 (1 - \lambda_k^i) \int_0^{2\pi} (h_k^i)^2 [u, u'](\theta) d\theta \\
 &= h_0^2 A(U) - \frac{A(U)}{2} \sum_{\substack{k \geq 2 \\ i=1,2}} (a_k^i)^2 (\lambda_k^i - 1).
 \end{aligned}$$

Onde $\lambda_k^i > 1$ são autovalores da transformação T , lema (5.3).

$$\begin{aligned}
 2\tilde{A}_{CW(\gamma)} &= \frac{1}{2} \int_0^{2\pi} [CW(\gamma), CW'(\gamma)](\theta) d\theta \\
 &= \frac{1}{2} \int_0^{2\pi} h_{CW(\gamma)}^2(\theta) [u, u'](\theta) - \frac{(h'_{CW(\gamma)}(\theta))^2}{[v, v'](\theta)} d\theta \\
 &= \frac{1}{2} \int_0^{2\pi} \left(\frac{h(\theta) - h(\theta + \pi)}{2} \right)^2 [u(\theta), u'(\theta)] - \frac{(h'(\theta) - h'(\theta + \pi))^2}{4[v(\theta), v'(\theta)]} d\theta \\
 &= \frac{1}{2} A(\gamma) - \frac{1}{4} \int_0^{2\pi} h(\theta)h(\theta + \pi) [u(\theta), u'(\theta)] - \frac{h'(\theta)h'(\theta + \pi)}{[v(\theta), v'(\theta)]} d\theta \\
 &= \frac{1}{2} A(\gamma) - \frac{1}{4} \int_0^{2\pi} \left(h_0 + \sum_{\substack{k \geq 2 \\ i=1,2}} a_k^i h_k^i(\theta) \right) \left(h_0 + \sum_{\substack{k \geq 2 \\ i=1,2}} a_k^i h_k^i(\theta + \pi) \right) [u(\theta), u'(\theta)] \\
 &\quad - \frac{1}{[v(\theta), v'(\theta)]} \left(\sum_{\substack{k \geq 2 \\ i=1,2}} a_k^i (h_k^i)'(\theta) \right) \left(\sum_{\substack{k \geq 2 \\ i=1,2}} a_k^i (h_k^i)'(\theta + \pi) \right) d\theta \\
 &= \frac{1}{2} A(\gamma) - \frac{1}{4} \int_0^{2\pi} \left(h_0 + \sum_{\substack{k \geq 2 \\ i=1,2}} a_k^i h_k^i(\theta) \right) \left(h_0 + \sum_{\substack{k \geq 2 \\ i=1,2}} a_k^i (-1)^k h_k^i(\theta) \right) [u(\theta), u'(\theta)] \\
 &\quad - \frac{1}{[v(\theta), v'(\theta)]} \left(\sum_{\substack{k \geq 2 \\ i=1,2}} a_k^i (h_k^i)'(\theta) \right) \left(\sum_{\substack{k \geq 2 \\ i=1,2}} a_k^i (-1)^k (h_k^i)'(\theta) \right) d\theta \\
 &= \frac{1}{2} A(\gamma) - \frac{1}{4} \left(2h_0^2 A(U) - A(U) \sum_{\substack{k \geq 2 \\ i=1,2}} (-1)^k (a_k^i)^2 (\lambda_k^i - 1) \right)
 \end{aligned}$$

Substituindo $A(\gamma)$ teremos:

$$\begin{aligned}
 2\tilde{A}_{CW} &= \frac{1}{2} \left(h_0^2 A(U) - \frac{A(U)}{2} \sum_{\substack{k \geq 2 \\ i=1,2}} (a_k^i)^2 (\lambda_k^i - 1) \right) - \frac{1}{2} h_0^2 A(U) \\
 &\quad + \frac{A(U)}{4} \sum_{\substack{k \geq 2 \\ i=1,2}} (-1)^k (a_k^i)^2 (\lambda_k^i - 1) \\
 &= -\frac{A(U)}{2} \sum_{\substack{k=\text{ímpar} \\ i=1,2}} (a_k^i)^2 (\lambda_k^i - 1)
 \end{aligned}$$

Agora pela definição (3.7) temos $\bar{w}_\gamma = \frac{L_V(\gamma)}{A(U)} = \frac{2h_0 A(U)}{A(U)} = 2h_0$.

$$\begin{aligned}
 \tilde{A}_{CMLC(\gamma)} &= \frac{1}{8} \int_0^{2\pi} [CMLC(\gamma)(\theta), (CMLC)'(\gamma)(\theta)] d\theta \\
 &= \frac{1}{8} \int_0^{2\pi} h_{CMLC(\gamma)(\theta)}^2 [u(\theta), u'(\theta)] - \frac{(h'_{CMLC(\gamma)(\theta)})^2}{[v(\theta), v'(\theta)]} d\theta \\
 &= \frac{1}{8} \int_0^{2\pi} (h(\theta) + h(\theta + \pi) - \bar{w}_\gamma)^2 [u(\theta), u'(\theta)] - \frac{(h'(\theta) + h'(\theta + \pi))^2}{[v(\theta), v'(\theta)]} d\theta \\
 &= \frac{1}{8} \int_0^{2\pi} (h^2(\theta) + 2h(\theta)h(\theta + \pi) + h^2(\theta + \pi) - 2h(\theta)\bar{w}_\gamma - 2h(\theta + \pi)\bar{w}_\gamma) [u, u'](\theta) \\
 &\quad + (\bar{w}_\gamma)^2 [u, u'](\theta) - \frac{((h'(\theta))^2 + 2h'(\theta)h'(\theta + \pi) + (h'(\theta + \pi))^2)}{[v(\theta), v'(\theta)]} d\theta \\
 &= \frac{1}{4} (2A(\gamma) - 4\bar{w}_\gamma h_0 A(U) + (\bar{w}_\gamma)^2 A(U)) \\
 &\quad + \frac{1}{4} \int_0^{2\pi} h(\theta)h(\theta + \pi) [u(\theta), u'(\theta)] - \frac{h'(\theta)h'(\theta + \pi)}{[v(\theta), v'(\theta)]} d\theta \\
 &= \frac{1}{4} \left(2A(\gamma) - 4h_0^2 A(U) + \left(2h_0^2 A(U) - A(U) \sum_{\substack{k \geq 2 \\ i=1,2}} (a_k^i)^2 (-1)^k (\lambda_k^i - 1) \right) \right) \\
 &= \frac{1}{4} \left(2A(\gamma) - 2h_0^2 A(U) - A(U) \sum_{\substack{k \geq 2 \\ i=1,2}} (a_k^i)^2 (-1)^k (\lambda_k^i - 1) \right).
 \end{aligned}$$

Substituindo $A(\gamma)$ teremos:

$$\tilde{A}_{CMLC(\gamma)} = -\frac{1}{2} \left(A(U) \sum_{\substack{k=par \\ i=1,2}} (a_k^i)^2 (\lambda_k^i - 1) \right), \lambda_k^i > 1.$$

Corolário 5.9. *Toda curva $\gamma \in \mathcal{H}$ com v -comprimento zero possui $\tilde{A}(\gamma) < 0$. Em particular a proposição (3.26) está demonstrada.*

5.2

Outra prova - Igualdade Isoperimétrica em Plano Normado

Teorema 5.10 (Igualdade Isoperimétrica em Plano Normado). *Seja $\gamma \in \mathcal{H}$ no plano (\mathbb{R}^2, U) , onde U é a bola unitária. Então*

$$L_v^2(\gamma) = 4A_U \tilde{A}_\gamma - 8A_U \tilde{A}_{CW(\gamma)} - 4A_U \tilde{A}_{CMLC(\gamma)}, \quad (5.11)$$

onde $L_v(\gamma)$ indica o comprimento- v com sinal da curva γ , A_U indica a área

da bola unitária e $\tilde{A}_\gamma, \tilde{A}_{CW(\gamma)}, \tilde{A}_{CMLC(\gamma)}$ indicam respectivamente as áreas com sinal das curvas $\gamma, CW(\gamma)$ e $CMLC(\gamma)$.

Demonstração.

Considere γ oval parametrizada por θ . Com o uso da base ortonormal de $C^0(S^1)$ sabemos que:

$$L_v(\gamma)(\theta) = 2h_0A(U),$$

$$\tilde{A}(\gamma) = h_0^2A_U - \frac{A_U}{2} \sum_{\substack{k \geq 2 \\ i=1,2}} (a_k^i)^2(\lambda_k^i - 1),$$

$$\tilde{A}_{CW(\gamma)} = -\frac{A_U}{4} \sum_{\substack{k=\text{impar} \\ i=1,2}} (a_k^i)^2(\lambda_k^i - 1),$$

$$\tilde{A}_{CWMS(\gamma)} = -\frac{A_U}{2} \sum_{\substack{k=\text{par} \\ i=1,2}} (a_k^i)^2(\lambda_k^i - 1).$$

Observe que $\lambda_k^i > 1$ (ver [6]), $\tilde{A}_{CW(\gamma)} \leq 0$ e $\tilde{A}_{CWMS(\gamma)} \leq 0$. Daí temos:

$$\begin{aligned} 4A_U A_\gamma - 8A_U \tilde{A}_{CW(\gamma)} - 4A_U \tilde{A}_{CWMS(\gamma)} &= 4A_U \left(h_0^2 A_U - \frac{A_U}{2} \sum_{\substack{k \geq 2 \\ i=1,2}} (a_k^i)^2 (\lambda_k^i - 1) \right) \\ + 8A_U \frac{A_U}{4} \sum_{\substack{k=\text{impar} \\ i=1,2}} (a_k^i)^2 (\lambda_k^i - 1) + 4A_U \frac{A_U}{2} \sum_{\substack{k=\text{par} \\ i=1,2}} (a_k^i)^2 (\lambda_k^i - 1) &= 4h_0^2 (A_U)^2 = L_V^2(\gamma) \end{aligned}$$

■

6

Circulo unitário e dual discretos, Função Suporte e Raio de Curvatura

Vamos utilizar agora como bola unitária de Minkowski o polígono convexo e fechado $U = \{U_1, \dots, U_{2n}\}$ cujos vértices U_i estão dispostos em sentido anti-horário, $1 \leq i \leq n$ e $n, i \in \mathbb{N}$. Por definição o conjunto convexo U é simétrico e portanto $U_{i+n} = -U_i$. Iremos considerar também que $[U_i, U_{i+1} - U_i] \geq 0$. Por consequência da simetria U possui lados opostos paralelos, isto é, $U_i U_{i+1} \parallel U_{i+n} U_{i+n+1}$.

Para uma lista de números, ou vetores $\{L_i\}_{i \in \mathbb{N}}$, nós definimos operadores diferença Δ tal que $\Delta_i L = L_{i+1} - L_i$ e ∇ tal que $\nabla_i = \Delta_{i-1}$.

De modo análogo ao caso contínuo, a bola unitária dual U^* pode ser identificada, segundo [5] e [7], como único polígono $V = \{V_1, \dots, V_{2n}\}$ do plano que satisfaz

$$[U_i, V_i] = 1$$

$$[\Delta_i U, V_i] = [U_{i+1}, \Delta_i V] = 0.$$

Nessas condições definimos

$$V_i = \frac{1}{[U_i, U_{i+1}]} \Delta_i U \quad (6.1)$$

$$U_{i+1} = -\frac{1}{[V_i, V_{i+1}]} \Delta_i V. \quad (6.2)$$

Podemos provar que V é simétrico, convexo e tem mesma orientação que U . Uma prova que o polígono V é a bola unitária dual pode ser visto em [5][p.6].

Definição 6.1. *Definimos o conjunto C_U como espaço dos polígonos $P = \{P_1, \dots, P_{2n}\}$, fechados, cujos lados são paralelos aos lados correspondentes da bola unitária $U = \{U_1, \dots, U_{2n}\}$, isto é, $P_i P_{i+1} \parallel U_i U_{i+1}$.*

Definição 6.2 (Rosáceas discretas). *Definimos o conjunto $C_U - m$, m inteiro positivo, como espaço dos polígonos*

$$P = \{P_1, \dots, P_{2n}, P_{2n+1}, \dots, P_{4n}, \dots, P_{2n(m-1)+1}, \dots, P_{2mn}\},$$

fechados, cujo número de rotações é m e para cada $j \in \{1, \dots, 2mn\}$ temos $P_j P_{j+1} \parallel U_i U_{i+1}$ onde $i \equiv j \pmod{2n}$ e $i \in \{1, \dots, 2n\}$.

Definição 6.3. Definimos a função suporte h de $P \in C_U$ como a $2n$ -upla $h = (h_1, h_2, \dots, h_{2n})$ onde

$$h_i = [P_i, V_i] = [P_{i+1}, V_i]. \quad (6.3)$$

Dessa forma verificamos que $[P_i, V_i] = h_i$ e $[P_i, U_i] = -\frac{\Delta_{i-1}h}{[V_{i-1}, V_i]}$. Portanto para todo polígono P em C_U podemos escrever

$$P_i = h_i U_i + (\Delta_{i-1}h) \frac{V_i}{[V_{i-1}, V_i]} \quad (6.4)$$

A partir da equação 6.4 podemos calcular $\Delta_i P$ em função de h_i

$$\begin{aligned} \Delta_i P &= P_{i+1} - P_i \\ &= h_{i+1} U_{i+1} + (\Delta_i h) \frac{V_{i+1}}{[V_i, V_{i+1}]} - h_i U_i - (\Delta_{i-1} h) \frac{V_i}{[V_{i-1}, V_i]} \\ &= h_{i+1} \left(-\frac{V_{i+1} - V_i}{[V_i, V_{i+1}]} \right) + \frac{(h_{i+1} - h_i) V_{i+1}}{[V_i, V_{i+1}]} + h_i \frac{(V_i - V_{i-1})}{[V_{i-1}, V_i]} - \frac{(h_i - h_{i-1}) V_i}{[V_{i-1}, V_i]} \\ &= h_i (U_{i+1} - U_i) + V_i \left(\frac{h_{i+1} - h_i}{[V_i, V_{i+1}]} - \frac{h_i - h_{i-1}}{[V_{i-1}, V_i]} \right) \\ &= h_i V_i [U_i, U_{i+1}] + V_i \left(\frac{\Delta_i h}{[V_i, V_{i+1}]} - \frac{\Delta_{i-1} h}{[V_{i-1}, V_i]} \right) \\ &= \left(h_i + \frac{1}{[U_i, U_{i+1}]} \nabla_i \left(\frac{\Delta_i h}{[V_i, V_{i+1}]} \right) \right) (U_{i+1} - U_i) \end{aligned}$$

Assim temos a equação

$$\Delta_i P = \left(h_i + \frac{1}{[U_i, U_{i+1}]} \nabla_i \left(\frac{\Delta_i h}{[V_i, V_{i+1}]} \right) \right) \Delta_i U. \quad (6.5)$$

Definição 6.4. Definimos o raio de curvatura r do polígono P em C_U como sendo a sequência real $(r_i)_{i \in \mathbb{N}}$, tal que

$$\Delta_i P = r_i \cdot \Delta_i U.$$

Importante destacar que o raio de curvatura r_i está associado ao segmento $P_i P_{i+1}$, $r_{i+2n} = r_i$ e que dado um polígono P em C_U podemos representá-lo pelo vetor $r = (r_i)_{i=1,2,\dots,2n}$. Podemos também escrever o raio de curvatura em

termos da função suporte como segue.

$$r_i = h_i + \frac{1}{[U_i, U_{i+1}]} \nabla_i \left(\frac{\Delta_i h}{[V_i, V_{i+1}]} \right). \quad (6.6)$$

6.1

Exemplos

Exemplo 6.5. Podemos calcular o dual de U a partir da equação (6.1). Ver figura 6.1.

Como $U_1 = (\frac{\sqrt{3}}{2}, \frac{1}{2})$, $U_2 = (0, 1)$, $U_3 = (-\frac{\sqrt{3}}{2}, \frac{1}{2})$, $U_4 = (-\frac{\sqrt{3}}{2}, -\frac{1}{2})$, $U_5 = (0, -1)$, $U_6 = (\frac{\sqrt{3}}{2}, -\frac{1}{2})$ teremos $V_1 = (-1, \frac{\sqrt{3}}{3})$, $V_2 = (-1, -\frac{\sqrt{3}}{3})$, $V_3 = (0, -\frac{2\sqrt{3}}{3})$, $V_4 = (1, -\frac{\sqrt{3}}{3})$, $V_5 = (1, \frac{\sqrt{3}}{3})$, $V_6 = (0, \frac{2\sqrt{3}}{3})$ ou basta observar que $V_i = \frac{2\sqrt{3}}{3} \Delta_i U$, para todo i . Ou seja, V é um hexágono regular tal que $\|V_i\|_u = \frac{2\sqrt{3}}{3}$. Nesse caso o raio de curvatura de V é $r = (\frac{2\sqrt{3}}{3}, \frac{2\sqrt{3}}{3}, \dots, \frac{2\sqrt{3}}{3})$.

Exemplo 6.6. Considere como bola unitária U o hexágono descrito no exemplo (2.3). Seja $P \in C_U$ com raio de curvatura $r = (\frac{1}{2}, 1, \frac{1}{2}, \frac{3}{4}, \frac{3}{4}, \frac{3}{4})$. Ver 6.2.

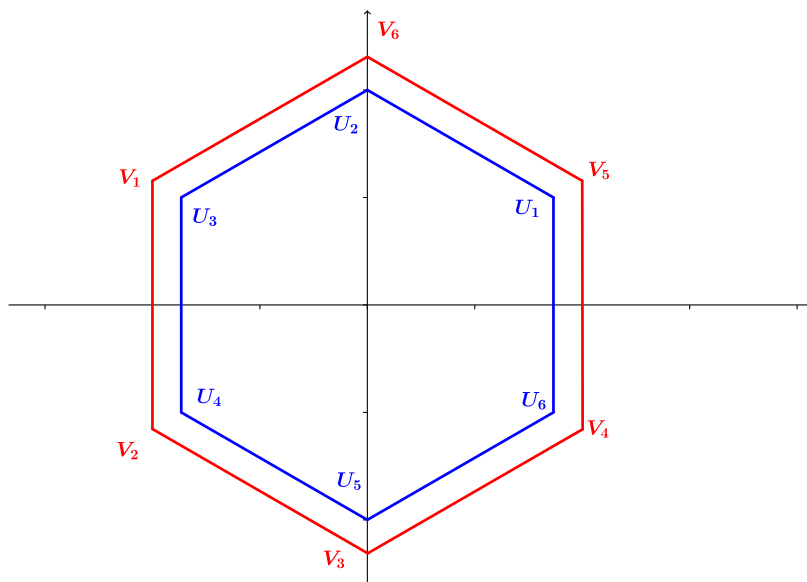


Figura 6.1: Bola unitária U e seu dual V

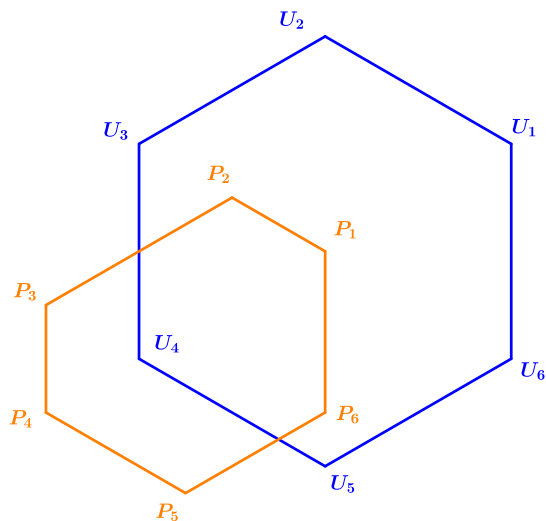


Figura 6.2: Polígono $P \in C_U$ onde $r = (\frac{1}{2}, 1, \frac{1}{2}, \frac{3}{4}, \frac{3}{4}, \frac{3}{4})$ e bola unitária

7

Cáustica de Wigner e Conjunto de Medida de Largura Constante-Discreto

Considere o polígono $P = \{P_1, \dots, P_{2n}\}$ em C_U , isto é, fechado e $\Delta_i P = r_i \Delta_i U$ onde U é bola unitária do plano normado.

Definição 7.1 (Paralelos). *Chamamos de c -paralelo discreto de P o polígono: $P(c) = \{P_1(c), \dots, P_i(c), \dots, P_{2n}(c)\}$ onde $i \in \{1, 2, \dots, 2n\}$ e*

$$P_i(c) = \{P_i + cU_i; c \in \mathbb{R}\}.$$

Como consequência da definição teremos que $P(c)$ é fechado, $P(0) = P$ e a convexidade depende do valor de c . A função suporte do paralelo é

$$h_{P_i(c)} = [P_i(c), V_i] = [P_i + cU_i, V_i] = h_i + c \quad (7.1)$$

e seu raio de curvatura dado por $r_i + c$ pois $\Delta_i P(c) = (r_i + c)\Delta_i U$.

Definição 7.2 (Comprimento- V com sinal). *Seja P polígono em C_U . Lembrando que $\Delta_i P = r_i[U_i, U_{i+1}]V_i$, definimos o comprimento- V com sinal como*

$$L_V(P) = \sum_{i=1}^{2n} r_i[U_i, U_{i+1}]$$

Nesse caso podemos ter comprimento- V com sinal igual a zero.

Definição 7.3 (Área com sinal). *Seja P polígono em C_U . Definimos a área com sinal de P como*

$$\tilde{A}(P) = \frac{1}{2} \sum_{i=1}^{2n} [P_i, \Delta_i P].$$

Podemos ter, com essa definição, área com sinal assumindo valor negativo. Vale destacar que se $P \in C_U$ é polígono convexo, a área com sinal passa a ser a própria área limitada pelo polígono.

7.1

Cáustica de Wigner e Curvas de Largura Constante

Definição 7.4. Chamamos *Evoluta de Área discreta* ou *Cáustica de Wigner discreta* do polígono $P \in C_U$ o conjunto:

$$CW(P_i) = \frac{P_i + P_{i+n}}{2}$$

Como $CW(P_i) = CW(P_{i+n})$ temos que $CW(P_i)$ dá duas voltas quando i varia de 1 até $2n$.

A função suporte de $CW(P_i)$ é

$$h_{CW(P_i)} = [CW(P_i), V_i] = \left[\frac{P_i + P_{i+n}}{2}, V_i \right] = \frac{h_i}{2} - \frac{h_{i+n}}{2}. \quad (7.2)$$

Definição 7.5 (Largura Constante). Dizemos que o polígono $P \in C_U$ possui largura constante se, $h_i + h_{i+n} = 2d, d > 0$ (d constante). Nesse caso dizemos que a largura do Polígono P é $2d$.

Na prática o polígono tem largura constante se a distância, na U -norma, entre os lados opostos paralelos é constante ($2d$).

Proposição 7.6. $P \in C_U$ tem largura constante $2d \Leftrightarrow P_i - P_{i+n} = 2dU_i, d$ constante.

Demonstração. (\Rightarrow) Da equação (6.4) temos

$$P_i = h_i U_i + (\Delta_{i-1} h) \frac{V_i}{[V_{i-1}, V_i]}$$

$$P_i - P_{i+n} = (h_i U_i - h_{i+n} U_{i+n}) + \frac{h_i + h_{i+n} - (h_{i-1} + h_{i-1+n})}{[V_{i-1}, V_i]} V_i$$

$$P_i - P_{i+n} = (h_i U_i + h_{i+n} U_i) = (h_i + h_{i+n}) U_i = 2d U_i$$

(\Leftarrow)

$$\begin{aligned} h_i + h_{i+n} &= [P_i, V_i] + [P_{i+n}, V_{i+n}] \\ &= [P_i - P_{i+n}, V_i] \\ &= [2d U_i, V_i] \\ &= 2d(\text{constante}) \end{aligned}$$

■

Definição 7.7 (Largura Média). Chamamos de largura média de um polígono P em C_U o número $\bar{w}_P = \frac{L_V(P)}{A(U)}$, onde $L_V(P)$ é o comprimento- V com sinal do polígono P na norma dual e $A(U)$ é a área da bola unitária U .

Teorema 7.8 (Barbier-Discreto). Seja $P \in C_U$ com largura constante $2d$ então $L_V(\gamma) = 2dA(U)$, onde U é a bola unitária.

Demonstração.

$$\begin{aligned} L_V(P) &= \sum_{i=1}^{2n} r_i[U_i, \Delta_i U] = \sum_{i=1}^{2n} [U_i, \Delta_i P] \\ &= \sum_{i=1}^{2n} [P_i, \Delta_i U] = \frac{1}{2} \sum_{i=1}^{2n} [P_i, \Delta_i U] + [P_{i+n}, \Delta_{i+n} U] \\ &= \frac{1}{2} \sum_{i=1}^{2n} (h_i + h_{i+n})[U_i, U_{i+1}] \\ &= 2d \frac{1}{2} \sum_{i=1}^{2n} [U_i, U_{i+1}] = 2dA(U) \end{aligned}$$

■

Caso o polígono P possua largura constante $2d$ então pelo Teorema de Barbier discreto $L_V(P) = A(U)2d$ (ver [5]). Nesse caso a largura média e a largura da curva são iguais.

Proposição 7.9. A Cáustica de Wigner é um c -paralelo de $P \in C_U \Leftrightarrow P$ tem largura constante.

Demonstração. (\Rightarrow)

$$\frac{P_i + P_{i+n}}{2} = P_i + cU_i \Rightarrow P_i - P_{i+n} = -2cU_i.$$

Pela proposição (8.4) o polígono P tem largura constante.

(\Leftarrow)

$$\begin{aligned} CW(P_i) &= \frac{P_i + P_{i+n}}{2} \\ &= P_i - \frac{P_i - P_{i+n}}{2} \\ &= P_i - \frac{c}{2}U_i \end{aligned}$$

■

Proposição 7.10. $P \in C_U$, $CW(P) = \{0\} \Leftrightarrow P$ é simétrico.

Demonstração.
$$CW(P_i) = \frac{P_i + P_{i+n}}{2} = \frac{P_i - P_i}{2} = 0$$

■

Proposição 7.11. $P \in C_U$, $CW(CW(P)) = CW(P)$

Demonstração.

$$\begin{aligned} CW(CW(P_i)) &= \frac{CW(P_i) + CW(P_{i+n})}{2} \\ &= \frac{CW(P_i + CW(P_i))}{2} \\ &= \frac{2CW(P_i)}{2} \\ &= CW(P_i) \end{aligned}$$

■

Proposição 7.12. $P \in C_U$, $CW(P(c)) = CW(P)$

Demonstração.

$$\begin{aligned} CW(P_i(c)) &= \frac{P_i + cU_i + P_{i+n} + cU_{i+n}}{2} \\ &= \frac{P_i + P_{i+n}}{2} \\ &= CW(P_i) \end{aligned}$$

■

Proposição 7.13. $P \in C_U$, $CW(P)$ tem comprimento zero.

Demonstração.

$$\begin{aligned} L_V(CW(P)) &= \sum_{i=1}^{2n} \frac{r_i - r_{i+n}}{2} [U_i, U_{i+1}] \\ &= \frac{1}{2} \left[\sum_{i=1}^{2n} r_i [U_i, U_{i+1}] - \sum_{i=1}^{2n} r_{i+n} [U_i, U_{i+1}] \right] \\ &= \frac{1}{2} \left[\sum_{i=1}^{2n} r_i [U_i, U_{i+1}] - \sum_{i=1}^{2n} r_{i+n} [U_{i+n}, U_{i+1+n}] \right] \\ &= \frac{1}{2} [L_V(P) - L_V(P)] = 0 \end{aligned}$$

■

7.2

Conjunto de Medida de Largura Constante e Curvas Simétricas

Definição 7.14 (CMLC). *Considere o polígono P em C_U . Definimos o Conjunto de Medida de Largura Constante, abreviado por CMLC, discreto como*

$$CMLC(P) = \left\{ \frac{P_i - P_{i+n} - \bar{w}_P U_i}{2}, i = 1, \dots, 2n \right\}$$

O polígono $CMLC(P)$ está bem definido pois é fechado e $\Delta_i(CMLC(P_i))$ é paralelo a $\Delta_i U$.

A função suporte do CMLC e o raio de curvatura são respectivamente:

$$h_{CMLC(P)} = \left[\frac{P_i - P_{i+n} - \bar{w}_P U_i}{2}, V_i \right] = \frac{1}{2}(h_i + h_{i+n} - \bar{w}_P) \quad (7.3)$$

$$\Delta_i CMLC(P) = \frac{1}{2} \{ \Delta_i P - \Delta_{i+n} P - \bar{w}_P \Delta_i U \} = \frac{r_i + r_{i+n} - \bar{w}_P}{2} \Delta_i U$$

$$r_{CMLC(P)} = \frac{r_i + r_{i+n} - \bar{w}_P}{2} \quad (7.4)$$

Proposição 7.15. $P \in C_U$, $CMLC(P)$ é simétrico.

Demonstração.

$$\begin{aligned} CMLC(P_{i+n}) &= \frac{P_{i+n} - P_{i+2n} - \bar{w}_P U_{i+n}}{2} \\ &= \frac{P_{i+n} - P_i + \bar{w}_P U_i}{2} \\ &= -\frac{P_i - P_{i+n} - \bar{w}_P U_i}{2} \\ &= -CMLC(P_i) \end{aligned}$$

■

Proposição 7.16. $CMLC(P)$ é paralelo de $P \in C_U \Leftrightarrow P$ é simétrico.

Demonstração. (\Rightarrow)

$$\begin{aligned} CMLC(P_i) &= P_i + cU_i \Rightarrow \\ P_i &= CMLC(P_i) - cU_i \\ P_{i+n} &= CMLC(P_{i+n}) - cU_{i+n} = -P_i \end{aligned}$$

(\Leftarrow)

$$\begin{aligned} CMLC(P_i) &= \frac{P_i - P_{i+n} - \bar{w}_P U_i}{2} \\ &= \frac{P_i + P_i - \bar{w}_P U_i}{2} \\ &= P_i - \frac{\bar{w}_P}{2} U_i \end{aligned}$$

■

Teorema 7.17. *Considere o polígono P em C_U . $CMLC(P) = \{0\} \Leftrightarrow P$ possui largura constante.*

Demonstração.

(\Rightarrow) Por hipótese $P_i = P_{i+n} + \bar{w}_P U_i$

$$\begin{aligned} h_i + h_{i+n} &= \\ &= [P_i, V_i] + [P_{i+n}, V_{i+n}] \\ &= [P_i - P_{i+n}, V_i] \\ &= [\bar{w}_P U_i, V_i] \\ &= \bar{w}_P [U_i, V_i] = \bar{w}_P (\text{constante}) \end{aligned}$$

(\Leftarrow) Por hipótese \bar{w}_P é a largura de P , isto é $h_i + h_{i+n} = \bar{w}_P$. Utilizando também a equação (7.4) teremos

$$\begin{aligned} P_i - P_{i+n} &= h_i U_i + (\Delta_{i-1} h) \frac{V_i}{[V_{i-1}, V_i]} - \left(h_{i+n} U_{i+n} + (\Delta_{i+n-1} h) \frac{V_{i+n}}{[V_{i+n-1}, V_{i+n}]} \right) \\ &= (h_i + h_{i+n}) U_i + (\Delta_{i-1} h + \Delta_{i+n-1} h) \frac{V_i}{[V_{i-1}, V_i]} \\ &= \bar{w}_P U_i \end{aligned}$$

■

Proposição 7.18. $P \in C_U$. $CMLC(P)$ tem comprimento-zero.

Demonstração.

Como $r_{CMLC} = \frac{r_i + r_{i+n} - \bar{w}_P}{2}$ temos

$$\begin{aligned} L_V(CMLC(P_i)) &= \sum_{i=1}^{2n} r_{CMLC}[U_i, \Delta_i U] \\ &= \sum_{i=1}^{2n} \frac{r_i + r_{i+n} - \bar{w}_P}{2} [U_i, \Delta_i U] \\ &= \frac{1}{2} (2L_V(P) - 2\bar{w}_P A(U)) \\ &= L_V(P) - \frac{L_V(P)}{A(U)} A(U) = 0 \end{aligned}$$

■

Proposição 7.19. $P \in C_U$, $CMLC(CMLC(P)) = CMLC(P)$

Demonstração. Como CMLC é simétrico e possui comprimento-zero temos

$$\begin{aligned} CMLC(CMLC(P_i)) &= \frac{CMLC(P_i) - CMLC(P_{i+n}) - \bar{w}_P U_i}{2} \\ &= \frac{CMLC(P_i) + CMLC(P_i) - 0 \cdot U_i}{2} \\ &= \frac{2CMLC(P_i)}{2} \\ &= CMLC(P_i) \end{aligned}$$

■

Proposição 7.20. $P \in C_U$, $CMLC(P(c)) = CMLC(P)$.

Demonstração.

Como $L_V(P(c)) = \sum_i^{2n} (r_i + c)[U_i, U_{i+1}] = L_V(P) + 2cA(U)$, teremos portanto $\bar{w}_{P(c)} = \bar{w}_P + 2c$. Assim

$$\begin{aligned}
 CMLC(P_i(c)) &= \frac{P_i(c) - P_{i+n}(c) - \bar{w}_{P(c)}U_i}{2} \\
 &= \frac{P_i + cU_i - P_{i+n} - cU_{i+n} - \bar{w}_{P(c)}U_i}{2} \\
 &= \frac{P_i + cU_i - P_{i+n} + cU_i - \bar{w}_{P(c)}U_i}{2} \\
 &= \frac{P_i - P_{i+n} + 2cU_i - (\bar{w}_P + 2c)U_i}{2} \\
 &= \frac{P_i - P_{i+n} - \bar{w}_P U_i}{2} \\
 &= CMLC(P_i)
 \end{aligned}$$

■

7.3

Decomposição do polígono P como soma de Cáustica de Wigner, CMLC e bola unitária.

Proposição 7.21. $P \in C_U$, $P_i = CW(P_i) + CMLC(P_i) + \frac{\bar{w}_P}{2}U_i$, $\forall i \in \{1, \dots, 2n\}$ e $h_P = h_{CW(P)} + h_{CMLC(P)} + \frac{\bar{w}_P}{2}$

Corolário 7.22. $P \in C_U$, $P_i = CW(P_i) + CMLC(P_i)$, $\forall i \in \{1, \dots, 2n\}$ e $h_P = h_{CW(P)} + h_{CMLC(P)} \Leftrightarrow L_V(P) = 0$

É fácil ver que os resultados acima são consequência do fato que

$$P_i = \frac{P_i + P_{i+n}}{2} + \frac{P_i - P_{i+n}}{2}.$$

7.4

Cúspides CMLC e Cáustica de Wigner

Definição 7.23. *Seja P um polígono em C_U . Dizemos que um vértice P_i em P é um cúspide se os seus lado vizinhos (não degenerados) possuem orientação oposta, isto é, os segmentos anterior e posterior a P_i possuem raios de curvatura com sinais contrários.*

Para mais detalhes dessa definição ver [7].

Teorema 7.24. *Considere o polígono P em C_U . Então o número de cúspides de CMLC(P) é múltiplo de quatro.*

Demonstração. O número de cúspides de CMLC(P) é igual ao número de trocas de sinal do raio de curvatura em segmentos consecutivos. Como $r_{CMLC(P_i)} = (r_i + r_{i+n} - \bar{w}_P)/2$ teremos $r_{CMLC(P_i)} = r_{CMLC(P_{i+n})}$. Uma vez que $L_V(CMLC(P)) = 0$ temos

$$r_{CMLC(P_1)}[U_1, U_2] + r_{CMLC(P_2)}[U_2, U_3] + \dots + r_{CMLC(P_n)}[U_n, U_{n+1}] = 0$$

e

$$r_{CMLC(P_{n+1})}[U_{n+1}, U_{n+2}] + r_{CMLC(P_{n+2})}[U_{n+2}, U_{n+3}] + \dots + r_{CMLC(P_{2n})}[U_{2n}, U_{2n+1}] = 0.$$

Das igualdades anteriores e pelo fato de $[U_i, U_{i+1}] > 0, \forall i \in \{1, \dots, 2n\}$, concluímos que existe pelo menos um $k \in \{1, \dots, n\}$ tal que $r_{CMLC(P_k)} < 0$ assim o número de trocas de sinal de k até $k+n$ deve ser par e pelo menos 2. O mesmo vale de $k+n$ até $k+2n$. Temos o desejado. ■

Teorema 7.25. *Considere o polígono P em C_U . Então o número de cúspides de $CW(P)$ é $2k$, k ímpar.*

Demonstração. Observe que $r_{CW(P_i)} = \frac{r_i - r_{i+n}}{2}$. Como $r_{CW(P_i)} = -r_{CW(P_{i+n})}$ então o número de trocas de sinal do raio de curvatura em segmentos consecutivos de 1 até $n+1$ é ímpar, k por exemplo, e igual ao número de trocas de sinal de $n+1$ até $2n+1$. Temos o desejado. ■

7.5

Áreas com sinal de CW e CMLC

Definição 7.26. *Sejam P e Q polígonos definidos em C_U . Definimos como área mista dos polígonos P e Q ,*

$$A(P, Q) = \frac{1}{2} \sum_{i=1}^{2n} [P_i, \Delta_i Q].$$

Teorema 7.27. *(Desigualdade de Minkowski) Sejam P e Q polígonos simples e convexos em C_U então*

$$A(P, Q)^2 \geq A(P)A(Q) \tag{7.5}$$

onde $A(P)$, $A(Q)$ e $A(P, Q)$ são respectivamente as áreas das curvas e área mista.

Note que se fizermos $Q = U$, U bola unitária, temos pela equação (8.5)

$$A(P, U) = \frac{1}{2} \sum_{i=1}^{2n} [P_i, \Delta_i U] = \frac{1}{2} \sum_{i=1}^{2n} [U_i, \Delta_i P] = \frac{1}{2} \sum_{i=1}^{2n} r_i [U_i, \Delta_i U] = \frac{L_V(P)}{2}$$

isto é, temos a desigualdade isoperimétrica de Minkowski,

$$L_V^2 \geq 4A(U)A(P). \quad (7.6)$$

Proposição 7.28. *Seja o polígono $P \in C_U$ então $\tilde{A}(CW(P)) < 0$, $\tilde{A}(CMLC(P)) < 0$.*

Demonstração.

Ver capítulo 9 seção (9.1). ■

7.6 Evolutas

Definição 7.29. *Definimos U -evoluta do polígono P em C_P como sendo o polígono $E(P)$ tal que*

$$E(P_i) = P_i - r_i U_i = P_{i+1} - r_i U_{i+1}, i = 1, \dots, 2n.$$

onde $r = (r_i)_{i \in \mathbb{N}}$ é o raio de curvatura de P .

Proposição 7.30. $P \in C_U$. $P(c)$ e P possuem a mesma U -evoluta.

Demonstração. Como $\Delta_i(P(c)) = (r_i + c)\Delta_i U$ temos que a evoluta do paralelo $P(c)$ é $E(P_i(c)) = P_i(c) - (r_i + c)U_i = P_i + cU_i - r_i U_i - cU_i = E(P_i)$ ■

Proposição 7.31. *A U -evoluta de $P \in C_U$ possui comprimento- U com sinal igual a zero.*

Demonstração. Basta observar que $\Delta_i E(P) = (-\Delta_i r)U_{i+1}$. Assim temos

$$L_U(E(P)) = \sum_{i=1}^{2n} -\Delta_i r = 0$$

Proposição 7.32. *Seja $P \in C_U$. A V -função suporte da U -evoluta de P é $h_{E_{P_i}} = -\frac{\Delta_{i-1} h}{[V_{i-1}, V_i]}$, onde h é a U -função suporte de P .* ■

Demonstração. Considere r o raio de curvatura de P . Como $E(P_i) = P_i - r_i U_i$ então $\Delta_i E(P) = (-\Delta_i r) U_{i+1} = \frac{\Delta_i r}{[V_i, V_{i+1}]} \Delta_i V$.

Portanto

$$\begin{aligned} h_{E_{P_i}} &= [E(P_i), U_i] \\ &= [P_i - r_i U_i, U_i] \\ &= [P_i, U_i] \\ &= [h_i U_i + (\Delta_{i-1} h) \frac{V_i}{[V_{i-1}, V_i]}, U_i] \\ &= -\frac{\Delta_{i-1} h}{[V_{i-1}, V_i]} \end{aligned}$$

■

Proposição 7.33. *Seja $P \in C_U$. A U -função suporte da V -evoluta da U -evoluta, isto é, a dupla evoluta de P é*

$$h_{E(E(P_{i+1}))} = -\frac{1}{[u_i, u_{i+1}]} \nabla_i \left(\frac{\Delta_i h}{[v_i, v_{i+1}]} \right),$$

onde h é a U -função suporte de P .

Demonstração. Definimos

$$E(E(P_{i+1})) = E(P_{i+1}) - \frac{\Delta_i r}{[V_i, V_{i+1}]} V_{i+1} = E(P_i) - \frac{\Delta_i r}{[V_i, V_{i+1}]} V_i,$$

então

$$\begin{aligned} \Delta_i E_{E(P)} &= -\nabla_i \left(\frac{\Delta_i r}{[V_i, V_{i+1}]} \right) V_i \\ &= -\nabla_i \left(\frac{\Delta_i r}{[V_i, V_{i+1}]} \right) \frac{1}{[U_i, U_{i+1}]} \Delta_i U. \end{aligned}$$

Portanto

$$\begin{aligned}
 h_{E(E(P_{i+1}))} &= [E(E(P_{i+1})), V_i] \\
 &= \left[E(P_i) - \frac{\Delta_i r}{[V_i, V_{i+1}]} V_i, V_i \right] \\
 &= [E(P_i), V_i] \\
 &= [P_i - r_i U_i, V_i] \\
 &= h_i - \left(h_i - \frac{1}{[U_i, U_{i+1}]} \nabla_i \left(\frac{\Delta_i h}{[V_i, V_{i+1}]} \right) \right) \\
 &= -\frac{1}{[U_i, U_{i+1}]} \nabla_i \left(\frac{\Delta_i h}{[V_i, V_{i+1}]} \right)
 \end{aligned}$$

■

Proposição 7.34. *Seja $P \in C_U$. Então $E(CW(P_i)) = CW(E(P_i))$ e $E(CMLC(P_i)) = CMLC(E(P_i))$. Isto é, evolutas comutam com CW e CMLC.*

Demonstração.

$$\begin{aligned}
 E(CW(P_i)) &= CW(P_i) - r_{CW_i} U_i \\
 &= \frac{P_i + P_{i+n}}{2} - \frac{r_i - r_{i+n}}{2} U_i \\
 &= \frac{P_i - r_i U_i + P_{i+n} - r_{i+n} U_{i+n}}{2} \\
 &= \frac{E(P_i) + E(P_{i+n})}{2} \\
 &= CW(E(P_i))
 \end{aligned}$$

$$\begin{aligned}
 E(CMLC(P_i)) &= CMLC(P_i) - r_{CMLC_i} U_i \\
 &= \frac{P_i - P_{i+n} - \bar{w}_P U_i}{2} - \frac{r_i + r_{i+n} - \bar{w}_P}{2} U_i \\
 &= \frac{P_i - r_i U_i - (P_{i+n} - r_{i+n} U_{i+n}) - \bar{w}_{E_P} U_i}{2} \\
 &= \frac{E(P_i) - E(P_{i+n}) - \bar{w}_{E_P} U_i}{2} \\
 &= CMLC(E(P_i))
 \end{aligned}$$

Observe que nesse caso $\bar{w}_{E_P} = \frac{L_U(E_P)}{A(U)} = 0$.

■

7.7

Exemplos

Exemplo 7.35. *Seja a bola unitária U , o hexágono descrito no exemplo (2.3). Considere o polígono P em C_U com raio de curvatura $r = (r_1, r_2, r_3, r_4, r_5, r_6)$. Como P é fechado então $\sum_{i=1}^6 \Delta_i P = \sum_{i=1}^6 r_i \Delta_i U = 0$, o que implica $r_1(U_2 - U_1) + r_2(U_3 - U_2) + r_3(U_4 - U_3) + r_4(U_5 - U_4) + r_5(U_6 - U_5) + r_6(U_1 - U_6) = 0$. Substituindo as coordenadas da bola unitária U teremos:*

$$r_1 + r_2 - r_4 - r_5 = 0 \text{ e } r_1 - r_2 - 2r_3 - r_4 + r_5 + 2r_6 = 0$$

Esse sistema possui infinitas soluções e duas variáveis livres. Portanto a dimensão de C_U é 4. No caso geral a dimensão de C_U é $2n - 2$, ver [7].

Exemplo 7.36. *Seja a bola unitária U , o hexágono descrito no exemplo (2.3). Considere o polígono $P \in C_U$ de raio de curvatura $r = (\frac{1}{2}, 1, \frac{1}{2}, \frac{3}{4}, \frac{3}{4}, \frac{3}{4})$, conforme exemplo (7.34). Vamos calcular $CW(P)$ e $CMLC(P)$. Ver figura 7.1.*

$$L_V(P) = \sum_{i=1}^6 r_i [U_i, U_{i+1}] = \frac{\sqrt{3}}{2} \sum_{i=1}^6 r_i = \frac{\sqrt{3}}{2} \left(\frac{1}{2} + 1 + \frac{1}{2} + \frac{3}{4} + \frac{3}{4} + \frac{3}{4} \right) = \frac{17\sqrt{3}}{8}$$

e

$$A(U) = \frac{1}{2} \sum_{i=1}^6 [U_i, U_{i+1}] = 3 \frac{\sqrt{3}}{2}.$$

Assim $\bar{w}_P = \frac{L_V(P)}{A(U)} = \frac{17}{12}$ e $CMLC(P_i) = C_i = (P_i - P_{i+n} - \frac{17}{12}U_i)/2$. Os valores de U_i podem ser encontrados no exemplo (7.4).

Como $P_{i+1} = r_i \Delta_i U + P_i$ e $P_1 = (0, 0)$ então teremos $P_2 = (-\frac{\sqrt{3}}{4}, \frac{1}{4})$, $P_3 = (-\frac{3\sqrt{3}}{4}, -\frac{1}{4})$, $P_4 = (-\frac{3\sqrt{3}}{4}, -\frac{3}{4})$, $P_5 = (-\frac{3\sqrt{3}}{8}, -\frac{9}{8})$, $P_6 = (0, -\frac{3}{4})$.

Portanto $C_1 = (\frac{\sqrt{3}}{48}, \frac{1}{48})$, $C_2 = (\frac{\sqrt{3}}{16}, -\frac{1}{48})$, $C_3 = (-\frac{\sqrt{3}}{48}, -\frac{5}{48})$, $C_4 = (-\frac{\sqrt{3}}{48}, -\frac{1}{48})$, $C_5 = (-\frac{\sqrt{3}}{16}, \frac{1}{48})$, $C_6 = (\frac{\sqrt{3}}{48}, \frac{5}{48})$. Observe que $C_1 = -C_4$, $C_2 = -C_5$, $C_3 = -C_6$, isto é, $CMLC$ é simétrico. Note também que $r_{CMLC(P_1)} = -1/12 = r_{CMLC(P_4)}$, $r_{CMLC(P_2)} = 1/6 = r_{CMLC(P_5)}$, $r_{CMLC(P_3)} = -1/12 = r_{CMLC(P_6)}$. Assim podemos ver

$$L_V(CMLC(P)) = \sum_{i=1}^6 r_{CMLC(P_i)} [U_i, U_{i+1}] = \frac{\sqrt{3}}{2} \left(-\frac{1}{12} + \frac{1}{6} - \frac{1}{12} - \frac{1}{12} + \frac{1}{6} - \frac{1}{12} \right) = 0$$

Como $CW(P_i) = \frac{P_i + P_{i+n}}{2}$ teremos $CW(P_1) = CW(P_4) = (\frac{-3\sqrt{3}}{8}, \frac{-3}{8})$, $CW(P_2) = CW(P_5) = (\frac{-5\sqrt{3}}{16}, \frac{-7}{16})$, $CW(P_3) = CW(P_6) = (\frac{-3\sqrt{3}}{8}, \frac{-1}{2})$. Podemos ver que também que $r_{CW(P)} = (-\frac{1}{8}, \frac{1}{8}, -\frac{1}{8}, \frac{1}{8}, -\frac{1}{8}, \frac{1}{8})$ e $L_V(CW(P)) = 0$.

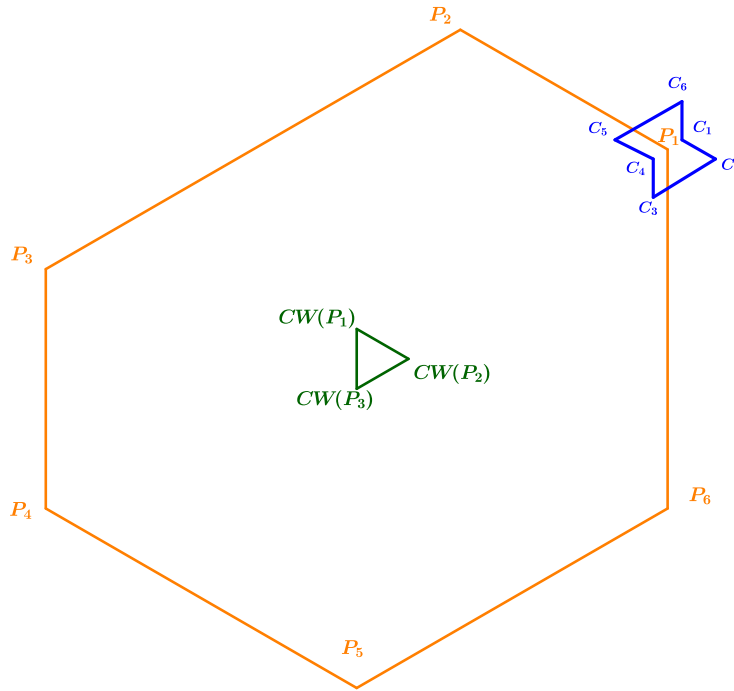


Figura 7.1: Polígono P, Cáustica de Wigner e CMLC C

Teorema 8.1. *Seja $P = \{P_1, \dots, P_{2n}\}$ polígono em C_U no plano (\mathbb{R}^2, U) , onde $U = \{U_1, \dots, U_{2n}\}$ é a bola unitária e $P_{i+1} - P_i$ é paralelo a $U_{i+1} - U_i$. Então*

$$L_V^2(P) = 4A_U \tilde{A}_P - 8A_U \tilde{A}_{CW(P)} - 4A_U \tilde{A}_{CMLC(P)}, \quad (8.1)$$

onde $L_V(P)$ indica o V -comprimento com sinal do polígono P , A_U indica área da bola unitária e $\tilde{A}(P)$, $\tilde{A}_{CW(P)}$ e $\tilde{A}_{CMLC(P)}$ indicam respectivamente as áreas com sinal de P , $CW(P)$ e $CMLC(P)$.

Demonstração.

Pela proposição (7.20) podemos escrever $P_i = \frac{P_i + P_{i+n}}{2} + \frac{P_i - P_{i+n} - \bar{w}_P U_i}{2} + \frac{\bar{w}_P U_i}{2}$, isto é, $P_i = CW(P_i) + CMLC(P_i) + \frac{\bar{w}_P U_i}{2}$. Utilizando o operador diferença temos $\Delta_i P = \Delta_i CW(P) + \Delta_i CMLC(P) + \frac{\bar{w}_P}{2} \Delta_i U$.

A seguir, temos três igualdades importantes para a prova.

$$\sum_{i=1}^{2n} [CW(P_i), \Delta_i CMLC(P)] = - \sum_{i=1}^{2n} [\Delta_i CW(P), CMLC(P_i)] \quad (8.2)$$

$$\sum_{i=1}^{2n} \frac{\bar{w}_P}{2} [CW(P_i), \Delta_i U] = \sum_{i=1}^{2n} \frac{\bar{w}_P}{2} [U_i, \Delta_i CW(P)] \quad (8.3)$$

$$\sum_{i=1}^{2n} \frac{\bar{w}_P}{2} [CMLC(P_i), \Delta_i U] = \sum_{i=1}^{2n} \frac{\bar{w}_P}{2} [U_i, \Delta_i CMLC(P)] \quad (8.4)$$

Vamos calcular a área com sinal do polígono P utilizando a proposição (7.20) e as igualdades (8.2), (8.3) e (8.4). Iremos utilizar também a proposição (7.27) que diz $\tilde{A}(CW(P)) < 0$ e $\tilde{A}(CMLC(P)) < 0$.

$$\begin{aligned}
 \tilde{A}(P) &= \\
 &= \frac{1}{2} \sum_{i=1}^{2n} [P_i, \Delta_i P] \\
 &= \frac{1}{2} \sum_{i=1}^{2n} \left[CW(P_i) + CMLC(P_i) + \frac{\bar{w}_P}{2} U_i, \Delta_i CW(P) + \Delta_i CMLC(P) + \frac{\bar{w}_P}{2} \Delta_i U \right] \\
 &= \frac{1}{2} \sum_{i=1}^{2n} [CW(P_i), \Delta_i CW(P)] + \frac{1}{2} \sum_{i=1}^{2n} [CW(P_i), \Delta_i CMLC(P)] \\
 &\quad + \frac{1}{2} \sum_{i=1}^{2n} \frac{\bar{w}_P}{2} [CW(P_i), \Delta_i U] + \frac{1}{2} \sum_{i=1}^{2n} [CMLC(P_i), \Delta_i CW(P)] \\
 &\quad + \frac{1}{2} \sum_{i=1}^{2n} [CMLC(P_i), \Delta_i CMLC(P)] + \frac{1}{2} \sum_{i=1}^{2n} \frac{\bar{w}_P}{2} [CMLC(P_i), \Delta_i U] \\
 &\quad + \frac{1}{2} \sum_{i=1}^{2n} \frac{\bar{w}_P}{2} [U_i, \Delta_i CW(P)] + \frac{1}{2} \sum_{i=1}^{2n} \frac{\bar{w}_P}{2} [U_i, \Delta_i CMLC(P)] \\
 &\quad + \frac{1}{2} \sum_{i=1}^{2n} \frac{\bar{w}_P^2}{4} [U_i, \Delta_i U]
 \end{aligned}$$

\Rightarrow

$$\begin{aligned}
 \tilde{A}(P) &= 2\tilde{A}_{CW(P)} + \tilde{A}_{CMLC(P)} + \frac{\bar{w}_P^2}{4} A(U) + \sum_{i=1}^{2n} \frac{\bar{w}_P}{2} [CW(P_i), \Delta_i U] \\
 &\quad + \sum_{i=1}^{2n} \frac{\bar{w}_P}{2} [CMLC(P_i), \Delta_i U] \\
 &= 2\tilde{A}_{CW(P)} + \tilde{A}_{CMLC(P)} + \frac{\bar{w}_P^2}{4} A(U) + \sum_{i=1}^{2n} \frac{\bar{w}_P}{2} [CW(P_i) + CMLC(P_i), \Delta_i U] \\
 &= 2\tilde{A}_{CW(P)} + \tilde{A}_{CMLC(P)} + \frac{\bar{w}_P^2}{4} A(U) + \sum_{i=1}^{2n} \frac{\bar{w}_P}{2} \left[P_i - \frac{\bar{w}_P}{2} U_i, \Delta_i U \right] \\
 &= 2\tilde{A}_{CW(P)} + \tilde{A}_{CMLC(P)} + \frac{\bar{w}_P^2}{4} A(U) \\
 &\quad + \frac{\bar{w}_P}{2} \left(\sum_{i=1}^{2n} [P_i, \Delta_i U] - \frac{\bar{w}_P}{2} \sum_{i=1}^{2n} [U_i, \Delta_i U] \right) \\
 &= 2\tilde{A}_{CW(P)} + \tilde{A}_{CMLC(P)} + \frac{\bar{w}_P^2}{4} A(U) \\
 &\quad + \frac{\bar{w}_P}{2} \left(L_V(P) - \frac{\bar{w}_P}{2} 2A(U) \right) \\
 &= 2\tilde{A}_{CW(P)} + \tilde{A}_{CMLC(P)} + \frac{(L_V(P))^2}{4A(U)} \\
 &\quad + \frac{\bar{w}_P}{2} (L_V(P) - L_V(P))
 \end{aligned}$$

\Rightarrow

$$\tilde{A}(P) = 2\tilde{A}_{CW(P)} + \tilde{A}_{CMLC(P)} + \frac{L_V^2(P)}{4A(U)}$$

$$\begin{aligned}\tilde{A}_P &= 2\tilde{A}_{CW(P)} + \tilde{A}_{CMLC(P)} + \frac{L_V^2(P)}{4A_U} \\ L_V^2(P) &= 4A_U\tilde{A}_P - 8A_U\tilde{A}_{CW(P)} - 4A_U\tilde{A}_{CMLC(P)}\end{aligned}$$

■

Corolário 8.2. *Seja $P = \{P_1, \dots, P_{2n}\}$ polígono simples, fechado, convexo no plano (\mathbb{R}^2, U) , onde $U = \{U_1, \dots, U_{2n}\}$ é a bola unitária e $P_{i+1} - P_i$ é paralelo a $U_{i+1} - U_i$. Então*

$$L_V^2(P) = 4A_U A_P + 8A_U \left| \tilde{A}_{CW(P)} \right| + 4A_U \left| \tilde{A}_{CMLC(P)} \right|, \quad (8.5)$$

onde $L_V(P)$ indica o comprimento do polígono P na norma dual, A_U e A_P indicam respectivamente as áreas da bola unitária e do polígono P e $\tilde{A}_{CW(P)}$ e $\tilde{A}_{CMLC(P)}$ indicam respectivamente as áreas com sinal de $CW(P)$ e $CMLC(P)$.

Corolário 8.3. *Seja $P = \{P_1, \dots, P_{2n}\}$ polígono simples, fechado, convexo no plano (\mathbb{R}^2, U) , onde $U = \{U_1, \dots, U_{2n}\}$ é a bola unitária e $P_{i+1} - P_i$ é paralelo a $U_{i+1} - U_i$. Então*

$$L_V^2(P) \geq 4A_U A_P + 8A_U \left| \tilde{A}_{CW(P)} \right|, \quad (8.6)$$

onde $L_V(P)$ indica o comprimento do polígono P na norma dual, A_U e A_P indicam respectivamente as áreas da bola unitária e do polígono P e $\tilde{A}_{CW(P)}$ indica a área orientada de $CW(P)$. A igualdade ocorre se, e só se, o polígono P tem largura constante na norma U .

Corolário 8.4 (Desigualdade Isoperimétrica Clássica em plano normado.). *Seja $P = \{P_1, \dots, P_{2n}\}$ polígono simples, fechado, convexo no plano (\mathbb{R}^2, U) , onde $U = \{U_1, \dots, U_{2n}\}$ é a bola unitária e $P_{i+1} - P_i$ é paralelo a $U_{i+1} - U_i$. Então*

$$L_V^2(P) \geq 4A_U A_P, \quad (8.7)$$

onde $L_V(P)$ indica o comprimento do polígono P na norma dual, A_U e A_P indicam respectivamente as áreas da bola unitária e do polígono P . A igualdade ocorre se, e só se, o polígono P é simétrico e tem largura constante, isto é, múltiplo da bola.

Corolário 8.5. *Seja $P = \{P_1, \dots, P_{2n}\}$ polígono simples, fechado, convexo no plano (\mathbb{R}^2, U) , onde $U = \{U_1, \dots, U_{2n}\}$ é a bola unitária e $P_{i+1} - P_i$ é paralelo a $U_{i+1} - U_i$. Então*

$$L_V^2(P) \geq 4A_U A_P + 4A_U |\tilde{A}_{CMLC(P)}|, \quad (8.8)$$

onde $L_V(P)$ indica o comprimento do polígono P na norma dual, A_U e A_P indicam respectivamente as áreas da bola unitária e do polígono P e $\tilde{A}_{CMLC(P)}$ indica a área orientada de $CMLC(P)$.

8.1

Exemplo

Exemplo 8.6. *Podemos verificar o Corolário (8.2) caso discreto, utilizando o exemplo (7.35). Ver figura 7.1. Onde $L_V(P) = \frac{17\sqrt{3}}{8}$, $A(U) = \frac{3\sqrt{3}}{2}$, $A(P) = \frac{47\sqrt{3}}{64}$, $\tilde{A}_{CW(P)} = -\frac{\sqrt{3}}{256}$, $\tilde{A}_{CMLC(P)} = -\frac{\sqrt{3}}{96}$.*

Substituindo:

$$\begin{aligned} A(U) \left(4A_P + 8 |\tilde{A}_{CW(P)}| + 4 |\tilde{A}_{CMLC(P)}| \right) &= \frac{3\sqrt{3}}{2} \left(4 \cdot \frac{47\sqrt{3}}{64} + 8 \cdot \frac{\sqrt{3}}{256} + 4 \cdot \frac{\sqrt{3}}{96} \right) \\ &= \frac{867}{64} = \frac{17^2(\sqrt{3})^2}{8^2} = L_V^2(P) \end{aligned}$$

Ciclóides clássicas tem a propriedade de que sua dupla evoluta é homotética a ela mesma. Considerando esta mesma propriedade em um plano normado (\mathbb{R}^2, U) , onde U é bola unitária poligonal, temos a seguinte definição (proposição (7.32)):

Definição 9.1. *Definimos como Ciclóide discreta $F \in C_U$ o polígono cuja função suporte h_{F_i} satisfaz a equação*

$$-\frac{1}{[U_i, U_{i+1}]} \nabla_i \left(\frac{\Delta_i h_F}{[V_i, V_{i+1}]} \right) = \lambda h_{F_i}, \lambda \in \mathbb{R}, \quad (9.1)$$

que é a discretização natural de segunda ordem da Equação Diferencial de Sturm-Liouville exibida em [6].

Definição 9.2. *Dizemos que λ é autovalor da equação (9.1) se existe U -função suporte h que satisfaz tal equação. A função h é chamada de autovetor.*

Seja $P \in C_U$. Pela equação (6.4) existe uma correspondência entre P e h de forma que para cada P existe uma e apenas uma função suporte, assim vamos a partir de agora apresentar C_U como espaço das funções suporte e vamos muni-lo com o produto interno.

Definição 9.3. *Sejam $h, \bar{h} \in C_U$ então definimos o produto interno*

$$\langle h, \bar{h} \rangle_U = \sum_{k=1}^{2n} h_k \bar{h}_k [U_k, U_{k+1}] \quad (9.2)$$

onde h e \bar{h} correspondem a funções suportes de dois polígonos em C_U .

Lema 9.4. *Seja $h \in C_U$. A transformação linear T tal que*

$$Th = (Th_i)_{i \in \mathbb{N}} = \left(-\frac{1}{[U_i, U_{i+1}]} \nabla_i \left(\frac{\Delta_i h}{[V_i, V_{i+1}]} \right) \right)_{i \in \mathbb{N}},$$

definida em C_U é auto-adjunta com respeito ao produto interno (9.2).

Demonstração.

$$\begin{aligned}
 \langle Th, s \rangle_U &= \sum_{i=1}^{2n} s_i Th_i[U_i, U_{i+1}] \\
 &= \sum_{i=1}^{2n} -s_i \left(\frac{1}{[U_i, U_{i+1}]} \nabla_i \left(\frac{\Delta_i h}{[V_i, V_{i+1}]} \right) \right) [U_i, U_{i+1}] \\
 &= \sum_{i=1}^{2n} -s_i \nabla_i \left(\frac{\Delta_i h}{[V_i, V_{i+1}]} \right) \\
 &= \sum_{i=1}^{2n} \frac{\Delta_i s \Delta_i h}{[V_i, V_{i+1}]} \\
 &= \sum_{i=1}^{2n} -h_i \nabla_i \left(\frac{\Delta_i s}{[V_i, V_{i+1}]} \right) \\
 &= \sum_{i=1}^{2n} h_i T s_i [U_i, U_{i+1}] = \langle Ts, h \rangle_U
 \end{aligned}$$

■

Suponhamos que o raio de curvatura r de P satisfaça a equação (10.1) com $\lambda \neq 1$, então $h_i = \frac{r_i}{1-\lambda}$ satisfaz (10.1). Reciprocamente se a função suporte h do polígono P satisfaz (10.1) então pela equação (7.6), $r_i = h_i(1-\lambda)$ também satisfaz (10.1).

Segundo [7], $\lambda = 1$ indica as ciclóides discretas abertas que, portanto, não podem ser representadas por funções suporte periódicas. Assim para $\lambda \neq 1$ o polígono P possui tanto para raio de curvatura como função suporte, na transformação T , mesmos autovalores. Como estamos trabalhando com polígonos fechados fica justificados o uso de h ao invés de r na transformação T , Lema (9.4).

O conjunto C_U é invariante pela transformação T . Com efeito, lembrando que o conjunto C_U é definido de forma que $\sum_{i=1}^{2n} \Delta_i P = 0$.

$$\begin{aligned}
 \sum_{i=1}^{2n} \Delta_i P &= \sum_{i=1}^{2n} r_i \Delta_i U \\
 &= - \sum_{i=1}^{2n} \Delta_i r U_{i+1} \\
 &= - \sum_{i=1}^{2n} \frac{\Delta_i r}{[V_i, V_{i+1}]} U_{i+1} [V_i, V_{i+1}]
 \end{aligned}$$

$$\begin{aligned}
 &= -\sum_{i=1}^{2n} \frac{\Delta_i r}{[V_i, V_{i+1}]} \Delta_i V \\
 &= \sum_{i=1}^{2n} \nabla_i \left(\frac{\Delta_i r}{[V_i, V_{i+1}]} \right) V_i \\
 &= \sum_{i=1}^{2n} \frac{1}{[U_i, U_{i+1}]} \nabla \left(\frac{\Delta_i r}{[V_i, V_{i+1}]} \right) \Delta_i U \\
 &= \sum_{i=1}^{2n} (-Tr_i) \Delta_i U
 \end{aligned}$$

Agora basta substituir r_i por $h_i(1 - \lambda)$, $\lambda \neq 1$ e temos o desejado.

Como T é auto-adjunta e C_U é invariante nessa transformação teremos pelo Teorema Espectral que C_U possui uma base ortonormal de auto-vetores. Segundo [7] cada elemento da base é a função suporte de uma ciclóide discreta fechada. Assim se $h \in C_U$, então P é a soma de $2n - 2$ ciclóides discretas fechadas, que é uma generalização da série de Fourier discreta.

Apresentamos agora de acordo com [7] os autovalores associados a transformação T . Lema (9.4).

$$\lambda_0(= 0) < \lambda_1^1 = \lambda_2^1(= 1) < \lambda_2^1 \leq \lambda_2^2 < \lambda_3^1 \leq \lambda_3^2 < \dots < \lambda_{n-1}^1 \leq \lambda_{n-1}^2 < \lambda_n,$$

onde $\lambda_0(= 0)$ indica as ciclóides que são múltiplos da bola, isto é funções suporte constantes, λ_1^1, λ_2^1 , indicam ciclóides abertas (**não incluídas no nosso caso**) e cada ciclóide associada a λ_k^j possui exatamente $2k$ cúspides. Também, se k é par, a ciclóide é simétrica, e se k é ímpar, a ciclóide tem largura zero. Dessa forma se $h \in C_U$ teremos:

$$\begin{aligned}
 h &= h_0 + a_2^1 h_2^1 + a_2^2 h_2^2 + a_3^1 h_3^1 + a_3^2 h_3^2 + \dots + a_{n-1}^1 h_{n-1}^1 + a_{n-1}^2 h_{n-1}^2 + a_n h_n \\
 &= h_0 + a_n h_n + \sum_{j=1}^2 \sum_{k=2}^{n-1} a_k^j h_k^j, \quad a_k^j, a_n \in \mathbb{R}, \quad k \geq 2, j = 1, 2 \quad (9.3)
 \end{aligned}$$

Corolário 9.5. *O conjunto $H := \{h_0, h_2^1, h_2^2, h_3^1, h_3^2, \dots, h_{n-1}^1, h_{n-1}^2, h_n\}$ é base ortonormal de C_U .*

Do corolário temos que $\forall h_1, h_2 \in H$

$$\langle h_1, h_2 \rangle = A(U), \text{ se, } h_1 = h_2 \quad (9.4)$$

e

$$\langle h_1, h_2 \rangle = 0, \text{ se, } h_1 \neq h_2, \quad (9.5)$$

Sabemos também segundo [7] que

$$h_{k_i}^j = (-1)^k h_{k_{i+n}}^j, i \in \mathbb{N}, j = 1, 2, k = 2, \dots, n - 1, \quad (9.6)$$

$$h_{n_i} = (-1)^n h_{n_{i+n}}, n \in \mathbb{N} \quad (9.7)$$

Teorema 9.6. *Sejam $\{h_0, h_2^1, h_2^2, h_3^1, h_3^2, \dots, h_{n-1}^1, h_{n-1}^2, h_n\}$ base ortonormal de C_U e F_k^j ciclóide associada à função suporte h_k^j . Então*

1. $CW(F_k^j) = F_k^j$ e $CMLC(F_k^j) = \{0\}$, k ímpar.
2. $CW(F_k^j) = \{0\}$ e $CMLC(F_k^j) = F_k^j$, k par.

Demonstração. Para k ímpar a equação (9.6) e a proposição (7.6) implicam que $F_{k_i}^j = F_{k_{i+n}}^j$, então $CW(F_{k_i}^j) = F_{k_i}^j$. Pela proposição (7.16) $CMLC(F_{k_i}^j) = \{0\}$. Para k par a equação (9.6) e a proposição (7.9) mostram que F_k^j é simétrica e portanto $CW(F_k^j) = \{0\}$. Pela equação (9.5) temos

$$\begin{aligned} L_V(F_{k_i}^j) &= \sum_{i=1}^{2n} r_{F_{k_i}^j} [U_i, U_{i+1}] \\ &= \sum_{i=1}^{2n} h_{k_i}^j (1 - \lambda_k^j) [U_i, U_{i+1}] = 0 \end{aligned}$$

Portanto $\bar{w}_{F_k^j} = \frac{L_V(F_k^j)}{A(u)} = 0$ e simetria implicam $CMLC(F_k^j) = F_k^j$ ■

9.1

Áreas e Comprimentos

Nessa seção vamos apresentar o cálculo de áreas orientadas e comprimento dual de polígonos em C_U estudados até o momento, utilizando a base ortonormal de C_U , corolário (9.5), isto é, a série de Fourier generalizada discreta.

$$\begin{aligned} 2\tilde{A}(CW(P)) &= \frac{1}{2} \sum_{i=1}^{2n} [CW(P_i), \Delta_i CW(P)] \\ &= \frac{1}{2} \sum_{i=1}^{2n} [CW(P_i), CW(P_{i+1})] \end{aligned}$$

$$\begin{aligned}
 &= \frac{1}{2} \sum_{i=1}^{2n} (h_{CW(P_i)})^2 [U_i, U_{i+1}] - \frac{(\Delta_i h_{CW(P)})^2}{[V_i, V_{i+1}]} \\
 &= \frac{1}{2} \sum_{i=1}^{2n} \left(\frac{h_i - h_{i+n}}{2} \right)^2 [U_i, U_{i+1}] - \frac{(\Delta_i h - \Delta_{i+n} h)^2}{[V_i, V_{i+1}]} \\
 &= \frac{1}{2} A(P) - \frac{1}{4} \sum_{i=1}^{2n} h_i h_{i+n} [U_i, U_{i+1}] - \frac{(\Delta_i h)(\Delta_{i+n} h)}{[V_i, V_{i+1}]} \\
 &= \frac{1}{2} A(P) - \frac{1}{4} \sum_{i=1}^{2n} \left(h_{0_i} + a_n h_{n_i} + \sum_{\substack{k \geq 2 \\ j=1,2}}^{n-1} a_k^j h_{k_i}^j \right) \left(h_{0_{i+n}} + a_n h_{n_{i+n}} + \sum_{\substack{k \geq 2 \\ j=1,2}}^{n-1} a_k^j h_{k_{i+n}}^j \right) [U_i, U_{i+1}] \\
 &\quad - \frac{1}{[V_i, V_{i+1}]} \left(a_n \Delta_i h_n + \sum_{\substack{k \geq 2 \\ j=1,2}}^{n-1} a_k^j \Delta_i h_k^j \right) \left(a_n \Delta_{i+n} h_n + \sum_{\substack{k \geq 2 \\ j=1,2}}^{n-1} a_k^j \Delta_{i+n} h_k^j \right) \\
 &= \frac{A(P)}{2} - \frac{1}{4} \sum_{i=1}^{2n} h_0^2 [U_i, U_{i+1}] - \frac{1}{4} (a_n)^2 (-1)^n \sum_{i=1}^{2n} (h_{n_i})^2 [U_i, U_{i+1}] \\
 &\quad - \frac{1}{4} \sum_{\substack{k \geq 2 \\ j=1,2}}^{n-1} (a_k^j)^2 (-1)^k \sum_{i=1}^{2n} (h_{k_i}^j)^2 [U_i, U_{i+1}] + \frac{1}{4} (-1)^n (a_n)^2 \sum_{i=1}^{2n} \frac{(\Delta_i h_n)^2}{[V_i, V_{i+1}]} \\
 &\quad + \frac{1}{4} \sum_{\substack{k \geq 2 \\ j=1,2}}^{n-1} (-1)^k (a_k^j)^2 \sum_{i=1}^{2n} \frac{(\Delta_i h_k^j)^2}{[V_i, V_{i+1}]} \\
 &= \frac{A(P)}{2} - \frac{2A(U)}{4} h_0^2 - \frac{A(U)}{4} (-1)^n (a_n)^2 - \frac{A(U)}{4} \sum_{\substack{k \geq 2 \\ j=1,2}}^{n-1} (-1)^k (a_k^j)^2 \\
 &\quad + \frac{A(U)}{4} (a_n)^2 (-1)^n \lambda_n + \frac{A(U)}{4} \sum_{\substack{k \geq 2 \\ j=1,2}}^{n-1} (-1)^k (a_k^j)^2 \lambda_k^j \\
 &= \frac{A(P)}{2} - \frac{2A(U)}{4} h_0^2 + \frac{A(U)}{4} (-1)^n (a_n)^2 (\lambda_n - 1) + \frac{A(U)}{4} \sum_{\substack{k \geq 2 \\ j=1,2}}^{n-1} (-1)^k (a_k^j)^2 (\lambda_k^j - 1) \\
 &= \frac{h_0^2 A(U)}{2} - \frac{A(U)}{4} (a_n)^2 (\lambda_n - 1) - \frac{A(U)}{4} \sum_{\substack{k \geq 2 \\ j=1,2}}^{n-1} (a_k^j)^2 (\lambda_k^j - 1) \\
 &\quad - \frac{A(U)}{2} h_0^2 + \frac{A(U)}{4} (-1)^n (a_n)^2 (\lambda_n - 1) + \frac{A(U)}{4} \sum_{\substack{k \geq 2 \\ j=1,2}}^{n-1} (-1)^k (a_k^j)^2 (\lambda_k^j - 1) \\
 &= -\frac{A(U)}{4} \left((a_n)^2 (\lambda_n - 1) (1 - (-1)^n) + \sum_{\substack{k=\text{ímpar} \\ j=1,2}}^{n-1} 2(a_k^j)^2 (\lambda_k^j - 1) \right) \\
 &= -\frac{A(U)}{2} \left(\frac{(a_n)^2 (\lambda_n - 1) (1 - (-1)^n)}{2} + \sum_{\substack{k=\text{ímpar} \\ j=1,2}}^{n-1} (a_k^j)^2 (\lambda_k^j - 1) \right)
 \end{aligned}$$

$$\begin{aligned}
 \tilde{A}_{CMLC(P)} &= \frac{1}{2} \sum_{i=1}^{2n} [CMLC(P_i), \Delta_i CMLC(P)] \\
 &= \frac{1}{2} \sum_{i=1}^{2n} [CMLC(P_i), CMLC(P_{i+1})] \\
 &= \frac{1}{2} \sum_{i=1}^{2n} (h_{CMLC(P_i)})^2 [U_i, U_{i+1}] - \frac{(\Delta_i h_{CMLC(P)})^2}{[V_i, V_{i+1}]} \\
 &= \frac{1}{8} \sum_{i=1}^{2n} (h_i + h_{i+n} - \bar{w}_P)^2 [U_i, U_{i+1}] - \frac{(\Delta_i h + \Delta_{i+n} h)^2}{[V_i, V_{i+1}]} \\
 &= \frac{1}{4} \left(2A(P) - 4h_0 A(U) \bar{w}_P + (\bar{w}_P)^2 A(U) + \sum_{i=1}^{2n} h_i h_{i+n} [U_i, U_{i+1}] - \frac{(\Delta_i h)(\Delta_{i+n} h)}{[V_i, V_{i+1}]} \right) \\
 &= \frac{1}{4} (2A(P) - 4h_0 A(U) \bar{w}_P + (\bar{w}_P)^2 A(U) + 2A(U) h_0^2 - A(U) (-1)^n (a_n)^2 (\lambda_n - 1) \\
 &\quad - A(U) \sum_{\substack{k \geq 2 \\ j=1,2}}^{n-1} (-1)^k (a_k^j)^2 (\lambda_k^j - 1)) \\
 &= \frac{1}{2} \left(h_0^2 A(U) - \frac{A(U)}{2} (a_n)^2 (\lambda_n - 1) - \frac{A(U)}{2} \sum_{\substack{k \geq 2 \\ j=1,2}}^{n-1} (a_k^j)^2 (\lambda_k^j - 1) \right) - h_0^2 A(U) \\
 &\quad + \frac{1}{2} A(U) h_0^2 - \frac{A(U)}{4} (-1)^n (a_n)^2 (\lambda_n - 1) - \frac{A(U)}{4} \sum_{\substack{k \geq 2 \\ j=1,2}}^{n-1} (-1)^k (a_k^j)^2 (\lambda_k^j - 1) \\
 &= -\frac{A(U)}{2} \left(\frac{(a_n)^2 (\lambda_n - 1) (1 + (-1)^n)}{2} + \sum_{\substack{k=par \\ j=1,2}}^{n-1} (a_k^j)^2 (\lambda_k^j - 1) \right)
 \end{aligned}$$

$$\begin{aligned}
 L_V(P) &= \sum_{i=1}^{2n} \|\Delta_i P\|_V \\
 &= \sum_{i=1}^{2n} \left(h_i [U_i, U_{i+1}] + \nabla_i \left(\frac{\Delta_i h}{[V_i, V_{i+1}]} \right) \right) \|V_i\| \\
 &= \sum_{i=1}^{2n} h_i [U_i, U_{i+1}] \\
 &= \sum_{i=1}^{2n} \left(h_{0_i} + a_n h_{n_i} + \sum_{\substack{k \geq 2 \\ j=1,2}}^{n-1} a_k^j h_{k_i}^j \right) [U_i, U_{i+1}] \\
 &= h_0 \sum_{i=1}^{2n} [U_i, U_{i+1}] + a_n \sum_{i=1}^{2n} h_{n_i} [U_i, U_{i+1}] + \sum_{\substack{k \geq 2 \\ j=1,2}}^{n-1} a_k^j \sum_{i=1}^{2n} h_{k_i}^j [U_i, U_{i+1}] \\
 &= 2h_0 A(U)
 \end{aligned}$$

$$\begin{aligned}
 \tilde{A}_P &= \frac{1}{2} \sum_{i=1}^{2n} [P_i, P_{i-1} - P_i] \\
 &= \frac{1}{2} \sum_{i=1}^{2n} [P_i, \Delta_i P] \\
 &= \frac{1}{2} \sum_{i=1}^{2n} \left[h_i U_i + (\Delta_{i-1} h) \frac{V_i}{[V_{i-1}, V_i]}, \left(h_i [U_i, U_{i+1}] + \nabla_i \left(\frac{\Delta_i h}{[V_i, V_{i+1}]} \right) \right) V_i \right] \\
 &= \frac{1}{2} \sum_{i=1}^{2n} (h_i)^2 [U_i, U_{i+1}] + h_i \nabla_i \left(\frac{\Delta_i h}{[V_i, V_{i+1}]} \right) \\
 &= \frac{1}{2} \sum_{i=1}^{2n} (h_i)^2 [U_i, U_{i+1}] - \left(\frac{(\Delta_i h)(\Delta_i h)}{[V_i, V_{i+1}]} \right) \\
 &= \frac{1}{2} \sum_{i=1}^{2n} (h_i)^2 [U_i, U_{i+1}] - \frac{(\Delta_i h)^2}{[V_i, V_{i+1}]} \\
 &= \frac{1}{2} \sum_{i=1}^{2n} \left(h_{0_i} + a_n h_{n_i} + \sum_{\substack{k \geq 2 \\ j=1,2}}^{n-1} a_k^j h_{k_i}^j \right)^2 [U_i, U_{i+1}] - \frac{\left(a_n \Delta_i h_n + \sum_{\substack{j \geq 2 \\ j=1,2}}^{n-1} a_k^j \Delta_i h_k^j \right)^2}{[V_i, V_{i+1}]} \\
 &= h_0^2 \frac{1}{2} \sum_{i=1}^{2n} [U_i, U_{i+1}] + \frac{1}{2} (a_n)^2 \sum_{i=1}^{2n} (h_{n_i})^2 [U_i, U_{i+1}] + \frac{1}{2} \sum_{\substack{k \geq 2 \\ j=1,2}}^{n-1} (a_k^j)^2 \sum_{i=1}^{2n} (h_{k_i})^2 [U_i, U_{i+1}] \\
 &\quad - \frac{1}{2} \sum_{i=1}^{2n} (a_n)^2 \frac{(\Delta_i h_n)^2}{[V_i, V_{i+1}]} - \frac{1}{2} \sum_{\substack{k \geq 2 \\ j=1,2}}^{n-1} (a_k^j)^2 \sum_{i=1}^{2n} \frac{(\Delta_i h_k^j)^2}{[V_i, V_{i+1}]} \\
 &= h_0^2 A(U) + \frac{1}{2} (a_n)^2 A(U) + \frac{1}{2} A(U) \sum_{\substack{k \geq 2 \\ j=1,2}}^{n-1} (a_k^j)^2 - \frac{1}{2} (a_n)^2 \lambda_n A(U) - \frac{1}{2} \sum_{\substack{k \geq 2 \\ j=1,2}}^{n-1} (a_k^j)^2 \lambda_k^j A(U) \\
 &= h_0^2 A(U) + \frac{A(U)}{2} a_n^2 (1 - \lambda_n) + \frac{A(U)}{2} \sum_{\substack{k \geq 2 \\ j=1,2}}^{n-1} (a_k^j)^2 (1 - \lambda_k^j).
 \end{aligned}$$

Corolário 9.7. *Todo polígono $P \in C_U$ com V -comprimento zero, isto é, $h_0 = 0$ possui $\tilde{A}_P < 0$. Em particular a proposição (7.27) está demonstrada.*

9.2

Outra Prova - Igualdade Isoperimétrica em Plano Normado - Discreto

Teorema 9.8. *Seja $P = \{P_1, \dots, P_{2n}\}$ polígono em C_U no plano (\mathbb{R}^2, U) , onde $U = \{U_1, \dots, U_{2n}\}$ é a bola unitária e $P_{i+1} - P_i$ é paralelo a $U_{i+1} - U_i$. Então*

$$L_V^2(P) = 4A_U \tilde{A}_P - 8A_U \tilde{A}_{CW(P)} - 4A_U \tilde{A}_{CMLC(P)}, \quad (9.8)$$

onde $L_V(P)$ indica o V -comprimento com sinal do polígono P , A_U indica área da bola unitária e $\tilde{A}(P)$, $\tilde{A}_{CW(P)}$ e $\tilde{A}_{CMLC(P)}$ indicam respectivamente as áreas com sinal de P , $CW(P)$ e $CMLC(P)$.

Demonstração. Da seção anterior temos

$$L_V(P) = 2h_0 A_U \quad (9.9)$$

$$\tilde{A}_P = h_0^2 A_U - \frac{A_U}{2} (a_n)^2 (\lambda_n - 1) - \frac{A_U}{2} \sum_{\substack{k \geq 2 \\ j=1,2}}^{n-1} (a_k^j)^2 (\lambda_k^j - 1) \quad (9.10)$$

$$\tilde{A}_{CW(P)} = -\frac{A_U}{4} \left(\frac{(a_n)^2 (\lambda_n - 1) (1 - (-1)^n)}{2} + \sum_{\substack{k=\text{ímpar} \\ j=1,2}}^{n-1} (a_k^j)^2 (\lambda_k^j - 1) \right) \quad (9.11)$$

$$\tilde{A}_{CMLC(P)} = -\frac{A_U}{2} \left(\frac{(a_n)^2 (\lambda_n - 1) (1 + (-1)^n)}{2} + \sum_{\substack{k=\text{par} \\ j=1,2}}^{n-1} (a_k^j)^2 (\lambda_k^j - 1) \right) \quad (9.12)$$

Observe que $\tilde{A}_{CW(P)} \leq 0$ e $\tilde{A}_{CMLC(P)} \leq 0$ pois $\lambda_k^j > 1$ (ver [7]). Substituindo.

$$4A_U \tilde{A}_P - 8A_U \tilde{A}_{CW(P)} - 4A_U \tilde{A}_{CMLC(P)} =$$

$$\begin{aligned}
& 4A_U \left(h_0^2 A_U - \frac{A_U}{2} (a_n)^2 (\lambda_n - 1) - \frac{A_U}{2} \sum_{\substack{k \geq 2 \\ j=1,2}}^{n-1} (a_k^j)^2 (\lambda_k^j - 1) \right) \\
& + 8A_U \frac{A_U}{4} \left(\frac{(a_n)^2 (\lambda_n - 1) (1 - (-1)^n)}{2} + \sum_{\substack{k=\text{impar} \\ j=1,2}}^{n-1} (a_k^j)^2 (\lambda_k^j - 1) \right) \\
& + 4A_U \frac{A_U}{2} \left(\frac{(a_n)^2 (\lambda_n - 1) (1 + (-1)^n)}{2} + \sum_{\substack{k=\text{par} \\ j=1,2}}^{n-1} (a_k^j)^2 (\lambda_k^j - 1) \right) \\
& = 4h_0^2 (A_U)^2 = (2h_0 A_U)^2 = L_V^2(P)
\end{aligned}$$

■

10 Curvas Rosáceas

Uma m -rosácea é uma curva suave fechada com curvatura não-nula e número de rotações igual a m onde m é um inteiro positivo (ver [3], [15]). O conjunto das m -rosáceas é representado por \mathcal{H}_m , veja definição (2.8).

Observe que pela definição (2.8) as curvas m -rosácea são $2m\pi$ -periódicas. Por [6], teorema (4.4), utilizando uma norma qualquer do plano podemos calcular os autovalores $\lambda_{k,m}^j$ da equação (5.1) e seus respectivos autovetores $h_{k,m}^j$ (ciclóides) para curvas fechadas com m rotações, isto é, m -rosácea. No caso euclidiano, por exemplo, a função suporte $h(\theta)$ da m -rosácea pode ser escrita utilizando Fourier como

$$h(\theta) = h_0 + \sum_{k=1}^{\infty} a_n \cos\left(\frac{k\theta}{m}\right) + b_n \sin\left(\frac{k\theta}{m}\right), \theta \in [0, 2m\pi]. \quad (10.1)$$

10.1 Exemplo

Exemplo 10.1. Considere $u(\theta) = (\cos(\theta), \sin(\theta))$ como bola unitária, $h(\theta) = \cos(\frac{\theta}{2}) + 2$ função suporte de uma 2-rosácea. Seja $\gamma(\theta)$ uma parametrização de 2-rosácea. Utilizando a equação

$$\gamma(\theta) = h(\theta)u(\theta) + \frac{h'(\theta)}{[v(\theta), v'(\theta)]}v(\theta)$$

teremos

$$\begin{aligned} \gamma(\theta) = & (\cos(t/2) \cos(t) + (\sin(t/2) \sin(t))/2 + 2 \cos(t), \cos(t/2) \sin(t) \\ & - (\sin(t/2) \cos(t))/2 + 2 \sin(t)) \end{aligned}$$

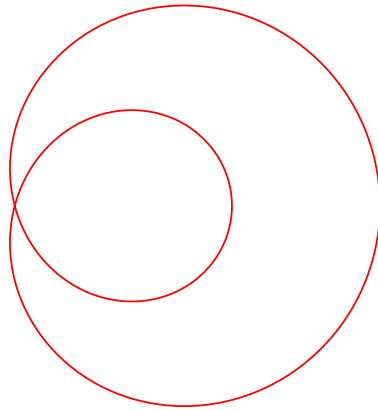


Figura 10.1: 2-rosácea

De acordo com [25] para cada m -rosácea podemos calcular $\frac{(m+1)m}{2}$ "ramos" de Cáusticas de Wigner. Nós vamos nos deter a apenas um dentre esses "ramos" de Cáusticas de Wigner, pois a partir dele obtemos a igualdade isoperimétrica. Para obter "ramos" de Cáustica de Wigner basta variar $k = 1, \dots, m$ da definição $CW(\theta) = (\gamma(\theta) + \gamma(\theta + k\pi))/2$. Vamos nos deter no caso $k = m$.

10.2 Cáustica de Wigner

Definição 10.2. *Seja $\gamma \in \mathcal{H}_m$. Chamamos Evoluta de Área ou Cáustica de Wigner (CW) γ o conjunto*

$$CW(\gamma)(\theta) = \{(\gamma(\theta) + \gamma(\theta + m\pi))/2; \theta \in [0, 2m\pi]\}.$$

Como $CW(\gamma)(\theta) = CW(\gamma)(\theta + m\pi)$ temos que $CW(\gamma)(\theta)$ possui período $m\pi$ e dá duas voltas no intervalo $[0, 2m\pi]$. Seus cúspides ocorrem quando $r(\theta) = ((-1)^{m+1})r(\theta + m\pi)$, pois $CW'(\gamma)(\theta) = \left(\frac{r(\theta) + (-1)^m r(\theta + m\pi)}{2}\right) u'(\theta)$. A função suporte de $CW(\gamma)(\theta)$ é

$$h_{CW(\gamma)} = [\gamma(\theta) + \gamma(\theta + m\pi)]/2, v(\theta) = \frac{1}{2} (h(\theta) + (-1)^m h(\theta + m\pi)). \quad (10.2)$$

Onde $h(\theta)$ é a função suporte de γ .

10.3

Conjunto de Medida de Largura Constante

Definição 10.3. *Seja $\gamma \in \mathcal{H}_m$. Definimos como Conjunto de Medida de Largura constante de γ , abreviado por $CMLC(\gamma)$,*

$$CMLC(\gamma)(\theta) = \left\{ \frac{1}{2} \left(\gamma(\theta) - \gamma(\theta + m\pi) - \frac{\bar{w}_\gamma}{m} u(\theta) \right), \theta \in [0, 2m\pi] \right\}$$

Ver [25] para versão Euclidiana do CMLC.

A função suporte de $CMLC$ é

$$h_{CMLC(\gamma)}(\theta) = \frac{1}{2} \left[\gamma(\theta) - \gamma(\theta + m\pi) - \frac{\bar{w}_\gamma}{m} u(\theta), v(\theta) \right] \quad (10.3)$$

$$= \frac{1}{2} \left(h(\theta) - (-1)^m h(\theta + m\pi) - \frac{\bar{w}_\gamma}{m} \right). \quad (10.4)$$

10.4

Decomposição da curva $\gamma \in \mathcal{H}_m$ como soma de Caústica de Wigner, CMLC e bola unitária.

Proposição 10.4. $\gamma \in \mathcal{H}_m$. $\gamma(\theta) = CW(\gamma)(\theta) + CMLC(\gamma)(\theta) + \frac{\bar{w}_\gamma}{2m} u(\theta)$ e $h_\gamma(\theta) = h_{CW(\gamma)}(\theta) + h_{CMLC(\gamma)}(\theta) + \frac{\bar{w}_\gamma}{2m}$.

Corolário 10.5. $\gamma \in \mathcal{H}_m$. $\gamma(\theta) = CW(\gamma)(\theta) + CMLC(\gamma)(\theta)$ e $h_\gamma(\theta) = h_{CW(\gamma)}(\theta) + h_{CMLC(\gamma)}(\theta) \Leftrightarrow L_v(\gamma) = 0$

É simples ver que os resultados acima são consequência do fato que

$$\gamma(\theta) = \frac{\gamma(\theta) + \gamma(\theta + m\pi)}{2} + \frac{\gamma(\theta) - \gamma(\theta + m\pi)}{2}.$$

Pela proposição (10.5) podemos reescrever γ utilizando bases ortonormais. Com efeito

$$\begin{aligned} \gamma(\theta) &= h_{CW}(\theta)u(\theta) + \frac{(h_{CW})'(\theta)}{[v(\theta), v'(\theta)]}v(\theta) \\ &\quad + h_{CMLC}(\theta)u(\theta) + \frac{(h_{CMLC})'(\theta)}{[v(\theta), v'(\theta)]}v(\theta) + \frac{\bar{w}_\gamma}{2m}u(\theta) \end{aligned}$$

$$\begin{aligned}
 m \text{ par} \Rightarrow \gamma(\theta) &= \left(h_0 + \sum_{\substack{k \text{ par} \\ j=1,2}}^{\infty} a_k^j h_{k,m}^j(\theta) \right) u(\theta) + \frac{\sum_{k \text{ par}}^{\infty} a_k^j (h_{k,m}^j)'(\theta)}{[v(\theta), v'(\theta)]} v(\theta) \\
 &+ \left(\sum_{\substack{k \text{ ímpar} \\ j=1,2}}^{\infty} a_k^j h_{k,m}^j(\theta) - h_0 \right) u(\theta) + \frac{\sum_{k \text{ ímpar}}^{\infty} a_k^j (h_{k,m}^j)'(\theta)}{[v(\theta), v'(\theta)]} v(\theta) \\
 &+ \frac{\bar{w}_\gamma}{2m} u(\theta).
 \end{aligned}$$

$$\begin{aligned}
 m \text{ ímpar} \Rightarrow \gamma(\theta) &= \left(\sum_{\substack{k \text{ ímpar} \\ j=1,2}}^{\infty} a_k^j h_{k,m}^j(\theta) \right) u(\theta) + \frac{\sum_{k \text{ ímpar}}^{\infty} a_k^j (h_{k,m}^j)'(\theta)}{[v(\theta), v'(\theta)]} v(\theta) \\
 &+ \left(\sum_{\substack{k \text{ par} \\ j=1,2}}^{\infty} a_k^j h_{k,m}^j(\theta) \right) u(\theta) + \frac{\sum_{k \text{ par}}^{\infty} a_k^j (h_{k,m}^j)'(\theta)}{[v(\theta), v'(\theta)]} v(\theta) \\
 &+ \frac{\bar{w}_\gamma}{2m} u(\theta).
 \end{aligned}$$

10.5 Cúspides CMLC e Cáustica de Wigner

Teorema 10.6. *Seja $\gamma \in \mathcal{H}_m$ curva que possui apenas singularidades ordinárias, isto é, do tipo 2-cúspide. Se m é ímpar então o número de 2-cúspides de $CMLC(\gamma)$ no intervalo $[0, 2m\pi]$ é múltiplo de quatro. Se m é par e $\bar{w}_\gamma = 0$ então o número de 2-cúspides de $CMLC(\gamma)$ no intervalo $[0, 2m\pi]$ é $2k$ com k ímpar.*

Demonstração. O número de cúspides de $CMLC$ é igual ao número de zeros de $r_{CMLC(\gamma)}(\theta) = \frac{1}{2}(r(\theta) - (-1)^m r(\theta + m\pi) - \frac{\bar{w}_\gamma}{m})$ no intervalo de 0 até $2m\pi$. Para m ímpar $r_{CMLC(\gamma)}(\theta) = r_{CMLC(\gamma)}(\theta + m\pi)$ então o número de cúspides de $CMLC(\gamma)$ de 0 a $m\pi$ é par, como $r_{CMLC(\gamma)}(\theta)$ é $m\pi$ -periódica para m ímpar concluímos que o número de cúspides deve ser múltiplo de quatro. Para m par $r_{CMLC(\gamma)}(\theta) = \frac{1}{2}(r(\theta) - r(\theta + m\pi) - \frac{\bar{w}_\gamma}{m})$ como por hipótese $\bar{w}_\gamma = 0$ implica $r_{CMLC(\gamma)}(\theta + m\pi) = -r_{CMLC(\gamma)}(\theta)$ então o número de zeros deve ser ímpar em $[0, m\pi]$ e em $[m\pi, 2m\pi]$. ■

Teorema 10.7. *Seja $\gamma \in \mathcal{H}_m$ curva que possui apenas singularidades ordinárias, isto é, do tipo 2–cúspide. Se m é par então o número de 2–cúspides de $CW(\gamma)$ no intervalo $[0, 2m\pi]$ é múltiplo de quatro. Se m é ímpar então o número de 2–cúspides de $CW(\gamma)$ no intervalo $[0, 2m\pi]$ é da forma $2k$ com k ímpar.*

Demonstração. Observe que $CW'(\gamma)(\theta) = \frac{r(\theta) + (-1)^m r(\theta + m\pi)}{2} u'(\theta)$. Assim, $r_{CW(\gamma)}(\theta) = \frac{r(\theta) + (-1)^m r(\theta + m\pi)}{2}$. Se m é par então $r_{CW(\gamma)}(\theta) = r_{CW(\gamma)}(\theta + m\pi)$ então o número de zeros de $r_{CW(\gamma)}$ de θ até $\theta + m\pi$ é par. Se m é ímpar então $r_{CW(\gamma)}(\theta) = -r_{CW(\gamma)}(\theta + m\pi)$ então o número de zeros de $r_{CW(\gamma)}$ de θ até $\theta + m\pi$ é ímpar. Temos o desejado. ■

Destacamos que os dois resultados anteriores são válidos para 2–cúspides, isto é, se $\gamma \in \mathcal{H}_m$ é tal que $\gamma'(\alpha) = 0$ então $r(\alpha) = 0$ e $r'(\alpha) \neq 0$ onde r é o raio de curvatura.

No teorema 10.6 temos a condição $\bar{w}_\gamma = 0$ para m par. Como contra exemplo considere o *CMLC* de função suporte $h_{CMLC}(\theta) = 5 \cos(3\theta/4) - \cos(\theta/4) - 2$ e considere como bola unitária o círculo Euclidiano. Neste contra exemplo $m = 4$, $\bar{w}_\gamma = 16$ e o número de 2–cúspides é 4.

10.6 Exemplo

Exemplo 10.8. *Considere $u(\theta) = (\cos(\theta), \sin(\theta))$ como bola unitária, $h(\theta) = \cos(\frac{\theta}{2}) + 2$ função suporte de uma 2–rosácea. Seja $\gamma(\theta)$ uma parametrização de 2–rosácea. Podemos calcular $CW(\gamma)$ e $CMLC(\gamma)$.*

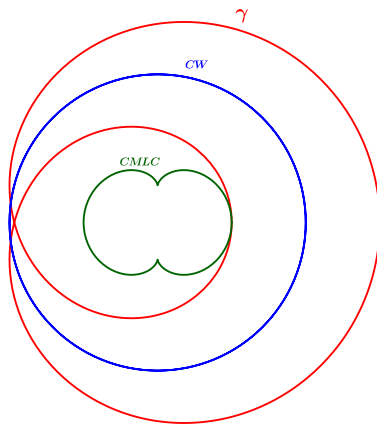


Figura 10.2: 2–rosácea, CW, CMLC

10.7

Igualdade Isoperimétrica em Plano Normado para m -rosáceas

Teorema 10.9 (Igualdade Isoperimétrica em Plano Normado para curvas m -rosáceas). *Seja γ uma m -rosáceas em \mathcal{H}_m no plano (\mathbb{R}^2, U) , onde U é a bola unitária. Então*

I) *Se m é ímpar então*

$$L_v^2(\gamma) = 4mA_U\tilde{A}_\gamma - 8mA_U\tilde{A}_{CW(\gamma)} - 4mA_U\tilde{A}_{CMLC(\gamma)}. \quad (10.5)$$

II) *Se m é par então*

$$L_v^2(\gamma) = -4mA_U\tilde{A}_\gamma + 8mA_U\tilde{A}_{CW(\gamma)} + 4mA_U\tilde{A}_{CMLC(\gamma)}. \quad (10.6)$$

onde $L_v(\gamma)$ indica o comprimento com sinal da curva γ na norma dual, A_U a área da bola unitária, \tilde{A}_γ , $\tilde{A}_{CW(\gamma)}$ e $\tilde{A}_{CMLC(\gamma)}$ indicam respectivamente as áreas com sinal de γ , $CW(\gamma)$ e $CMLC(\gamma)$.

Demonstração.

Pela proposição (10.4) temos

$$\gamma(\theta) = CW(\gamma)(\theta) + CMLC(\gamma)(\theta) + \frac{\bar{w}_\gamma}{2m}u(\theta).$$

Vamos proceder da seguinte maneira: calcular a área de $\gamma(\theta)$ utilizando a proposição (10.4) e assim obter a Igualdade Isoperimétrica. Iremos também utilizar um resultado de integração por partes

$$\int_0^{2m\pi} [f'(t), g(t)]dt = - \int_0^{2m\pi} [f(t), g'(t)]dt,$$

onde f, g são de classe C^1 e que

$$\int_0^{2m\pi} [CMLC(\gamma)(\theta), CW'(\gamma)(\theta)]d\theta = -\frac{L_v^2(\gamma)}{4mA_U}(1 + (-1)^m),$$

e

$$\int_0^2 [u(\theta), CW'(\theta) + CMLC'(\theta)]d\theta = 0.$$

$$\begin{aligned}
 \tilde{A}(\gamma) &= \frac{1}{2} \int_0^{2m\pi} [\gamma(\theta), \gamma'(\theta)] d\theta \\
 &= \frac{1}{2} \int_0^{2m\pi} \left[CW(\theta) + CMLC(\theta) + \frac{\bar{w}_\gamma}{2m} u(\theta), CW'(\theta) + CMLC'(\theta) + \frac{\bar{w}_\gamma}{2m} u'(\theta) \right] d\theta \\
 &= \frac{1}{2} \int_0^{2m\pi} [CW(\theta), CW'(\theta)] d\theta + \frac{1}{2} \int_0^{2m\pi} [CMLC(\theta), CMLC'(\theta)] d\theta \\
 &\quad + \frac{1}{2} \int_0^{2m\pi} \frac{\bar{w}_\gamma^2}{4m^2} [u(\theta), u'(\theta)] d\theta + \frac{1}{2} \int_0^{2m\pi} [CW(\theta), CMLC'(\theta)] d\theta \\
 &\quad + \frac{1}{2} \int_0^{2m\pi} \frac{\bar{w}_\gamma}{2m} [CW(\theta), u'(\theta)] d\theta + \frac{1}{2} \int_0^{2m\pi} [CMLC(\theta), CW'(\theta)] d\theta \\
 &\quad + \frac{1}{2} \int_0^{2m\pi} \frac{\bar{w}_\gamma}{2m} [CMLC(\theta), u'(\theta)] d\theta + \frac{1}{2} \int_0^{2m\pi} \frac{\bar{w}_\gamma}{2m} [u(\theta), CW'(\theta)] d\theta \\
 &\quad + \frac{1}{2} \int_0^{2m\pi} \frac{\bar{w}_\gamma}{2m} [u(\theta), CMLC'(\theta)] d\theta \\
 &= 2\tilde{A}_{CW(\gamma)} + \tilde{A}_{CMLC(\gamma)} + \frac{\bar{w}_\gamma^2}{4m^2} mA_U + \frac{1}{2} \int_0^{2m\pi} [CMLC(\theta), CW'(\theta)] d\theta \\
 &\quad + \frac{1}{2} \int_0^{2m\pi} [CMLC(\theta), CW'(\theta)] d\theta + \int_0^{2m\pi} \frac{\bar{w}_\gamma}{2m} [u(\theta), CW'(\theta)] d\theta \\
 &\quad + \int_0^{2m\pi} \frac{\bar{w}_\gamma}{2m} [u(\theta), CMLC'(\theta)] d\theta \\
 &= 2\tilde{A}_{CW(\gamma)} + \tilde{A}_{CMLC(\gamma)} + \frac{\bar{w}_\gamma^2}{4m^2} mA_U + \frac{\bar{w}_\gamma}{2m} \int_0^{2m\pi} [u(\theta), CW'(\theta) + CMLC'(\theta)] d\theta \\
 &\quad + \int_0^{2m\pi} [CMLC(\theta), CW'(\theta)] d\theta \\
 &= 2\tilde{A}_{CW(\gamma)} + \tilde{A}_{CMLC(\gamma)} + \frac{L_v^2(\gamma)}{4mA_U} - \frac{L_v^2(\gamma)}{4mA_U} (1 + (-1)^m) \\
 &= 2\tilde{A}_{CW(\gamma)} + \tilde{A}_{CMLC(\gamma)} - (-1)^m \frac{L_v^2(\gamma)}{4mA_U} \\
 &\Rightarrow (-1)^{(m+1)} L_v^2(\gamma) = 4mA_U \tilde{A}_\gamma - 8mA_U \tilde{A}_{CW(\gamma)} - 4mA_U \tilde{A}_{CMLC(\gamma)}
 \end{aligned}$$

■

11

Curvas Rosáceas - Discretas

Considere um plano normado com bola unitária $U = \{U_1, \dots, U_{2n}\}$. Conforme a definição (6.2) uma m -rosácea discreta

$$P = \{P_1, \dots, P_{2n}, P_{2n+1}, \dots, P_{4n}, \dots, P_{2n(m-1)+1}, \dots, P_{2mn}\},$$

é polígono fechado com número de rotações igual a m onde m é um inteiro positivo e para cada $j \in \{1, \dots, 2mn\}$ existe um $i \in \{1, \dots, 2n\}$ tal que $i \equiv j \pmod{2n}$ e $P_j P_{j+1} \parallel U_i U_{i+1}$. O conjunto das m -rosáceas discretas é representado por $C_U - m$.

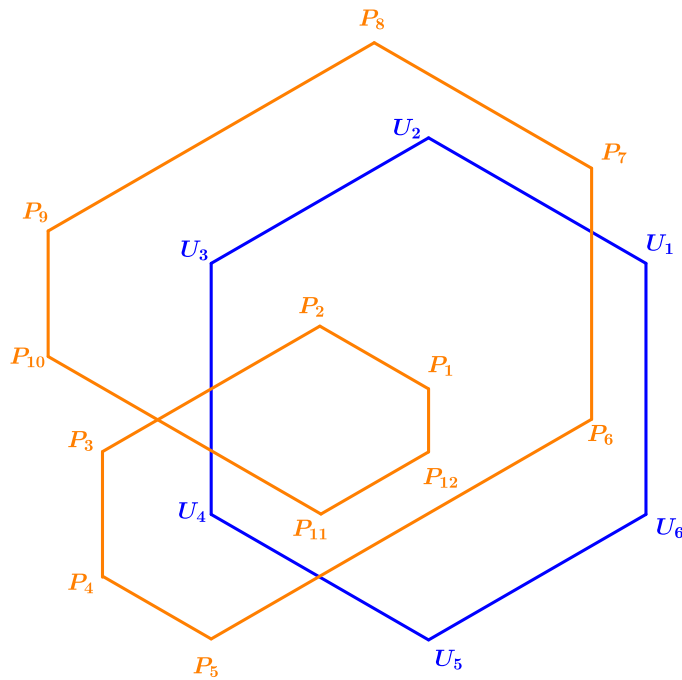


Figura 11.1: Bola unitária U e 2-rosácea P

Para cada m -rosácea discreta podemos calcular $\frac{(m+1)m}{2}$ "ramos" de Cáusticas de Wigner. Nós vamos nos deter a apenas um dentre esses "ramos" de Cáusticas de Wigner, pois a partir dele obtemos a igualdade isoperimétrica. Para obter "ramos" de Cáustica de Wigner basta variar $k = 1, \dots, m$ da definição $CW(P_i) = (P_i + P_{i+kn})/2$. Vamos nos deter no caso $k = m$.

11.1

Cáustica de Wigner

Definição 11.1. *Seja $P \in C_U - m$. Chamamos Evoluta de Área ou Cáustica de Wigner (CW) de P o conjunto*

$$CW(P) = \{(P_i + P_{i+mn})/2; i \in \{1, \dots, 2mn\}\}.$$

Como $CW(P_i) = CW(P_{i+mn})$ temos que $CW(P)$ possui mn vértices. A função suporte de $CW(P)$ é

$$h_{CW(P_i)} = [(P_i + P_{i+mn})/2, V_i] = \frac{1}{2} (h_i + (-1)^m h_{i+mn}). \quad (11.1)$$

Onde h_i é a função suporte de P .

11.2

Conjunto de Medida de Largura Constante

Definição 11.2. *Seja $P \in C_U - m$. Definimos como Conjunto de Medida de Largura constante de P , abreviado por $CMLC(P)$,*

$$CMLC(P) = \left\{ \frac{1}{2} \left(P_i - P_{i+mn} - \frac{\bar{w}_P}{m} U_i \right), i \in \{1, \dots, 2mn\} \right\}$$

A função suporte de $CMLC$ é

$$h_{CMLC(P_i)} = \frac{1}{2} \left[P_i - P_{i+mn} - \frac{\bar{w}_P}{m} U_i, V_i \right] \quad (11.2)$$

$$= \frac{1}{2} \left(h_i - (-1)^m h_{i+mn} - \frac{\bar{w}_P}{m} \right). \quad (11.3)$$

11.3

Decomposição do polígono $P \in C_U - m$ como soma de Cáustica de Wigner, CMLC e bola unitária.

Proposição 11.3. $P \in C_U - m$, $P_i = CW(P_i) + CMLC(P_i) + \frac{\bar{w}_P}{2m} U_i$ e $h_{P_i} = h_{CW(P_i)} + h_{CMLC(P_i)} + \frac{\bar{w}_P}{2m}$.

Corolário 11.4. $P \in C_U - m$, $P_i = CW(P_i) + CMLC(P_i)$ e $h_{P_i} = h_{CW(P_i)} + h_{CMLC(P_i)} \Leftrightarrow L_V(P) = 0$

É simples ver que os resultados acima são consequência do fato que

$$P_i = \frac{P_i + P_{i+mn}}{2} + \frac{P_i - P_{i+mn}}{2}.$$

11.4

Cúspides CMLC e Cáustica de Wigner

Teorema 11.5. *Considere o polígono P em $C_U - m$. Se m é ímpar então o número de cúspides de $CMLC(P_i)$ onde $i \in \{1, \dots, 2mn\}$ é múltiplo de quatro. Se m é par e $\bar{w}_P = 0$ então o número de cúspides de $CMLC(P_i)$ onde $i \in \{1, \dots, 2mn\}$ é da forma $2k$, k ímpar.*

Demonstração. O número de cúspides de $CMLC(P)$ é igual ao número de trocas de sinal do raio de curvatura em segmentos consecutivos. Sabemos que $r_{CMLC(P_i)} = (r_i - (-1)^m r_{i+mn} - \frac{\bar{w}_P}{m})/2$. Para m ímpar $r_{CMLC(P_i)} = (r_i + r_{i+mn} - \frac{\bar{w}_P}{m})/2$ o que implica $r_{CMLC(P_i)} = r_{CMLC(P_{i+mn})}$. Uma vez que $L_V(CMLC(P)) = 0$ temos

$$r_{CMLC(P_1)}[U_1, U_2] + r_{CMLC(P_2)}[U_2, U_3] + \dots + r_{CMLC(P_{mn})}[U_{mn}, U_{mn+1}] = 0$$

e

$$r_{CMLC(P_{mn+1})}[U_{mn+1}, U_{mn+2}] + r_{CMLC(P_{mn+2})}[U_{mn+2}, U_{mn+3}] + \dots + r_{CMLC(P_{2mn})}[U_{2mn}, U_{2mn+1}] = 0.$$

Das igualdades anteriores e pelo fato de $[U_i, U_{i+1}] > 0, \forall i \in \{1, \dots, 2n\}$, concluímos que existe pelo menos um $k \in \{1, \dots, mn\}$ tal que $r_{CMLC(P_k)} < 0$ assim o número de trocas de sinal de k até $k+mn$ deve ser par e pelo menos 2. O mesmo vale de $k+mn$ até $k+2mn$. Para m par $r_{CMLC(P_i)} = (r_i - r_{i+mn} - \frac{\bar{w}_P}{m})/2$. Por hipótese $\bar{w}_P = 0$ portanto $r_{CMLC(P_i)} = -r_{CMLC(P_{i+mn})}$ implica que número de trocas de sinal do raio de curvatura em segmentos consecutivos de 1 até $mn + 1$ é ímpar. ■

Teorema 11.6. *Considere o polígono P em $C_U - m$. Se m é par então o número de cúspides de $CW(P_i)$ onde $i \in \{1, \dots, 2mn\}$ é múltiplo de 4. Se m*

é ímpar então o número de cúspides de $CW(P_i)$ onde $i \in \{1, \dots, 2mn\}$ é da forma $2k$, k ímpar.

Demonstração. Observe que $r_{CW(P_i)} = \frac{r_i + (-1)^m r_{i+mn}}{2}$. Se m é par então $r_{CW(P_i)} = r_{CW(P_{i+mn})}$ então o número de trocas de sinal do raio de curvatura em segmentos consecutivos de 1 até $mn + 1$ é par. Se m é ímpar então $r_{CW(P_i)} = -r_{CW(P_{i+mn})}$ então o número de trocas de sinal do raio de curvatura em segmentos consecutivos de 1 até $mn + 1$ é ímpar. ■

11.5

Exemplo

Exemplo 11.7. Considere $U = \{U_1, \dots, U_6\}$ bola hexagonal regular e $P \in C_U - 2$ uma 2-rosácea com raio de curvatura $r = (1/2, 1, 1/2, 1/2, 7/4, 1, 1, 3/2, 1/2, 5/4, 1/2, 1/4)$. Ver figura 11.1.

Exemplo 11.8. Considere $U = \{U_1, U_2, U_3, U_4\}$ como bola unitária quadrada, onde $U_1 = (2, -2)$, $U_2 = (2, 2)$, $U_3 = (-2, 2)$, $U_4 = (-2, -2)$ e polígono P com raio de curvatura $r = (1/4, 1, 1/2, 3/4, 5/4, 1/2, 1, 3/4)$.

Então $L_V(P) = \sum_{i=1}^8 r_1[U_i, U_{i+1}] = 48$ e $\bar{w}_P = \frac{48}{16} = 3$, onde $A(U) = 16$. Podemos calcular CW e $CMLC$.

$$CW(P_1) = (-\frac{1}{2}, -\frac{1}{2}) = CW(P_5), CW(P_2) = (-\frac{1}{2}, \frac{5}{2}) = CW(P_6), CW(P_3) = (-\frac{7}{2}, \frac{5}{2}) = CW(P_7), CW(P_4) = (-\frac{7}{2}, -\frac{1}{2}) = CW(P_8),$$

$$CMLC(P_1) = (-1, 2), CMLC(P_2) = (-1, -3), CMLC(P_3) = (1, -3), CMLC(P_4) = (1, 1), CMLC(P_5) = (-2, 1), CMLC(P_6) = (-2, 0), CMLC(P_7) = (2, 0), CMLC(P_8) = (2, 2).$$

Assim $\tilde{A}(P) = 15$, $\tilde{A}(CW(P)) = 9$, $\tilde{A}(CMLC(P)) = 15$, $m = 2$. Podemos substituir e verificar o teorema (11.7).

$$\begin{aligned} & -4m\tilde{A}(P)A(U) + 8m\tilde{A}(CW(P))A(U) + 4m\tilde{A}(CMLC(P))A(U) = \\ & 4mA(U)(-\tilde{A}(P) + 2\tilde{A}(CW(P)) + \tilde{A}(CMLC(P))) = \\ & 128(-15 + 18 + 15) = 2304 = 48^2 = L_V^2(P) \end{aligned}$$

Ver figura 11.2.

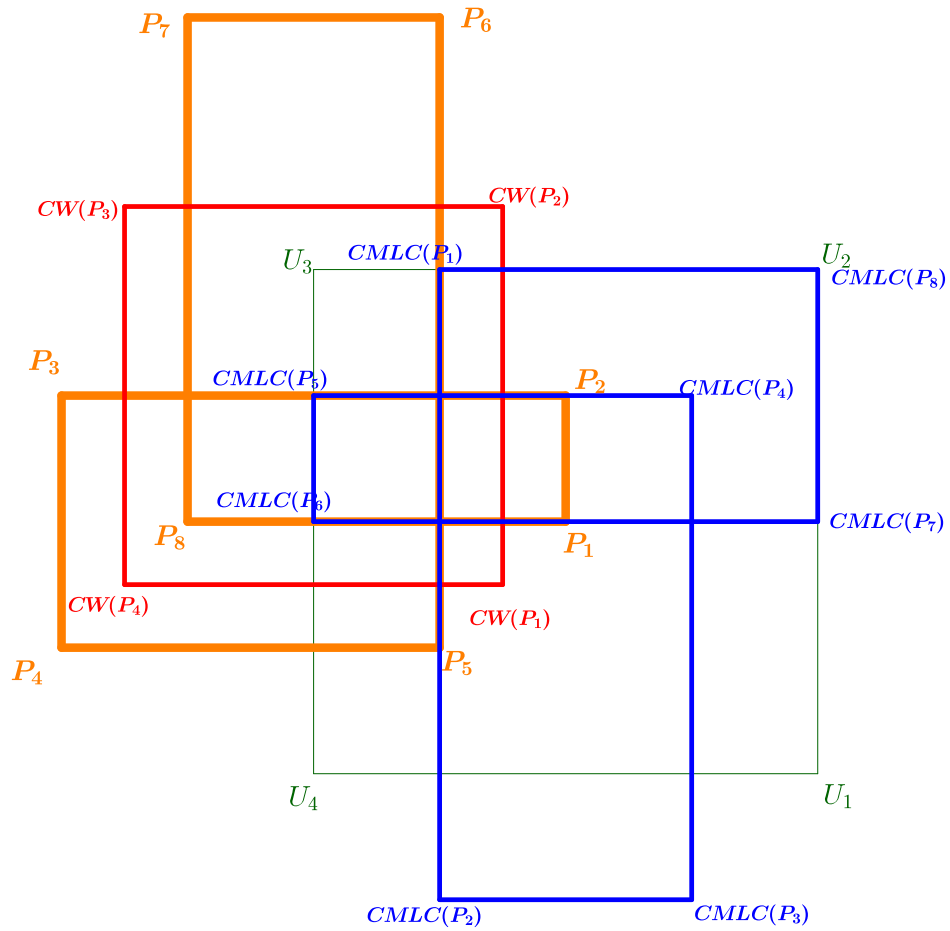


Figura 11.2: Bola U, 2-rosácea P, CW, CMLC

11.6

Igualdade Isoperimétrica em Plano Normado para m -rosáceas discretas

Teorema 11.9 (Igualdade Isoperimétrica em Plano Normado para polígonos m -rosáceas discretas). *Seja P uma m -rosácea em $C_U - m$ no plano (\mathbb{R}^2, U) , onde U é a bola unitária. Então*

I) *Se m é ímpar então*

$$L_V^2(P) = 4mA_U\tilde{A}_P - 8mA_U\tilde{A}_{CW(P)} - 4mA_U\tilde{A}_{CMLC(P)}. \quad (11.4)$$

II) Se m é par então

$$L_V^2(P) = -4mA_U\tilde{A}_P + 8mA_U\tilde{A}_{CW(P)} + 4mA_U\tilde{A}_{CMLC(P)}. \quad (11.5)$$

onde $L_V(P)$ indica o v -comprimento com sinal do polígono P , A_U a área da bola unitária, \tilde{A}_P , $\tilde{A}_{CW(P)}$ e $\tilde{A}_{CMLC(P)}$ indicam respectivamente as áreas com sinal de P , $CW(P)$ e $CMLC(P)$.

Demonstração.

Pela proposição (11.3) podemos escrever $P_i = CW(P_i) + CMLC(P_i) + \frac{\bar{w}_P}{2m}U_i$. Utilizando o operador diferença temos $\Delta_i P = \Delta_i CW(P) + \Delta_i CMLC(P) + \frac{\bar{w}_P}{2m}\Delta_i U$.

A seguir, temos igualdades importantes para a prova.

$$\sum_{i=1}^{2mn} [CW(P_i), \Delta_i CMLC(P)] = - \sum_{i=1}^{2mn} [\Delta_i CW(P), CMLC(P_i)] \quad (11.6)$$

$$\sum_{i=1}^{2mn} \frac{\bar{w}_P}{2m} [CW(P_i), \Delta_i U] = \sum_{i=1}^{2mn} \frac{\bar{w}_P}{2m} [U_i, \Delta_i CW(P)] \quad (11.7)$$

$$\sum_{i=1}^{2mn} \frac{\bar{w}_P}{2m} [CMLC(P_i), \Delta_i U] = \sum_{i=1}^{2mn} \frac{\bar{w}_P}{2m} [U_i, \Delta_i CMLC(P)] \quad (11.8)$$

$$\sum_{i=1}^{2mn} [CMLC(P_i), \Delta_i CW(P)] = -\frac{L_V^2(P)}{4mA_U}(1 + (-1)^m) \quad (11.9)$$

$$\sum_{i=1}^{2mn} [U_i, \Delta_i CW(P) + \Delta_i CMLC(P)] = 0 \quad (11.10)$$

Vamos calcular a área do polígono P utilizando a proposição (11.3) e as igualdades (11.6), (11.7) e (11.8), (11.9), (11.10)

$$\begin{aligned}
 \tilde{A}(P) &= \\
 &= \frac{1}{2} \sum_{i=1}^{2mn} [P_i, \Delta_i P] \\
 &= \frac{1}{2} \sum_{i=1}^{2mn} \left[CW(P_i) + CMLC(P_i) + \frac{\bar{w}_P}{2m} U_i, \Delta_i CW(P) + \Delta_i CMLC(P) + \frac{\bar{w}_P}{2m} \Delta_i U \right] \\
 &= \frac{1}{2} \sum_{i=1}^{2mn} [CW(P_i), \Delta_i CW(P)] + \frac{1}{2} \sum_{i=1}^{2mn} [CW(P_i), \Delta_i CMLC(P)] \\
 &\quad + \frac{1}{2} \sum_{i=1}^{2mn} \frac{\bar{w}_P}{2} [CW(P_i), \Delta_i U] + \frac{1}{2} \sum_{i=1}^{2mn} [CMLC(P_i), \Delta_i CW(P)] \\
 &\quad + \frac{1}{2} \sum_{i=1}^{2mn} [CMLC(P_i), \Delta_i CMLC(P)] + \frac{1}{2} \sum_{i=1}^{2mn} \frac{\bar{w}_P}{2m} [CMLC(P_i), \Delta_i U] \\
 &\quad + \frac{1}{2} \sum_{i=1}^{2mn} \frac{\bar{w}_P}{2m} [U_i, \Delta_i CW(P)] + \frac{1}{2} \sum_{i=1}^{2mn} \frac{\bar{w}_P}{2m} [U_i, \Delta_i CMLC(P)] \\
 &\quad + \frac{1}{2} \sum_{i=1}^{2mn} \frac{\bar{w}_P^2}{4m^2} [U_i, \Delta_i U] \\
 &\Rightarrow \\
 \tilde{A}(P) &= 2\tilde{A}_{CW(P)} + \tilde{A}_{CMLC(P)} + \frac{\bar{w}_P^2}{4m^2} mA(U) + \sum_{i=1}^{2mn} \frac{\bar{w}_P}{2m} [CW(P_i), \Delta_i U] \\
 &\quad + \sum_{i=1}^{2n} \frac{\bar{w}_P}{2m} [CMLC(P_i), \Delta_i U] + \sum_{i=1}^{2mn} [CMLC(P_i), \Delta_i CW(P)] \\
 &\Rightarrow \tilde{A}(P) = 2\tilde{A}_{CW(P)} + \tilde{A}_{CMLC(P)} + \frac{\bar{w}_P^2}{4m^2} mA(U) - \frac{L_V^2(P)}{4mA_U} (1 + (-1)^m) \\
 &\Rightarrow \tilde{A}(P) = 2\tilde{A}_{CW(P)} + \tilde{A}_{CMLC(P)} + \frac{L_V^2}{4mA(U)} - \frac{L_V^2(P)}{4mA(U)} (1 + (-1)^m) \\
 &\Rightarrow \tilde{A}(P) = 2\tilde{A}_{CW(P)} + \tilde{A}_{CMLC(P)} - (-1)^m \frac{L_V^2(P)}{4mA_U} \\
 &\Rightarrow (-1)^{(m+1)} L_V^2(P) = 4mA_U \tilde{A}_P - 8mA_U \tilde{A}_{CW(P)} - 4mA_U \tilde{A}_{CMLC(P)}
 \end{aligned}$$



11.7

Trabalhos Futuros

Pensando em trabalhos futuros temos a seguinte pergunta. Podemos definir CW e $CMLC$ em um plano normado geral, ou seja, com a bola unitária convexa mas não necessariamente suave convexa ou poligonal, de forma a obter uma igualdade isoperimétrica? No caso suave, onde utilizamos bolas unitárias suaves, vale a Igualdade isoperimétrica para a classe de curvas "porco espinho".

No caso discreto, onde utilizamos bolas unitárias poligonais, vale a Igualdade Isoperimétrica para a classe de curvas que são polígonos com lados paralelos a bola poligonal. E no caso geral, qual a classe correta? Outro fato interessante a abordar é se teoremas relativos a outros ramos da Cáustica continuam válidos para bolas não euclidianas.

Referências bibliográficas

- [1] Dido. Wikipédia, 2019.
- [2] CHAVEL, I. **Isoperimetric inequalities: differential geometric and analytic perspectives**, volume 145. Cambridge University Press, 2001.
- [3] CIEŚLAK, W.; MOZGAWA, W. On rosettes and almost rosettes, **Geometriae Dedicata**, v.24, n.2, p. 221–228, 1987.
- [4] CRAIZER, M. Iteration of involutes of constant width curves in the minkowski plane, **Beiträge zur Algebra und Geometrie/Contributions to Algebra and Geometry**, v.55, n.2, p. 479–496, 2014.
- [5] CRAIZER, M.; MARTINI, H. Involutes of polygons of constant width in minkowski planes, **arXiv preprint arXiv:1406.3205**, 2014.
- [6] CRAIZER, M.; TEIXEIRA, R. ; BALESTRO, V. Closed cycloids in a normed plane, **Monatshefte für Mathematik**, v.185, n.1, p. 43–60, 2018.
- [7] CRAIZER, M.; TEIXEIRA, R. ; BALESTRO, V. Discrete cycloids from convex symmetric polygons, **Discrete & Computational Geometry**, v.60, n.4, p. 859–884, 2018.
- [8] FLANDERS, H. A proof of minkowski's inequality for convex curves, **The American Mathematical Monthly**, v.75, n.6, p. 581–593, 1968.
- [9] FUKUNAGA, T.; TAKAHASHI, M. Evolutes of fronts in the euclidean plane, **J. Singul**, v.10, p. 92–107, 2014.
- [10] GAO, X. A note on the reverse isoperimetric inequality, **Results in Mathematics**, v.59, n.1-2, p. 83–90, 2011.
- [11] GIBLIN, P. Affinely invariant symmetry sets, **Geometry and Topology of Caustics (Caustics 06)**, **Banach Center Publications**, v.82, p. 71–84, 2008.
- [12] GROEMER, H. **Geometric applications of Fourier series and spherical harmonics**, volume 61. Cambridge University Press, 1996.

- [13] HURWITZ, A. Sur quelques applications géométriques des séries de fourier, **Annales scientifiques de l'École Normale Supérieure**, v.3e série, 19, p. 357–408, 1902.
- [14] LAWLOR, G. A new area-maximization proof for the circle, **The Mathematical Intelligencer**, v.20, n.1, p. 29–31, 1998.
- [15] MIERNOWSKI, A.; MOZGAWA, W. Isoptics of rosettes and rosettes of constant width, **Note di Matematica**, v.15, n.2, p. 203–213, 1995.
- [16] MUSTAFAEV, H. M. Z. On reuleaux triangles in minkowski planes, **Contributions to Algebra and Geometry**, v.48, n.1, p. 225–235, 2007.
- [17] PAN, S.; XU, H. Stability of a reverse isoperimetric inequality, **Journal of Mathematical Analysis and Applications**, v.350, n.1, p. 348–353, 2009.
- [18] PETTY, C. On the geometry of the minkowski plane, **Riv. Mat. Univ. Parma**, v.6, p. 269–292, 1955.
- [19] SCHNEIDER, R. **Convex bodies: the Brunn–Minkowski theory**. Number 151. Cambridge university press, 2014.
- [20] STEINER, J. Sur le maximum et le minimum des figures dans le plan, sur la sphère et dans l'espace en général. premier mémoire., **Journal für die reine und angewandte Mathematik**, v.24, p. 93–152, 1842.
- [21] THOMPSON, A. C.; THOMPSON, A. C. **Minkowski geometry**, volume 63. Cambridge University Press, 1996.
- [22] ZETTL, A. **Sturm-liouville theory**. Number 121. American Mathematical Soc., 2005.
- [23] ZWIERZYŃSKI, M. The constant width measure set, the spherical measure set and isoperimetric equalities for planar ovals, **arXiv preprint arXiv:1605.02930**, 2016.
- [24] ZWIERZYŃSKI, M. The improved isoperimetric inequality and the wigner caustic of planar ovals, **Journal of Mathematical Analysis and Applications**, v.442, n.2, p. 726–739, 2016.
- [25] ZWIERZYŃSKI, M. Isoperimetric equalities for rosettes, **arXiv preprint arXiv:1605.08304**, 2016.